



НАЦИОНАЛЬНЫЙ ИССЛЕДОВАТЕЛЬСКИЙ
УНИВЕРСИТЕТ

Факультет физики, кафедра квантовой
оптики и нанофотоники ИСАН

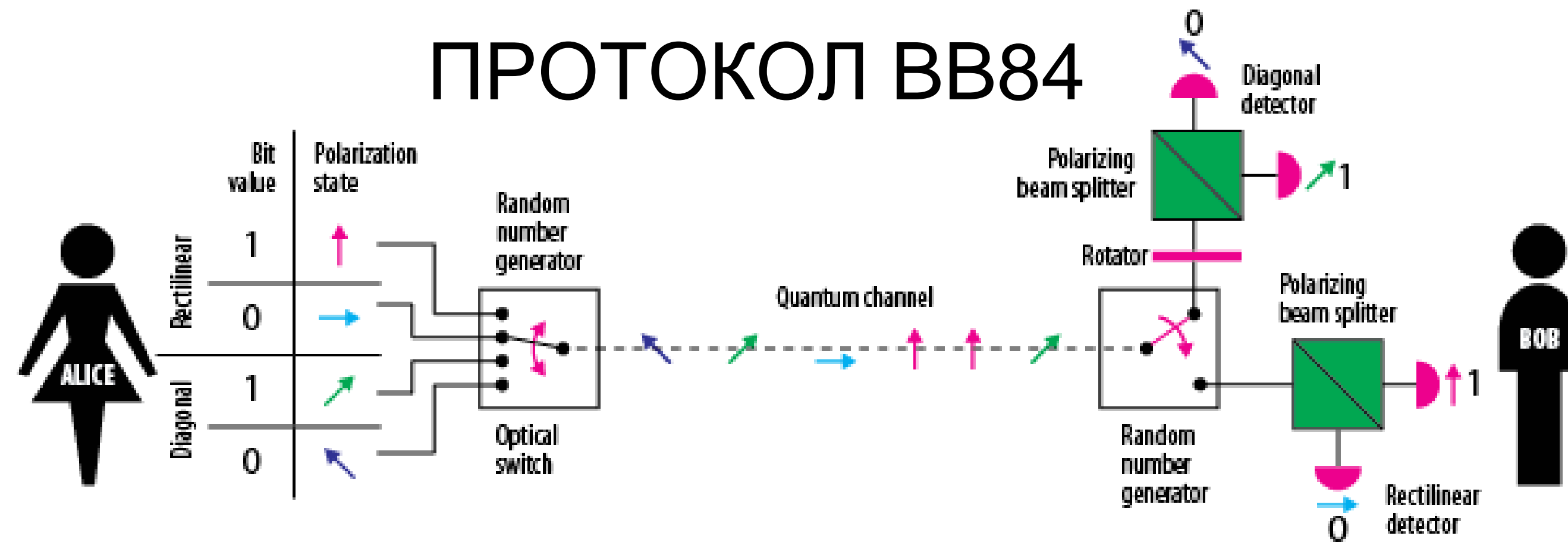
NV ЦЕНТРЫ В НАНОАЛМАЗАХ, СВЯЗАННЫЕ С ПЛАНАРНЫМ ВОЛНОВОДОМ

Семинар НУГ

Антон Гритченко,
Москва, Троицк, 2019

QUANTUM KEY DISTRIBUTION

ПРОТОКОЛ BB84

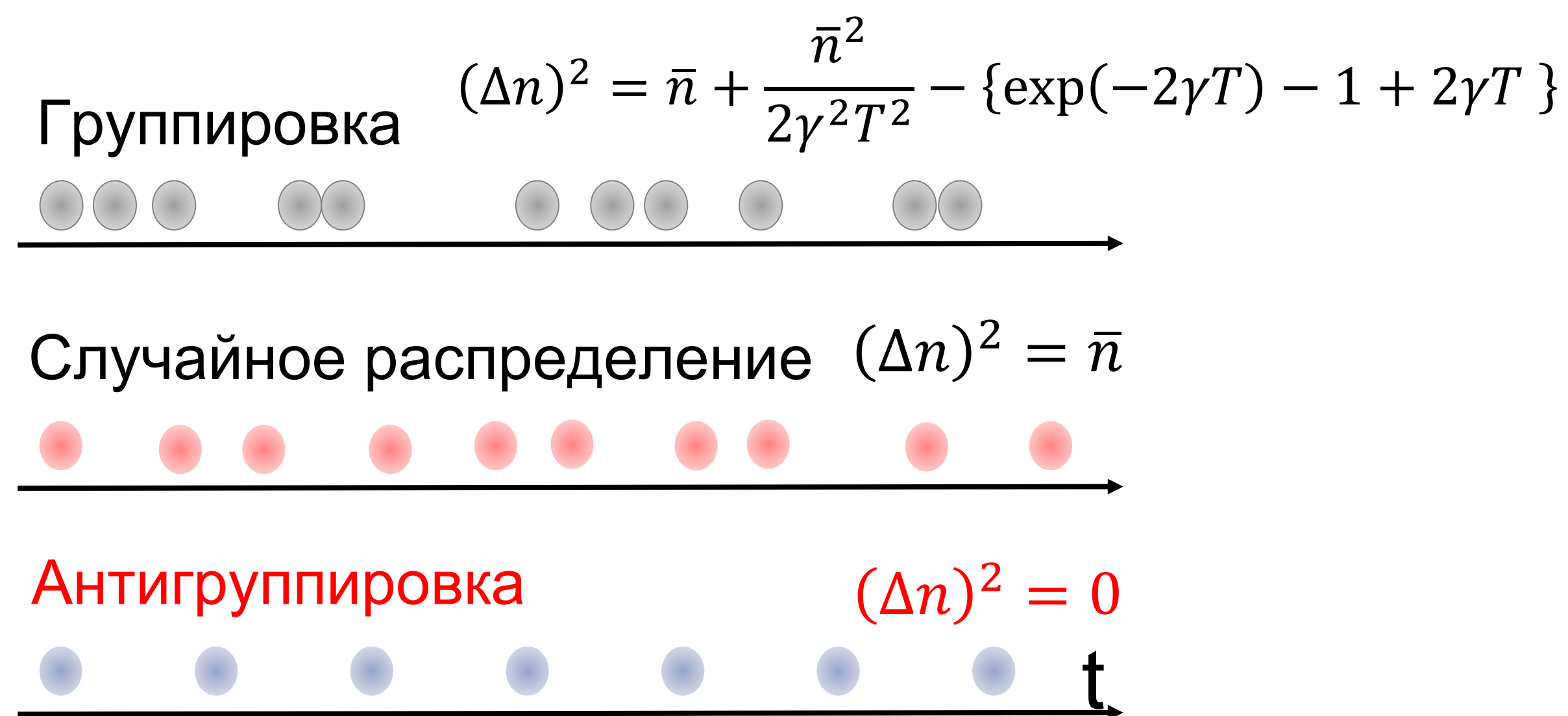
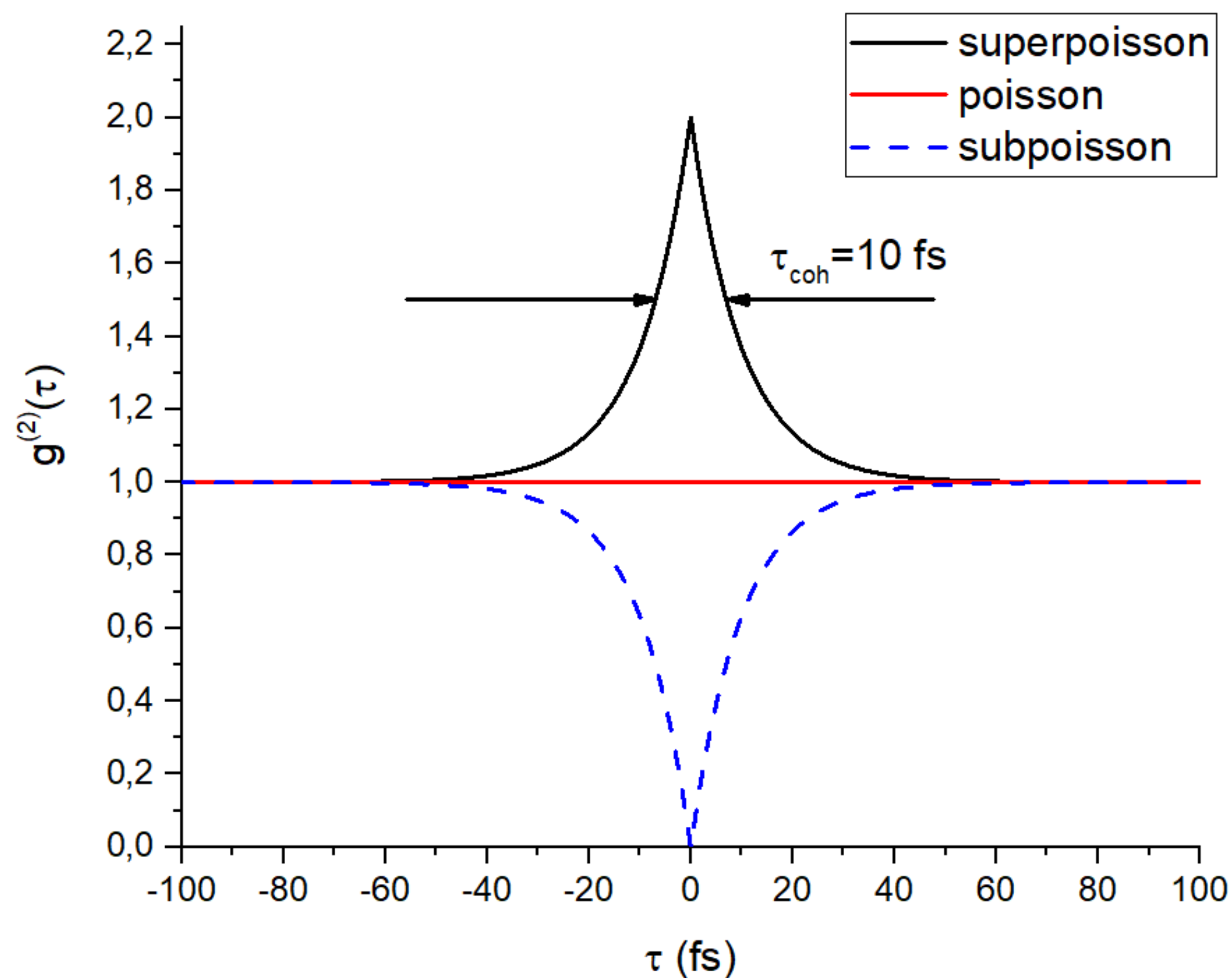


Photon number splitting attack – способ «украсть» ключ в случае, если источник не однофотонный

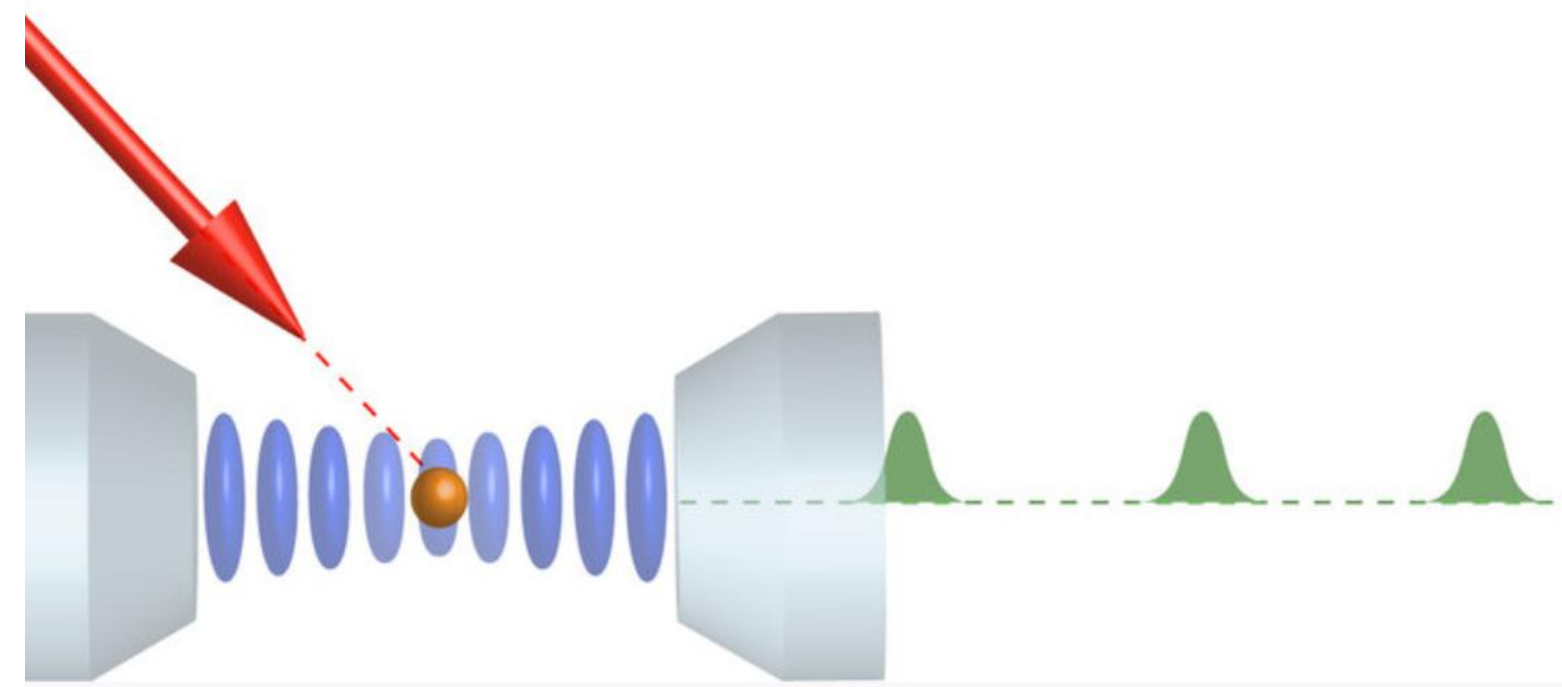
Quantum transmission & detection	ALICE sends photons								
	ALICE's random bits	0	1	0	1	1	1	0	1
	BOB's detection events								
	BOB's detected bit values	1	1	0	1	1	1	0	0
Public discussion (i.e., sifting)	BOB tells ALICE the basis choices he made								
	ALICE tells BOB which bits to keep		✓		✓		✓	✓	
	ALICE and BOB's shared sifted key	–	1	–	1	–	1	0	–

СТАТИСТИКА ИЗЛУЧЕНИЯ

$$g^{(2)}(\tau) = \frac{\langle I(t)I(t + \tau) \rangle}{\langle I(t) \rangle \langle I(t + \tau) \rangle}$$



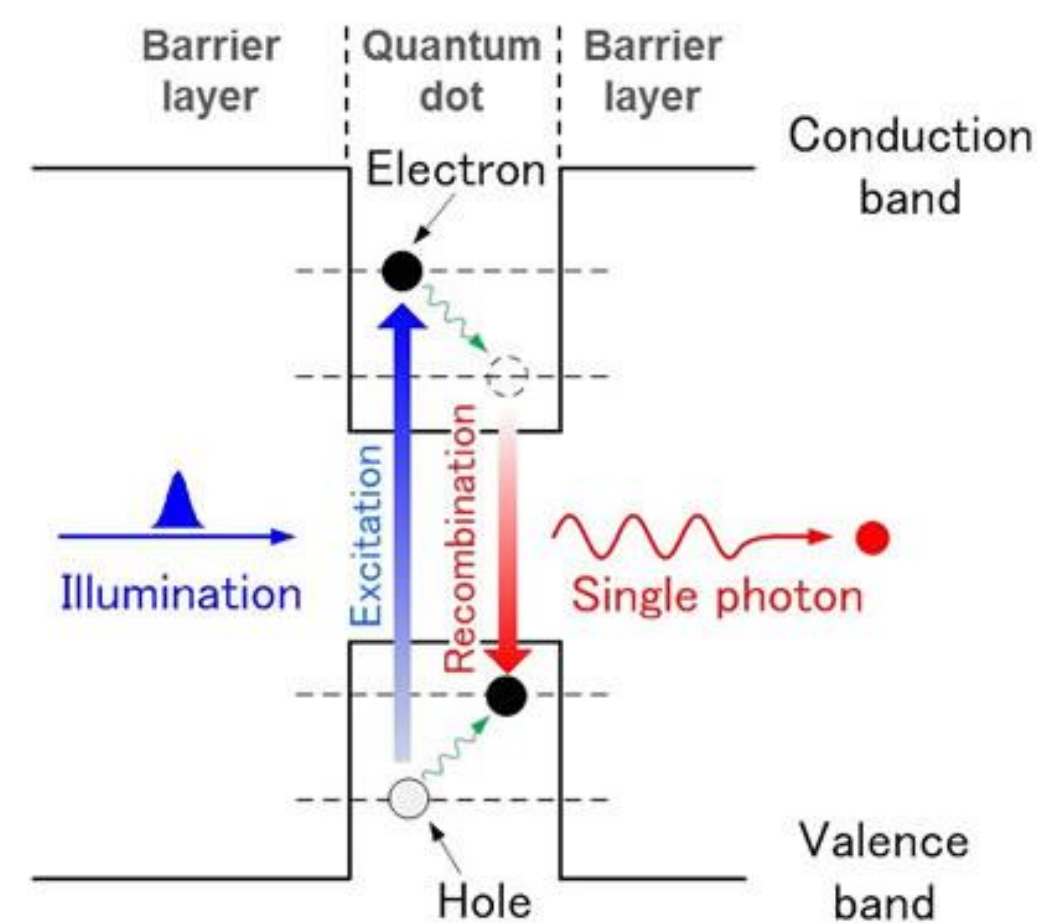
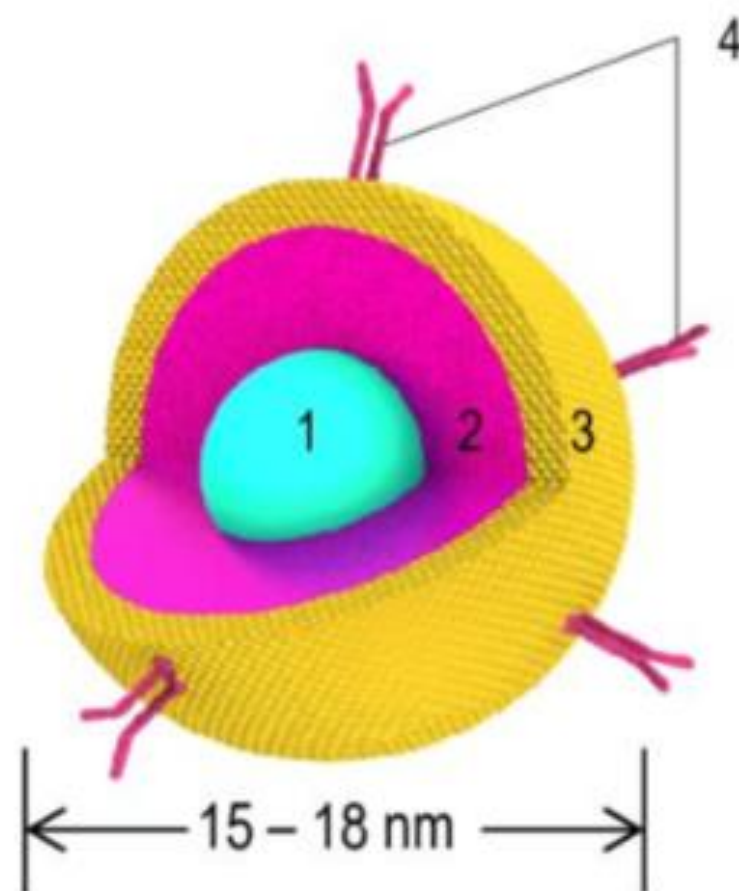
ПРИМЕРЫ ИСТОЧНИКОВ ОДИНОЧНЫХ ФОТОНОВ



Одиночные атомы и ионы

Pure single photons from a trapped atom source

D B Higginbottom^{1,2}, L Slodička³, G Araneda², L Lachman³, R Filip³, M Hennrich² and R Blatt^{2,4}

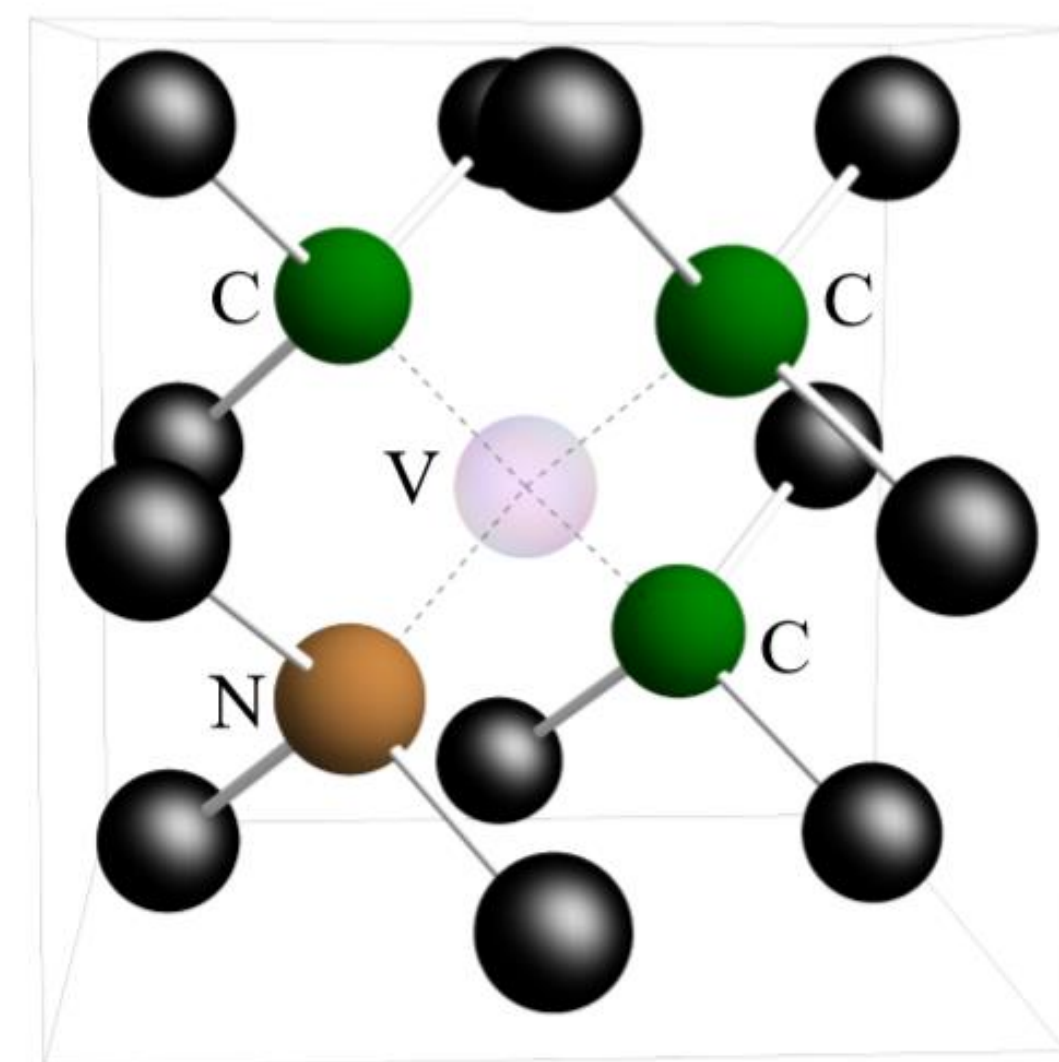
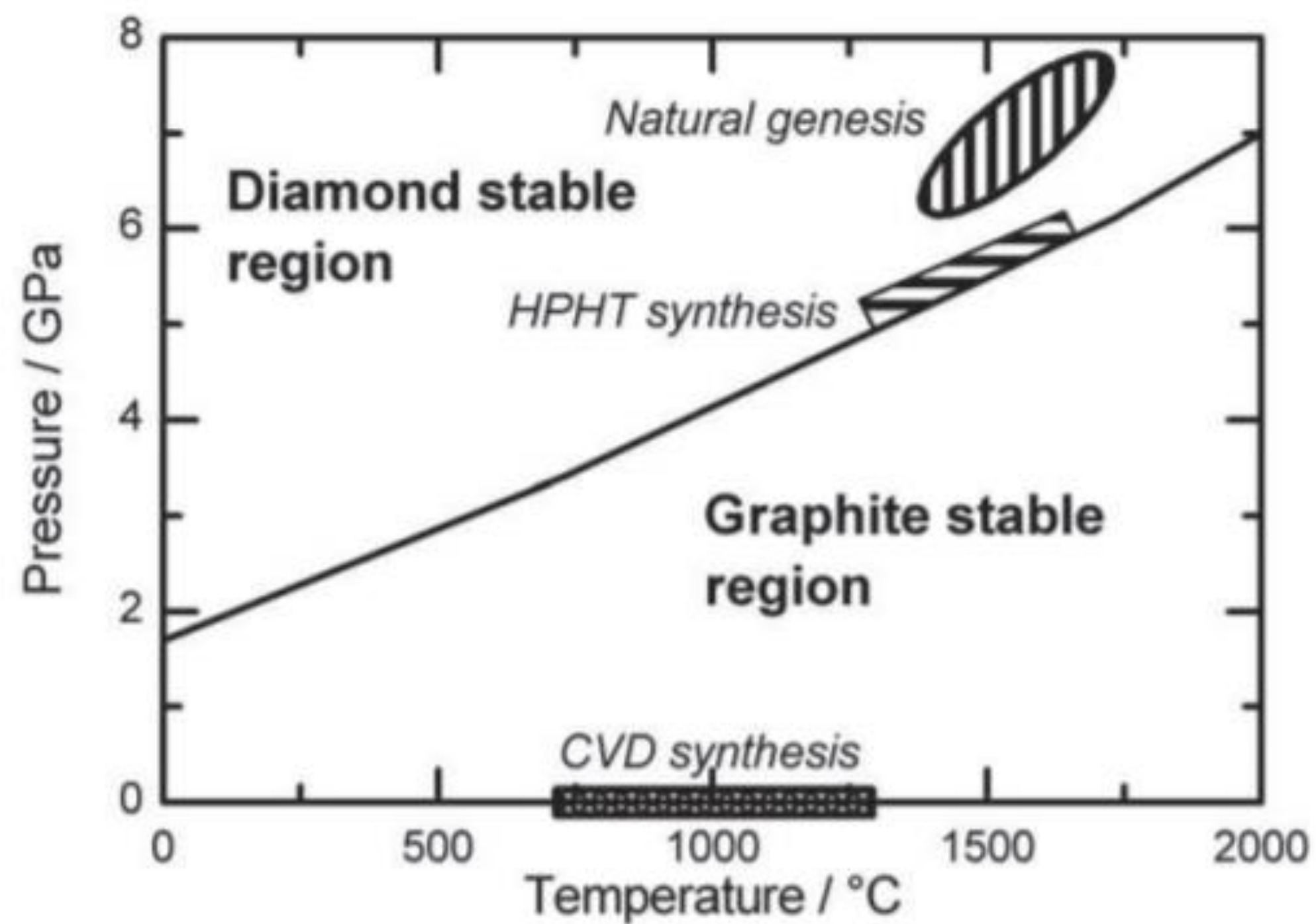


Квантовые точки

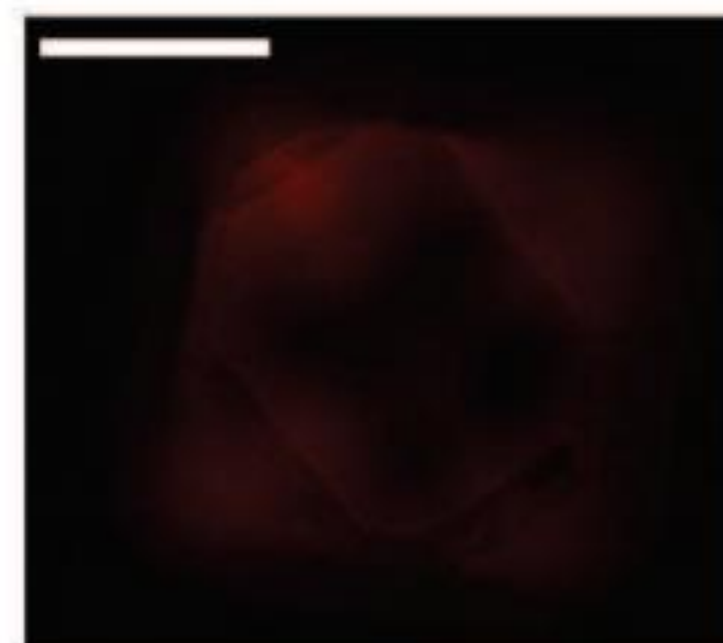
High-performance semiconductor quantum-dot single-photon sources

Pascale Senellart[✉], Glenn Solomon & Andrew White

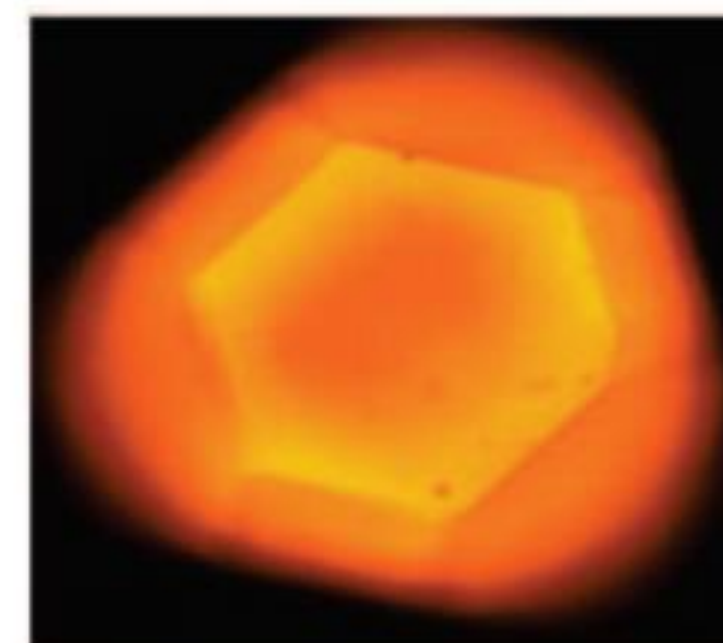
NV ЦЕНТРЫ



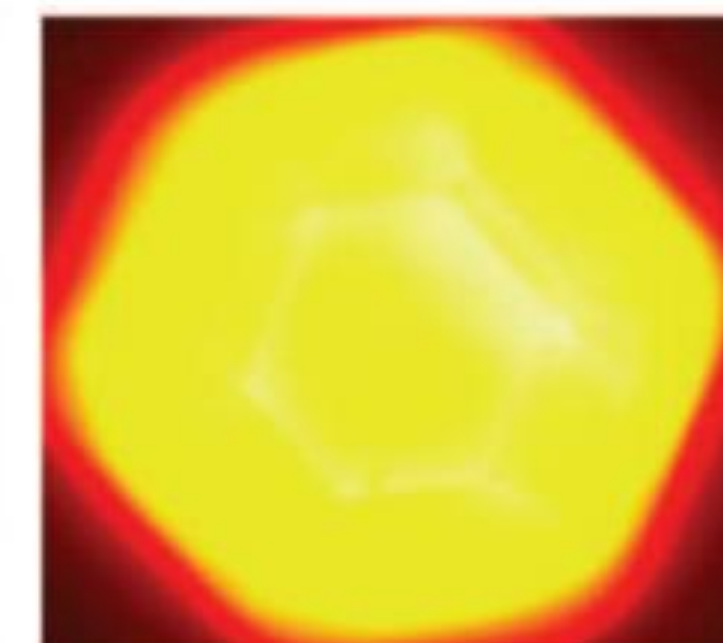
Raw diamond
50 μ m



Irradiated
(electron beam)

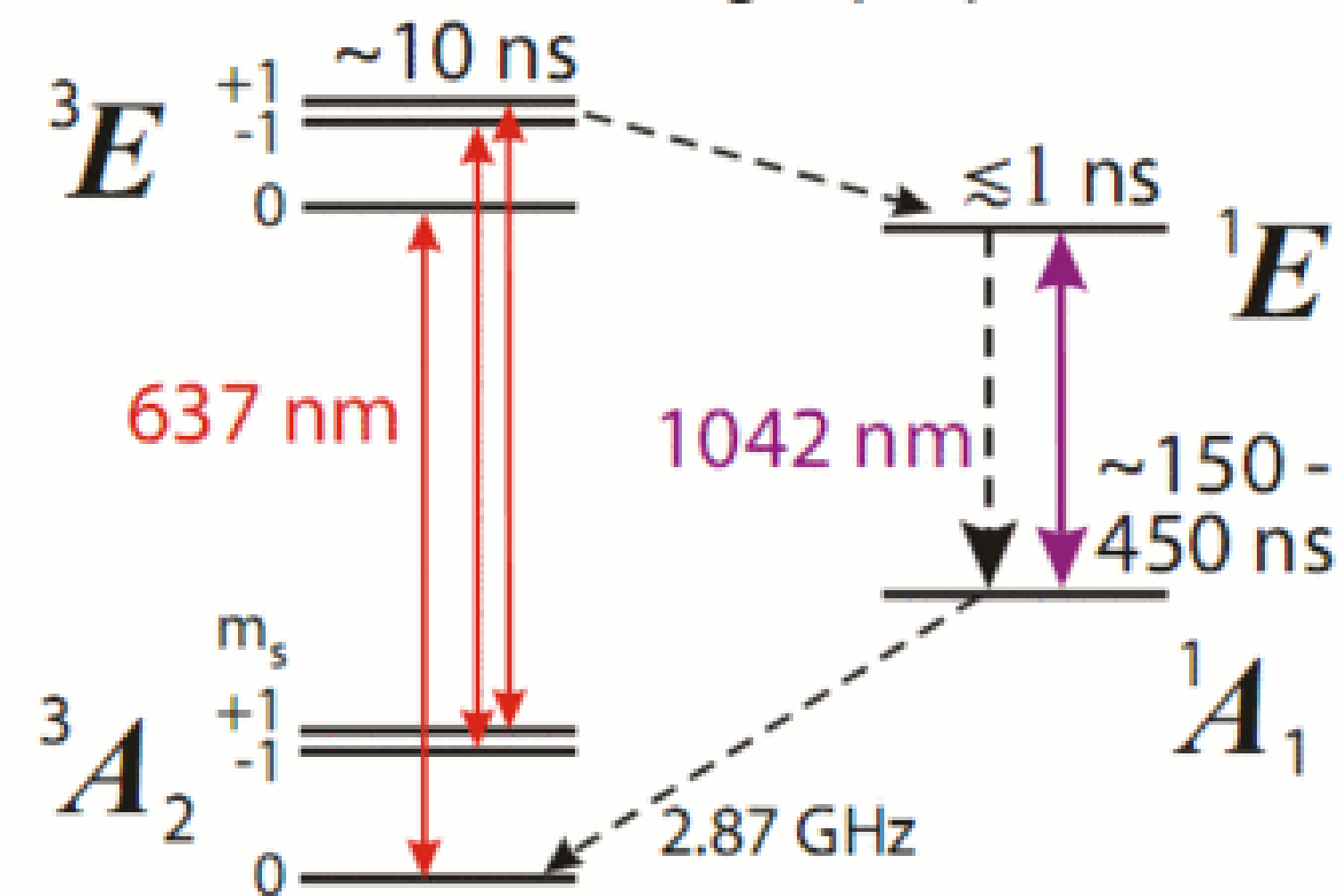
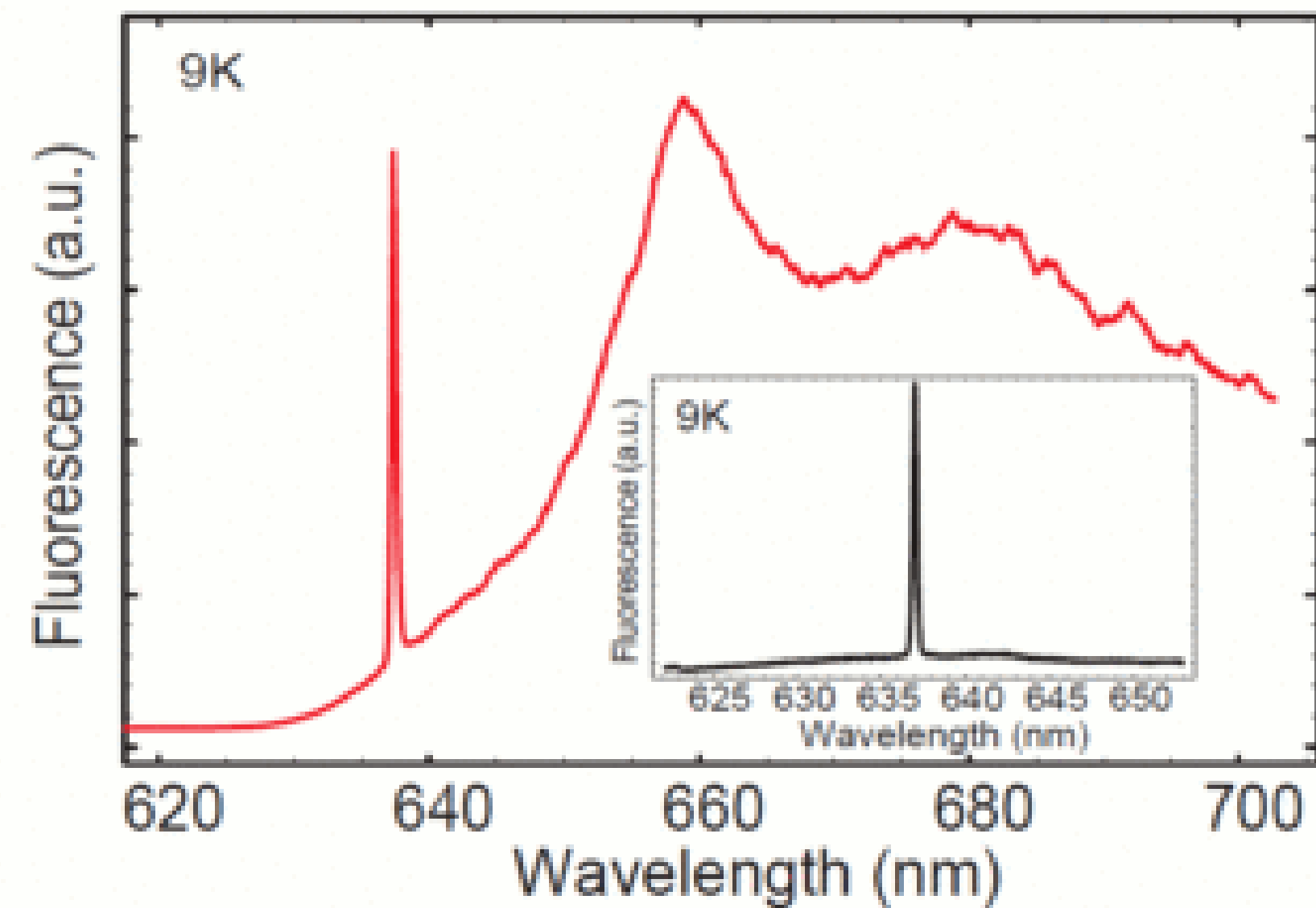
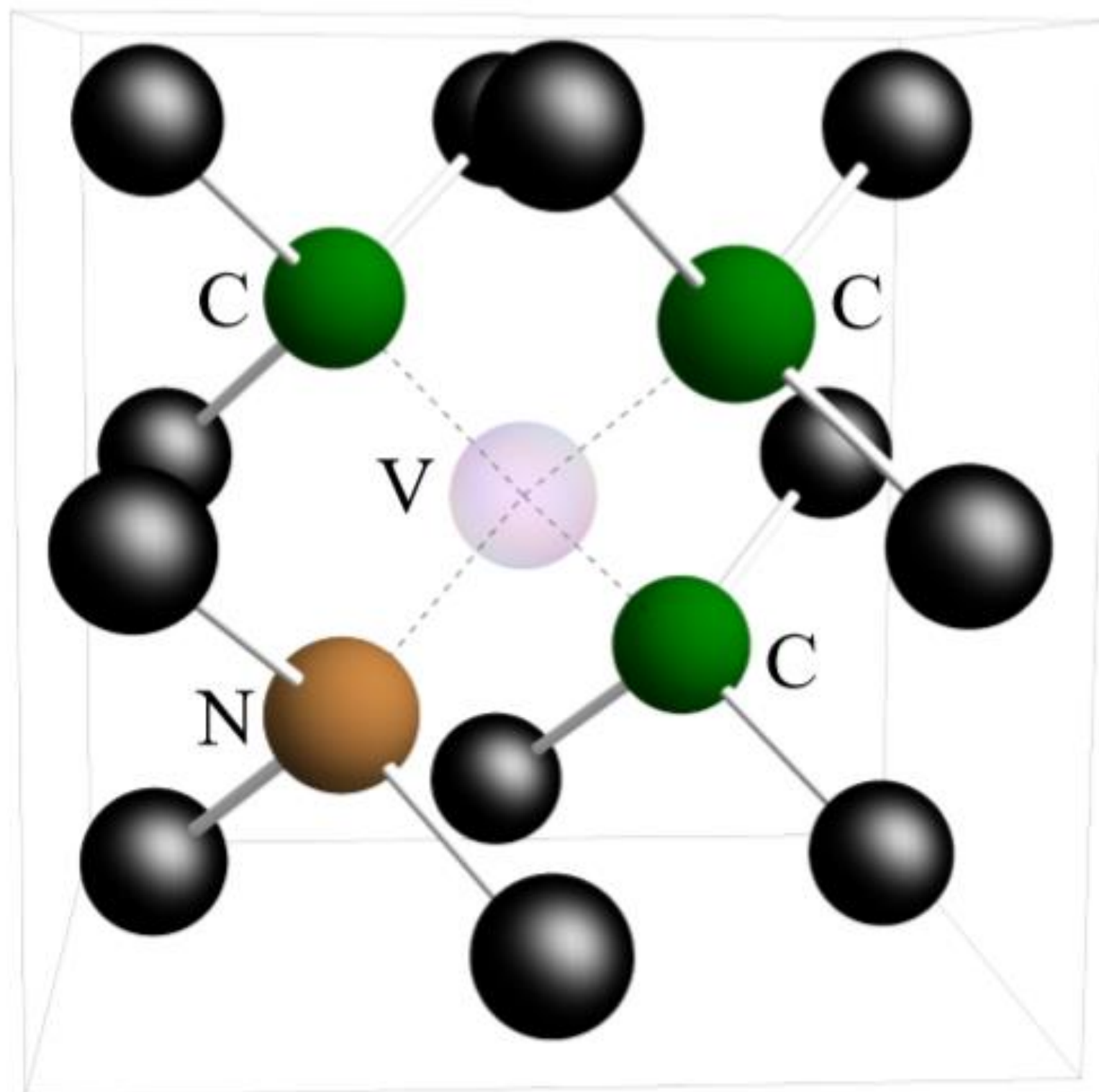


Annealed
(800°C, 2 hours)

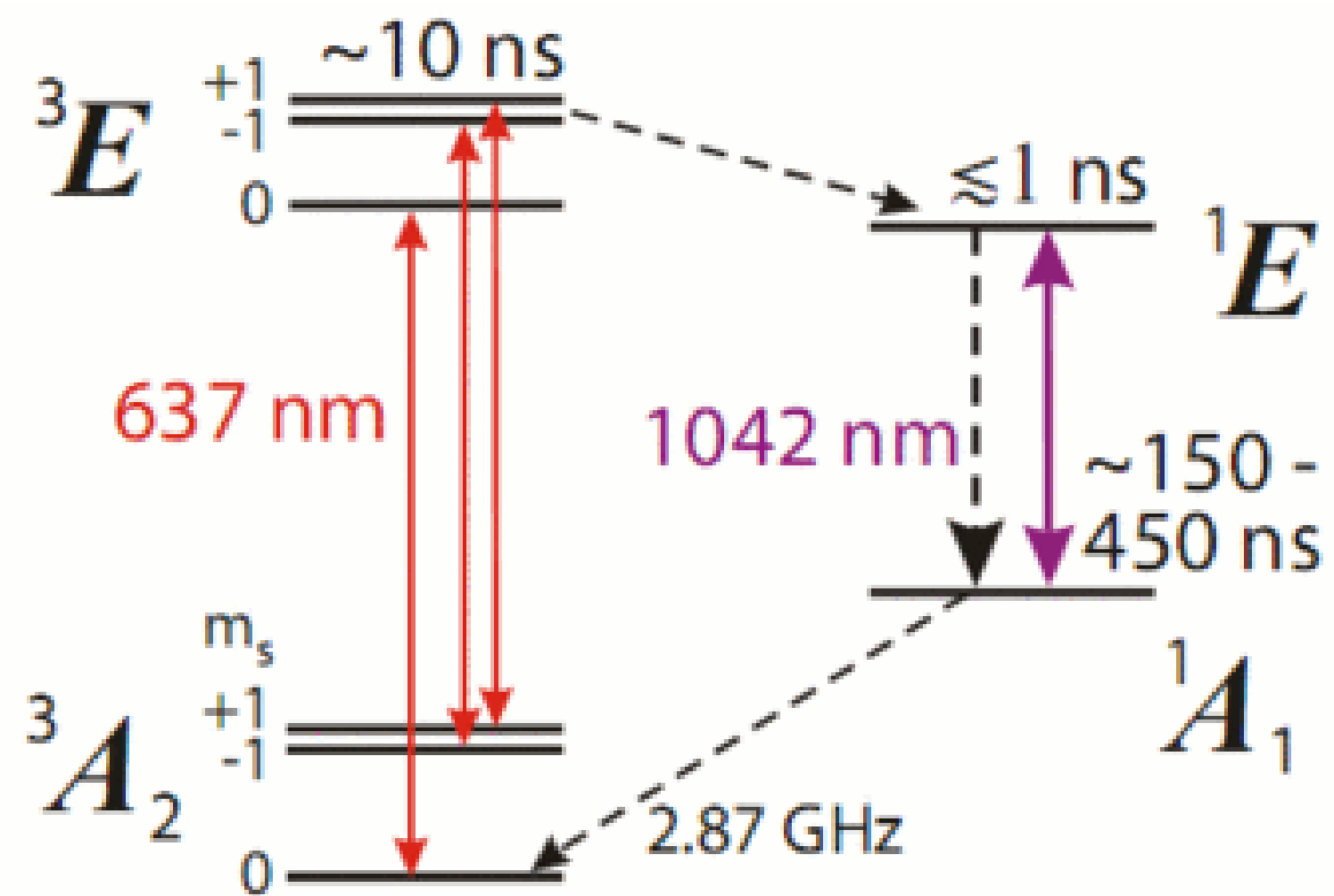


Процесс создания NV центров в алмазе

NV ЦЕНТРЫ

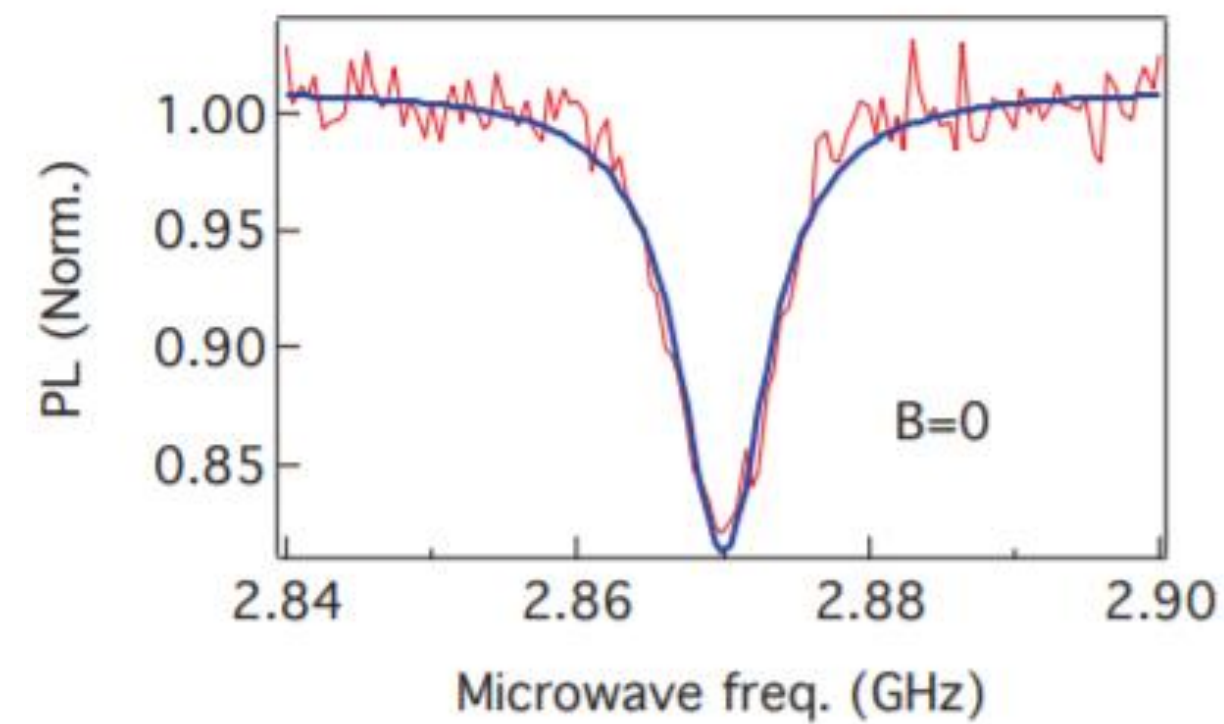


OPTICALLY DETECTABLE MAGNETIC RESONANCE (ODMR)

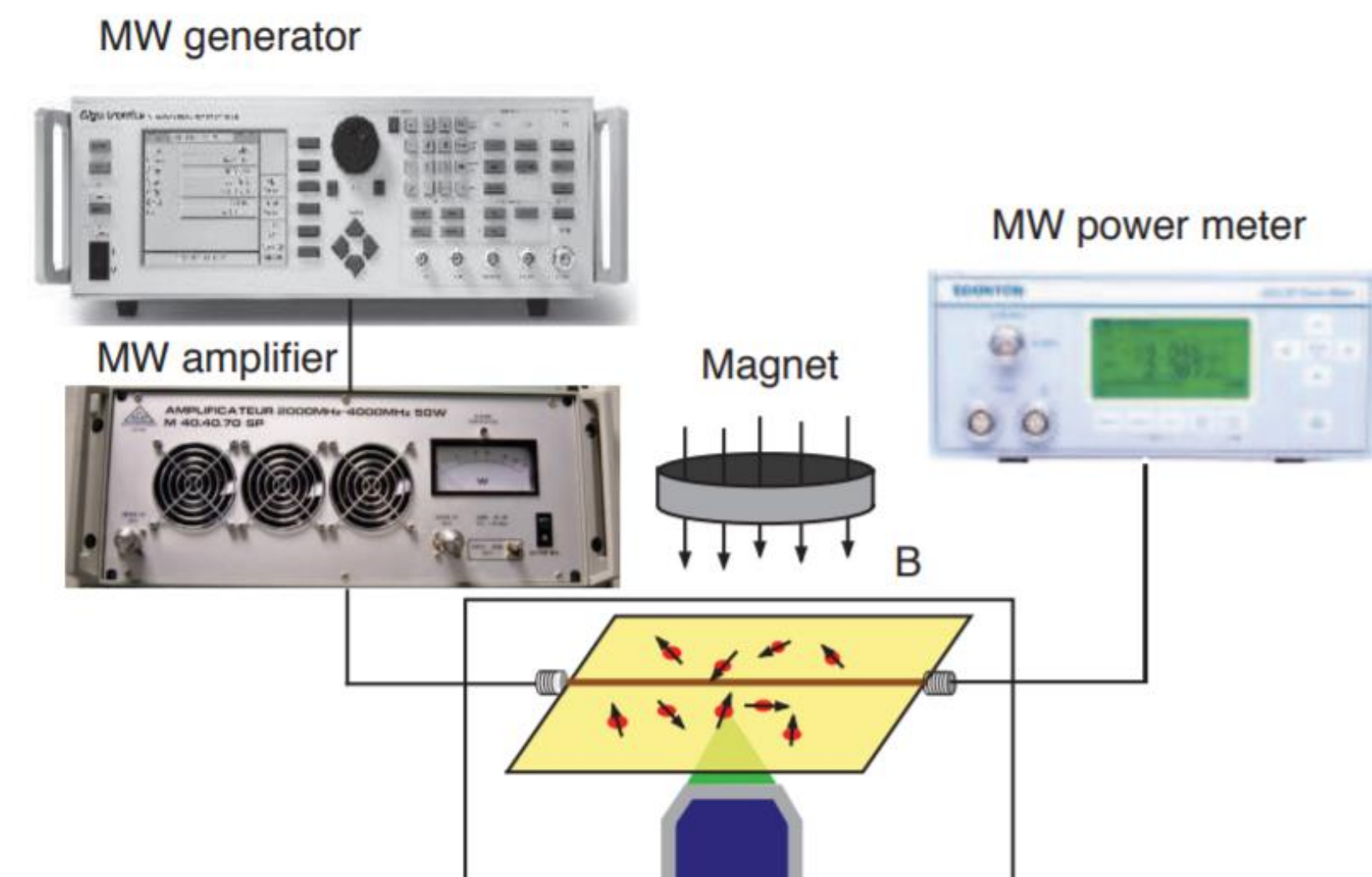
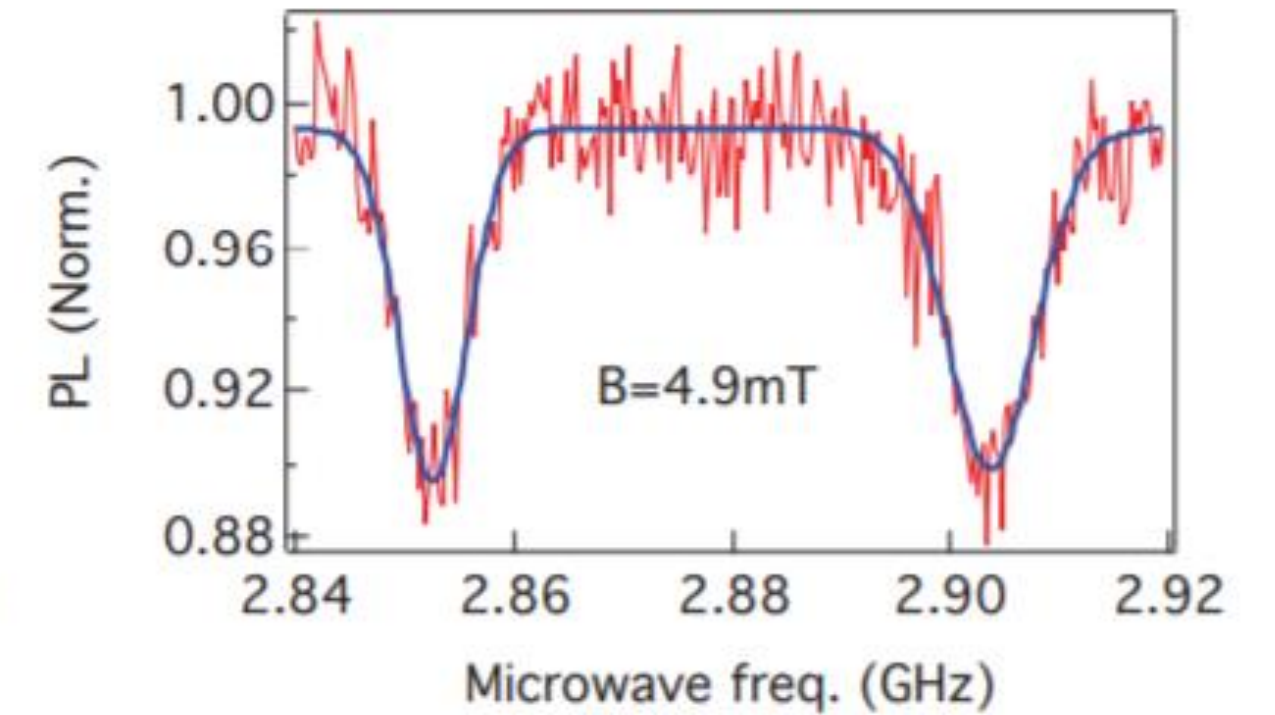


$$\begin{aligned}
 H &= H_{ZF} + H_{eZeeman} + H_{hf} + H_Q + H_{nZeeman} \\
 &= \mathbf{S} \cdot \mathbf{D} \cdot \mathbf{S} + g_e \mu_B \mathbf{B} \cdot \mathbf{S} + \sum_k [\mathbf{S} \cdot \mathbf{A}_k \cdot \mathbf{I}_k + \mathbf{I}_k \cdot \mathbf{P} \cdot \mathbf{I}_k - g_{n,k} \mu_n \mathbf{B} \cdot \mathbf{I}_k]
 \end{aligned}$$

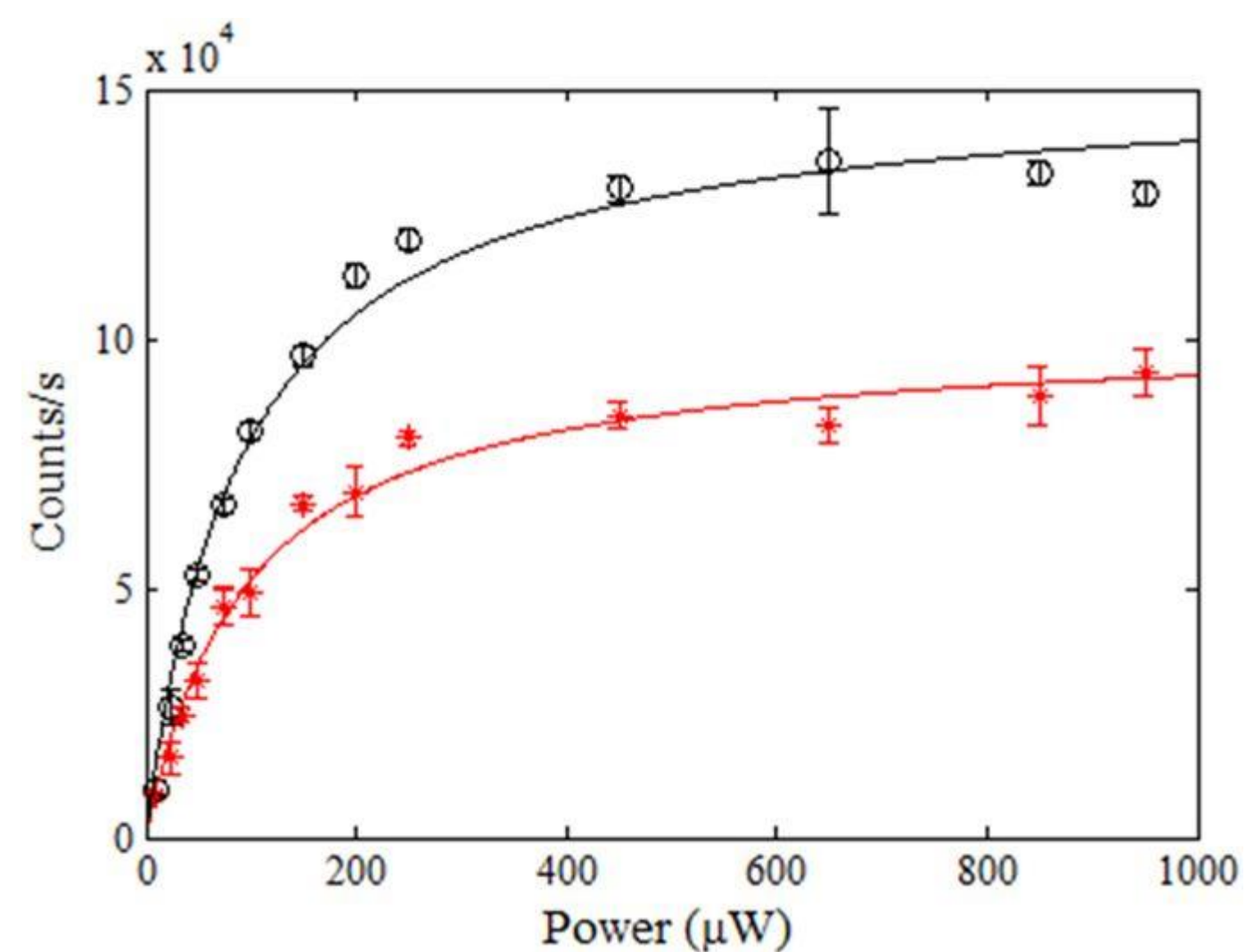
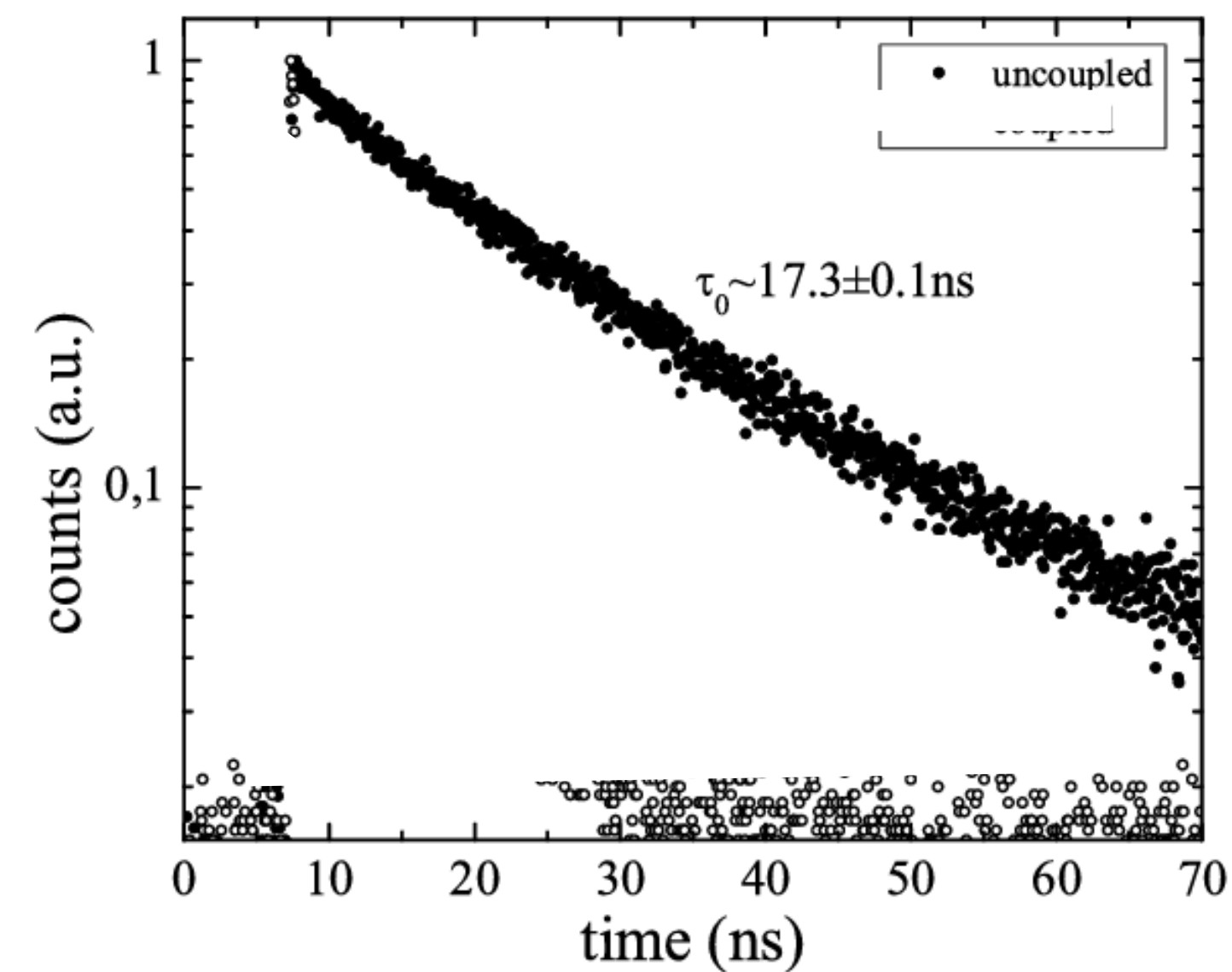
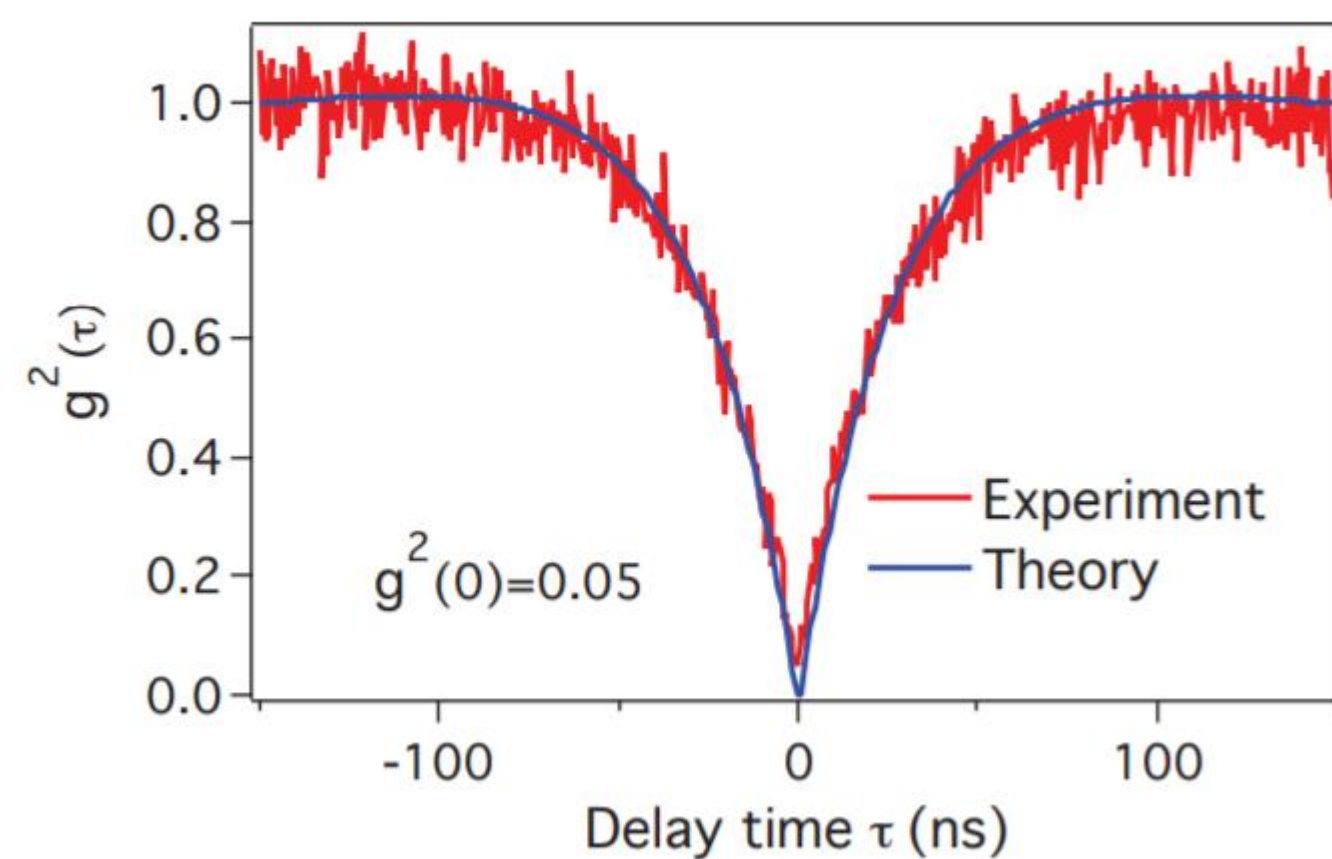
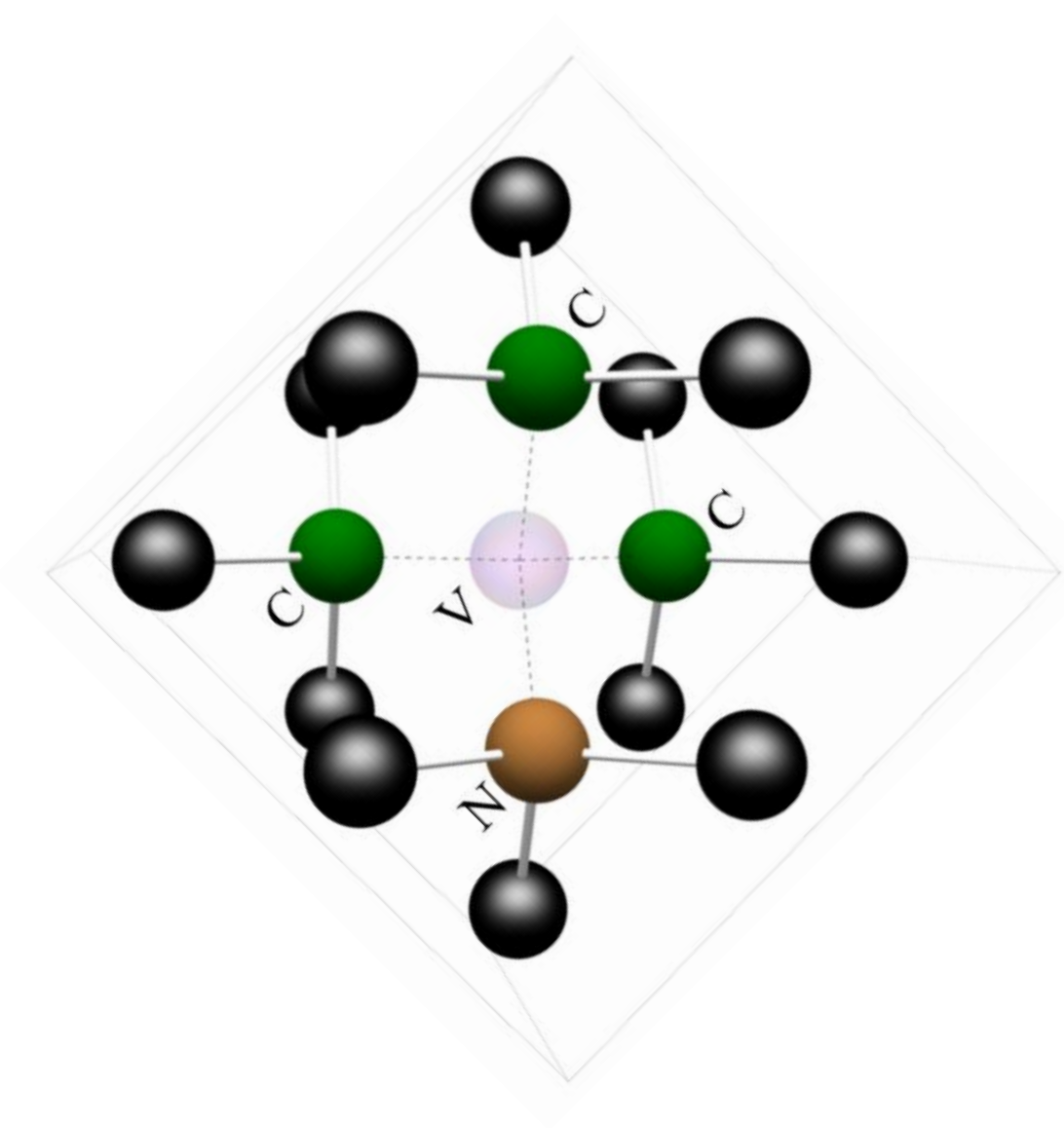
Без магнитного поля
(a)



В присутствии магнитного поля
(b)



NV ЦЕНТРЫ



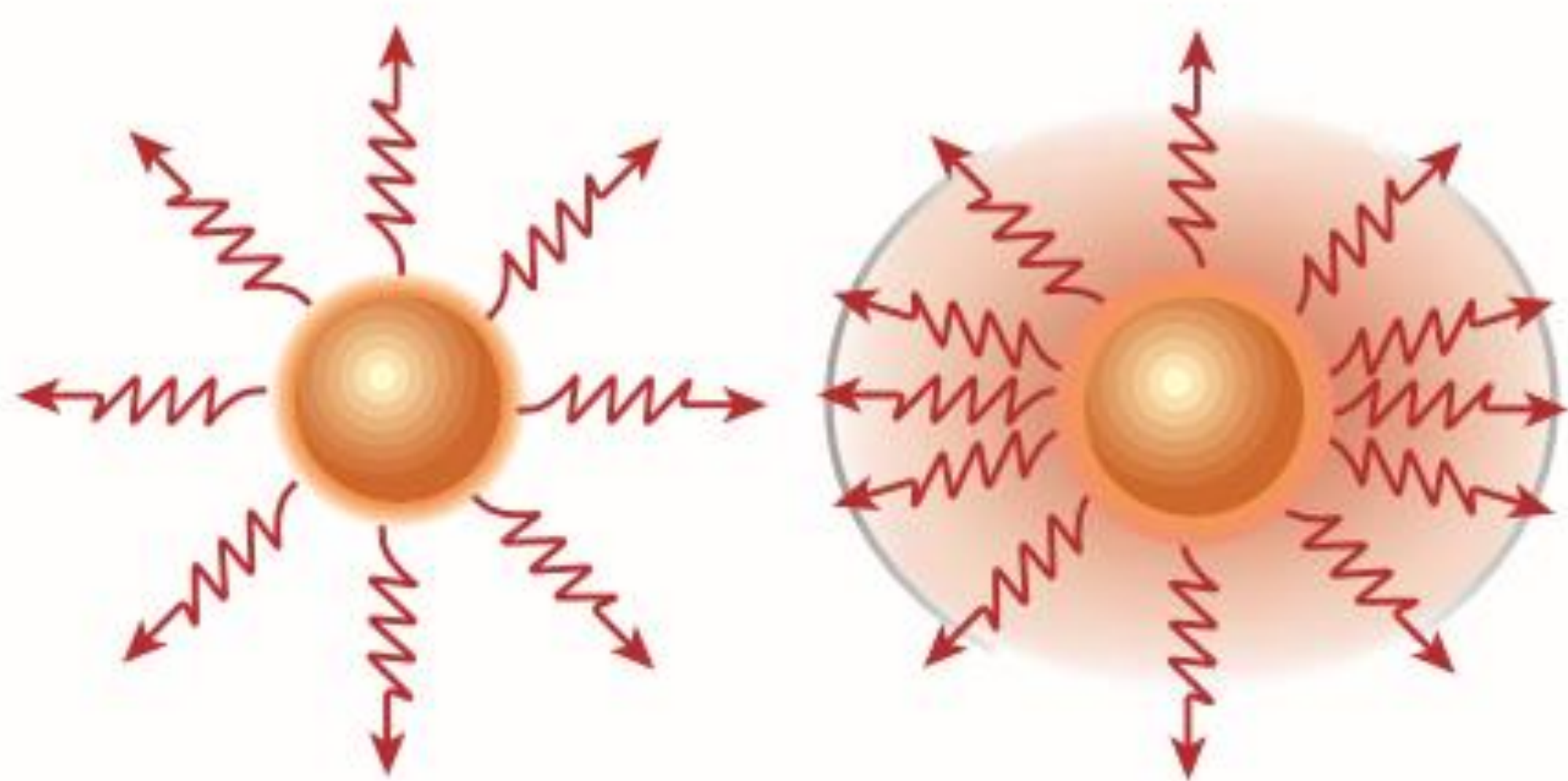
Без усиления

$\tau=17$ ns

$I_{\max} \approx 10^7$ photons/sec

- мало фотонов

ИЗЛУЧАТЕЛИ В РЕЗОНАТОРАХ



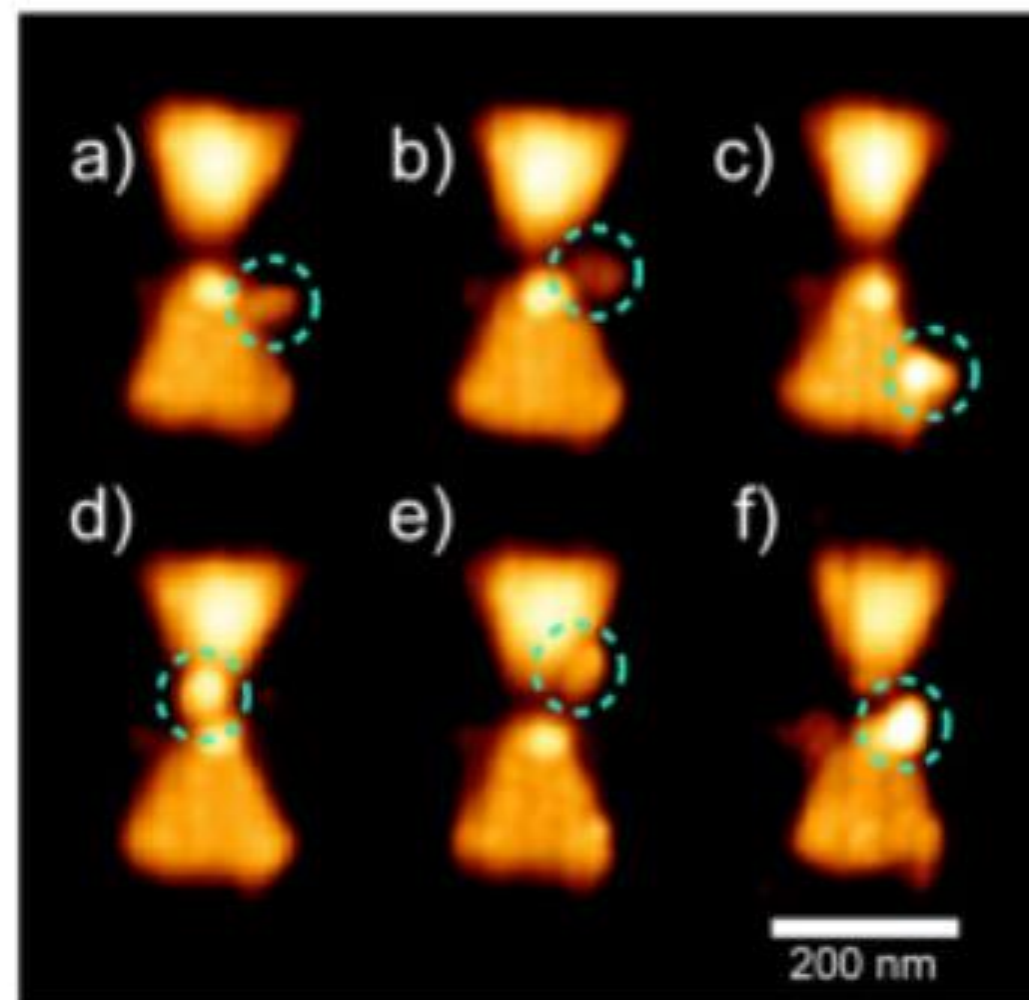
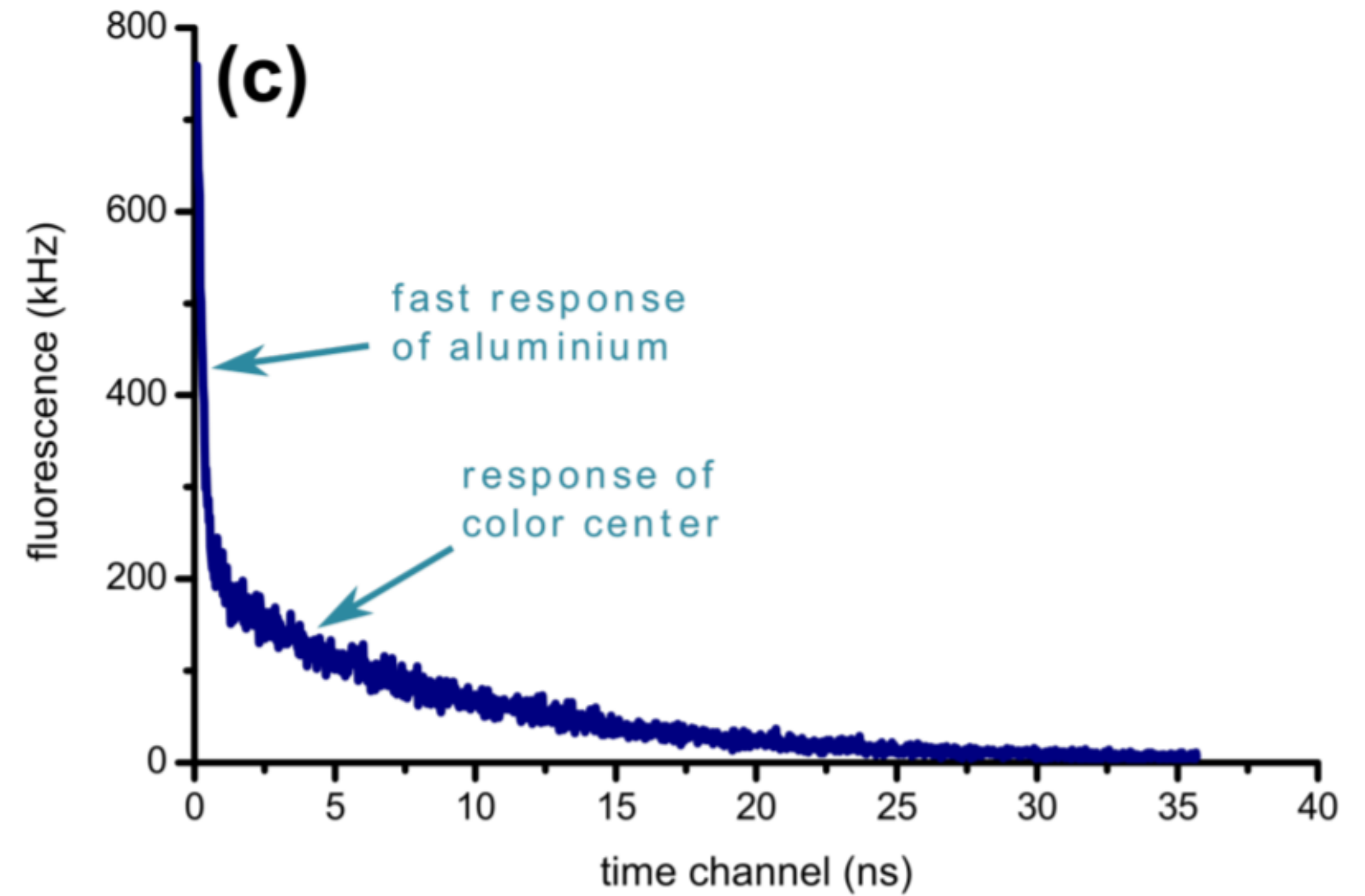
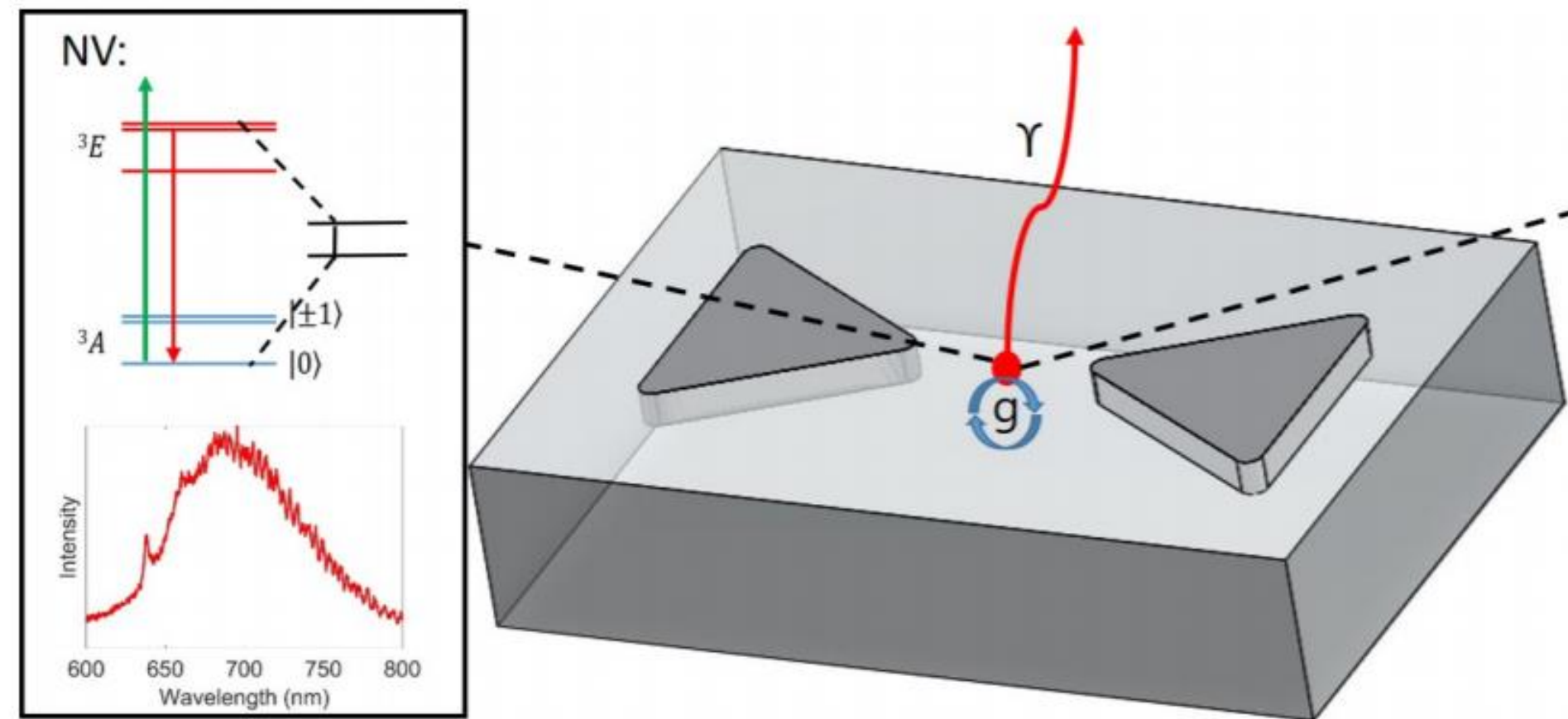
Золотое правило Ферми

$$W_{i \rightarrow f} = \frac{2\pi}{\hbar} |\langle f | H' | i \rangle|^2 \rho$$

Эффект Парселла

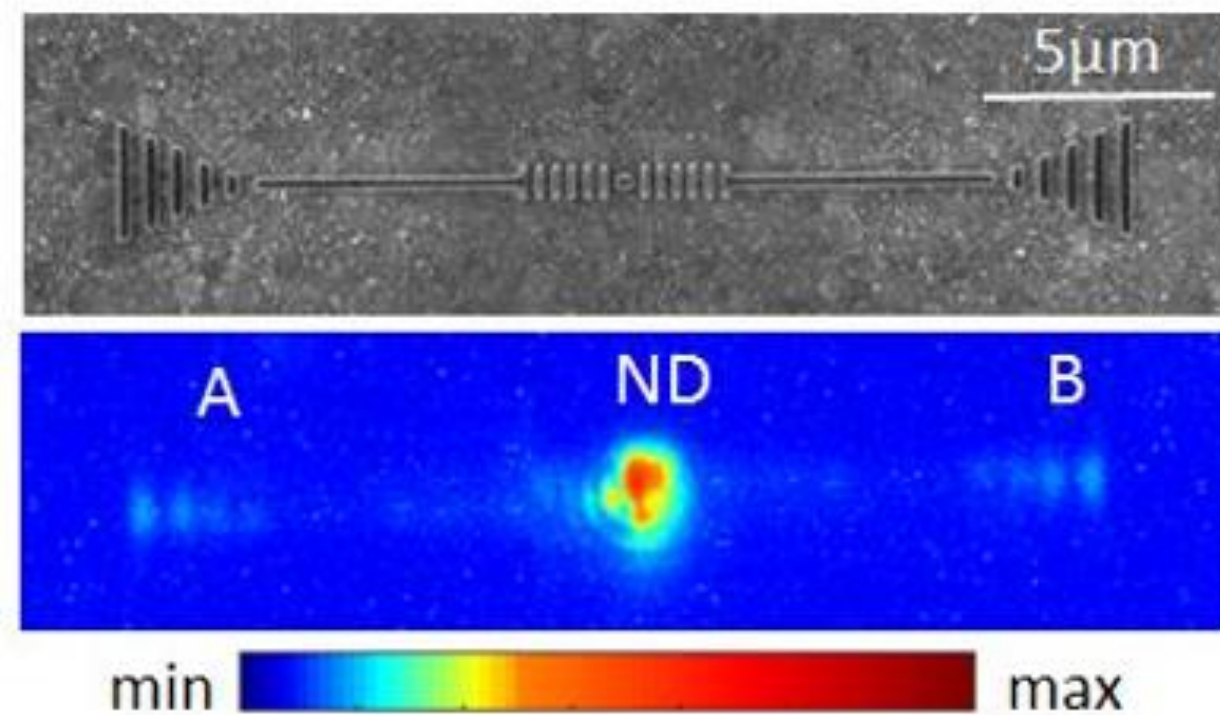
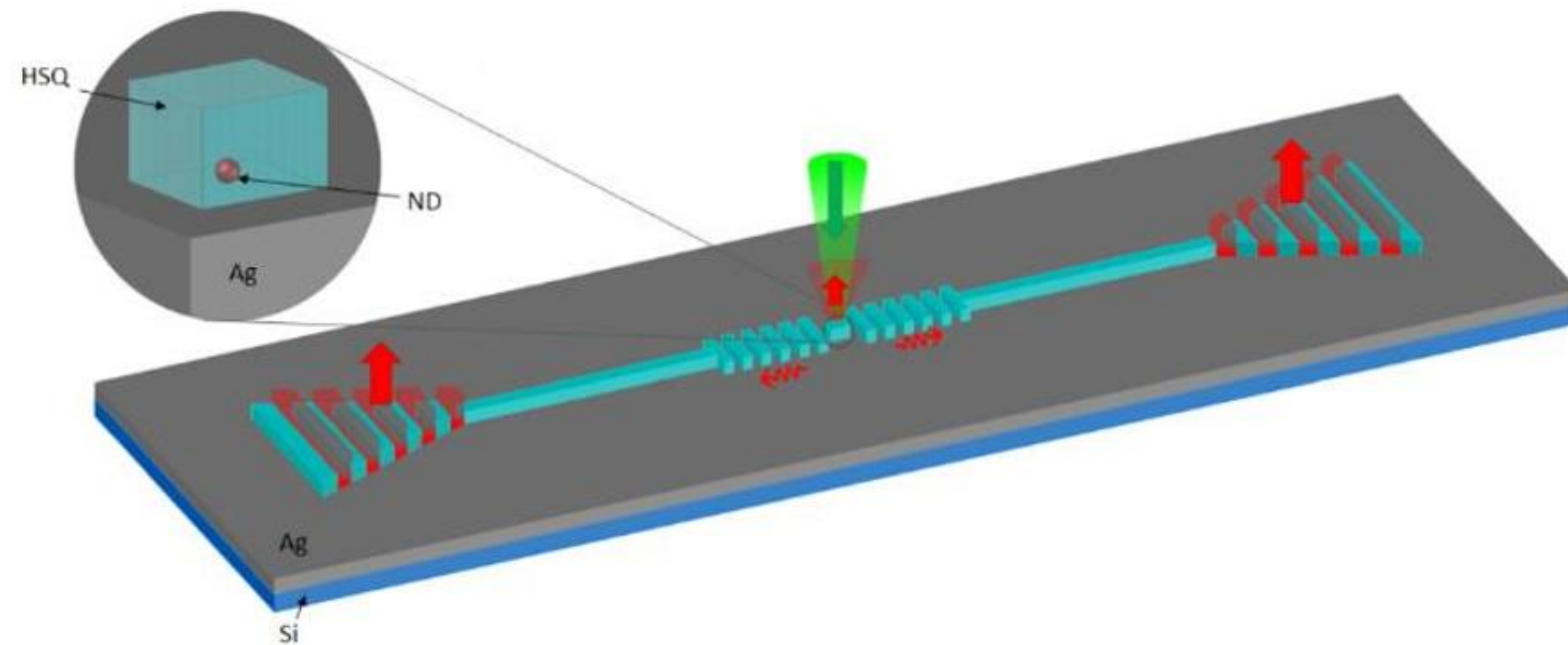
$$F_p = \frac{3}{4\pi^2} \left(\frac{\lambda_c}{n} \right)^3 \frac{Q}{V}$$

ИЗЛУЧАТЕЛИ В РЕЗОНАТОРАХ



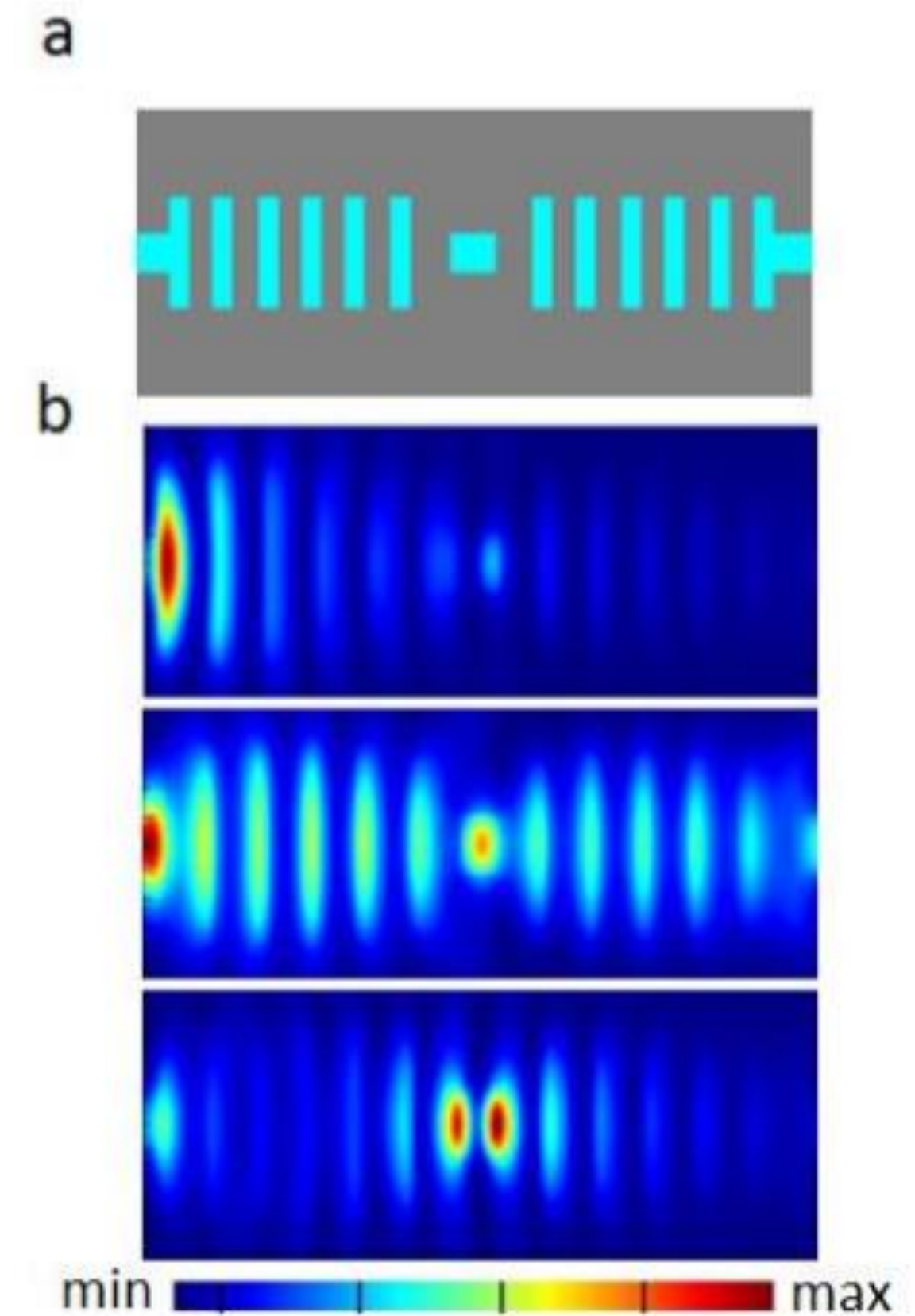
$$\frac{\Gamma}{\Gamma_0} \approx 4$$

ИЗЛУЧАТЕЛИ В РЕЗОНАТОРАХ



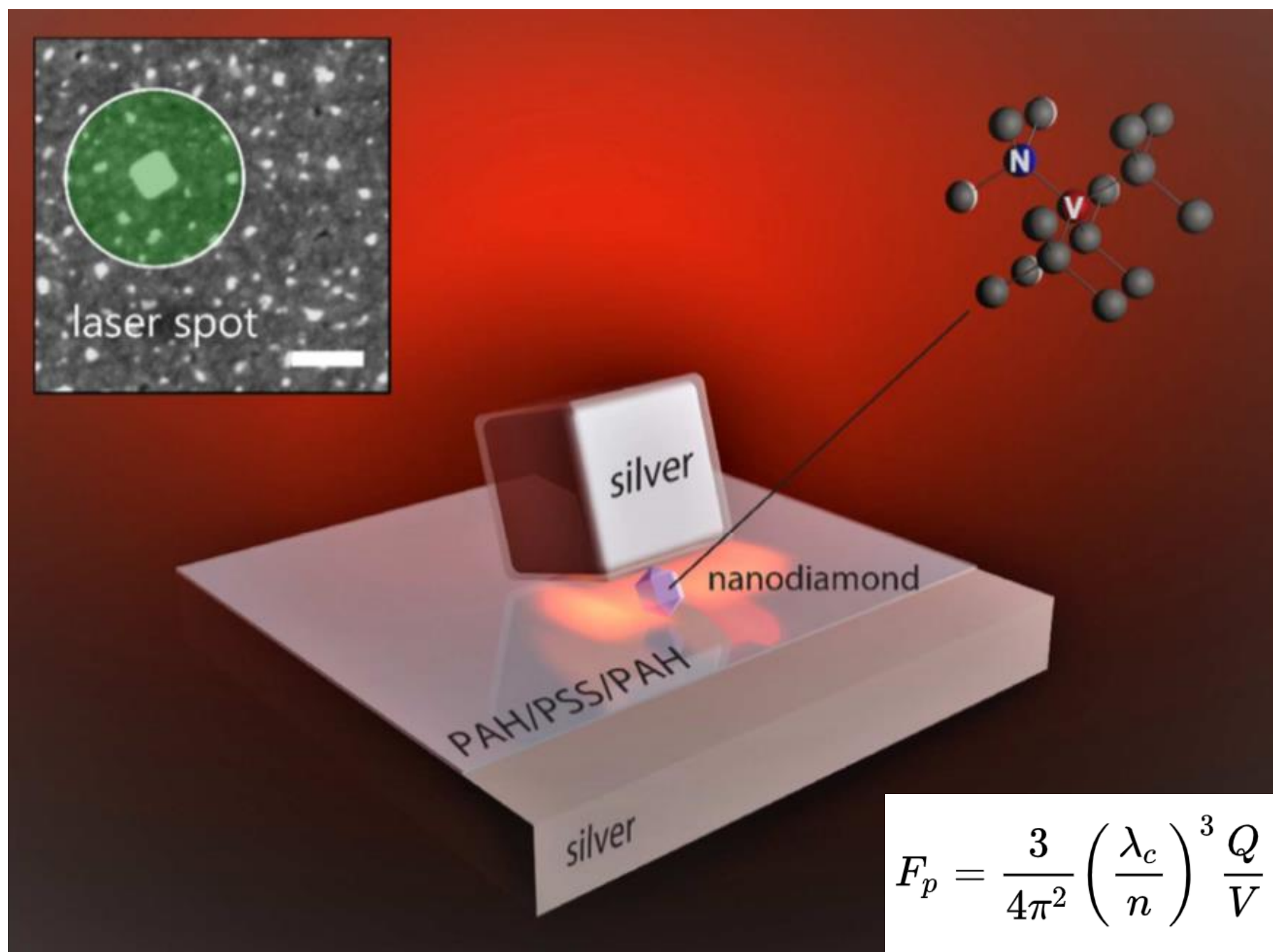
$$Q \approx 70,$$

$$\frac{\Gamma}{\Gamma_0} \approx 50$$



Chip-integrated plasmonic cavity-enhanced single nitrogen-vacancy center emission

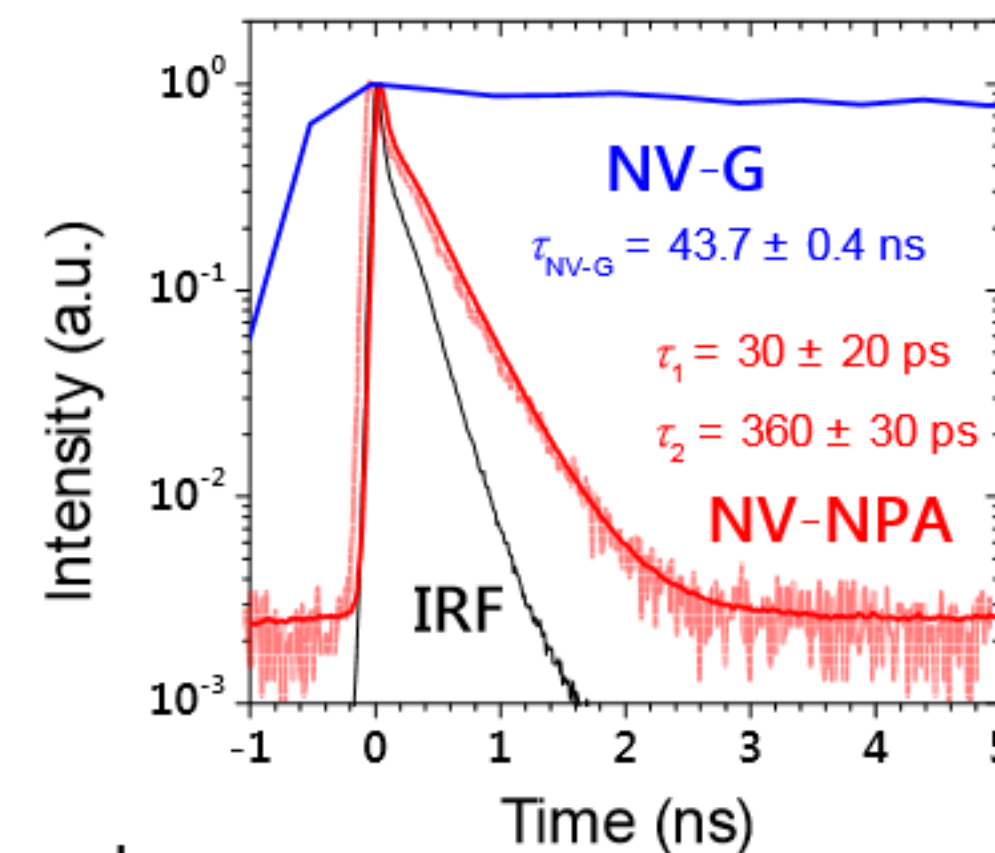
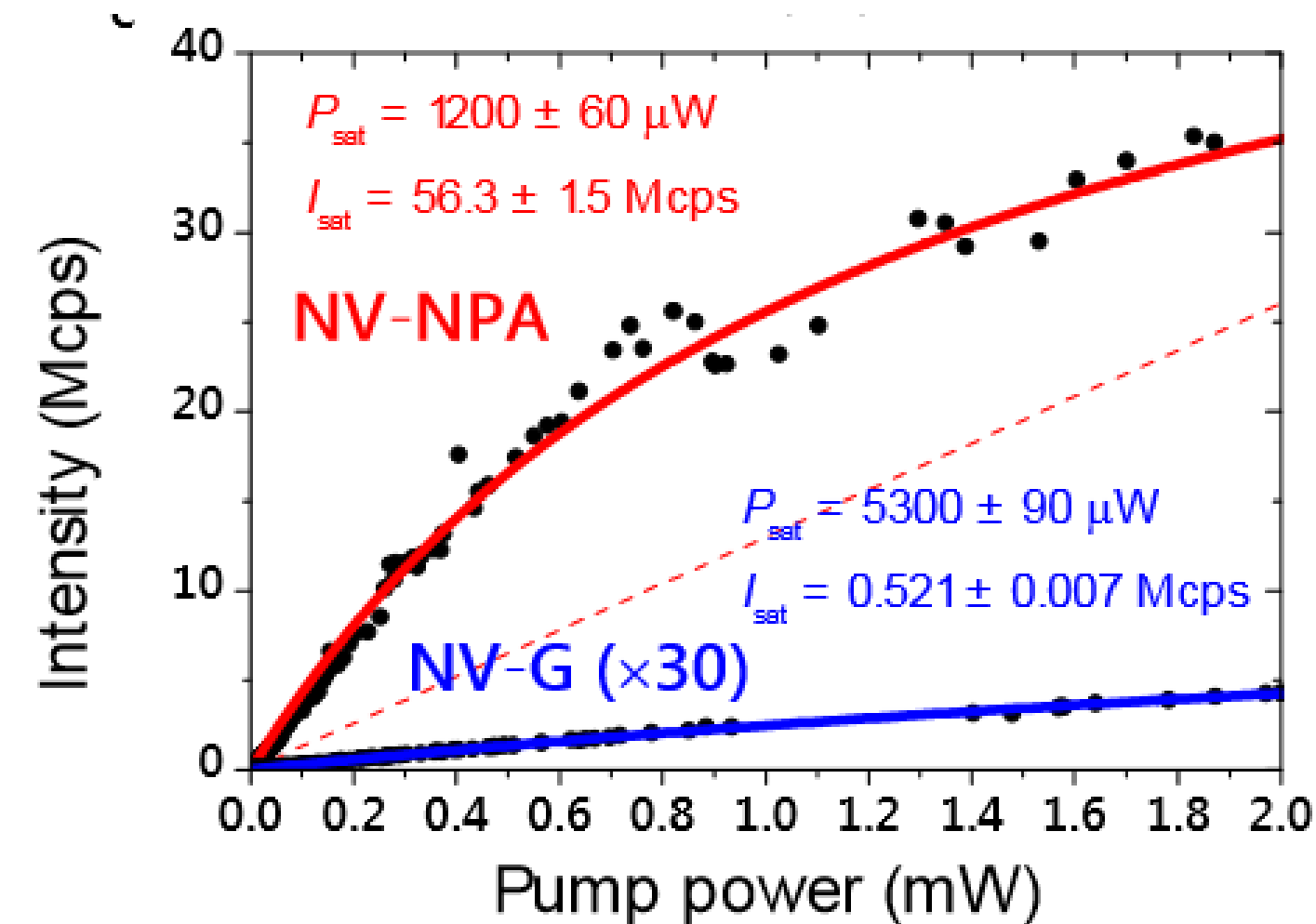
ИЗЛУЧАТЕЛИ В РЕЗОНАТОРАХ



$$F_p = \frac{3}{4\pi^2} \left(\frac{\lambda_c}{n} \right)^3 \frac{Q}{V}$$

Увеличение числа фотоотсчетов
в 100 раз!

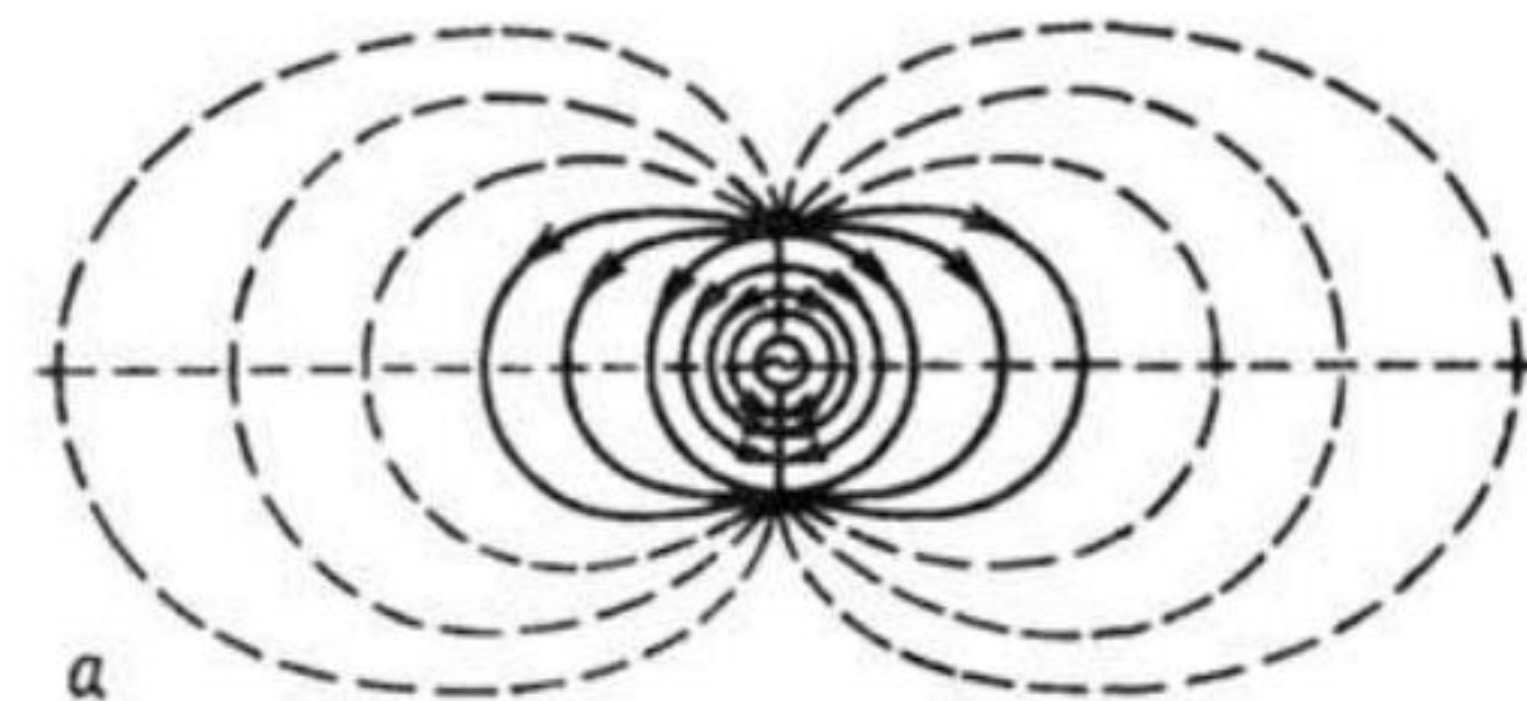
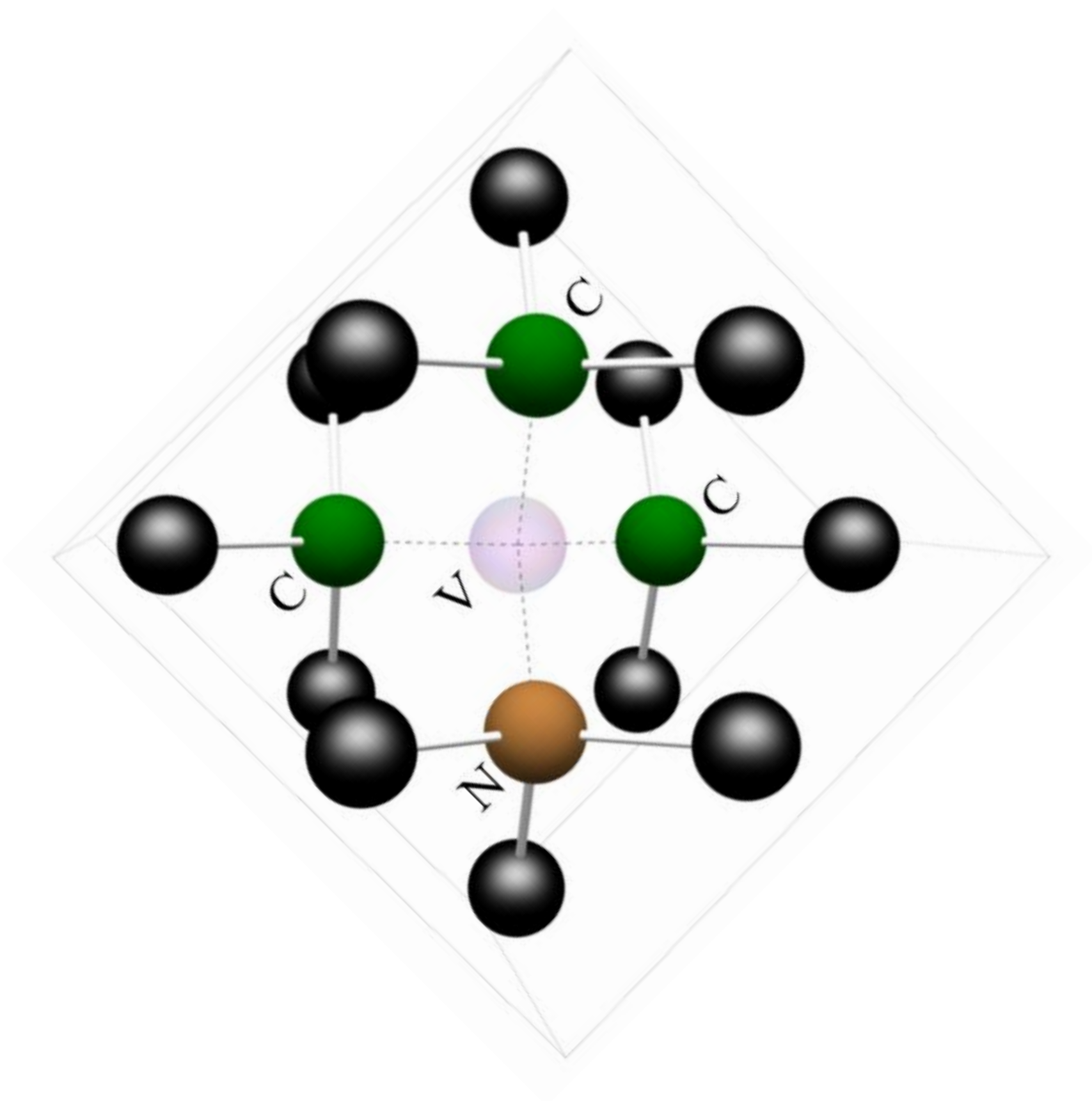
$$\frac{\Gamma}{\Gamma_0} \approx 100$$



Ultrabright room-temperature sub-nanosecond emission from single nitrogen-vacancy centers coupled to nano-patch antennas

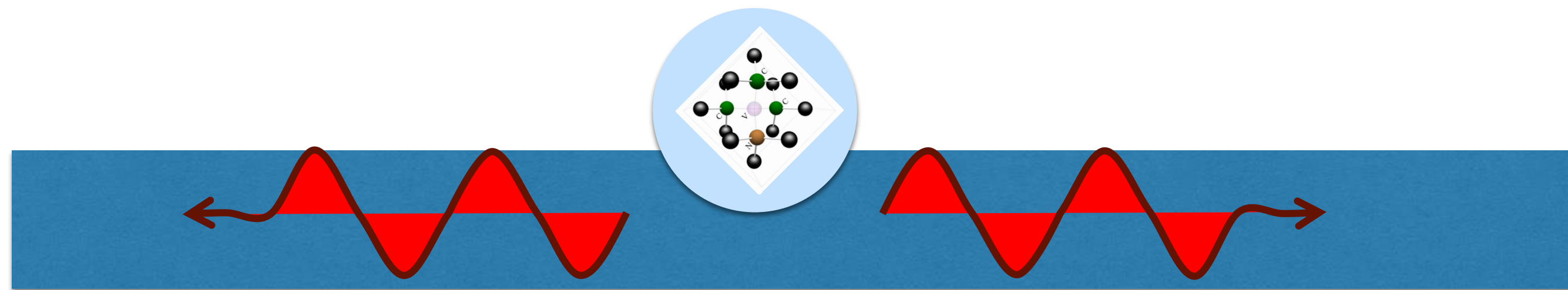
Simeon Bogdanov, Mikhail Y. Shalaginov, Alexei Lagutchev, Chin-Cheng Chiang, Deesha Shah, Aleksandr Baburin, Ilya Ryzhikov, Ilya Rodionov, Alexander V. Kildishev, Alexandra Boltasseva, and Vladimir M. Shalaev

NV ЦЕНТРЫ



Направленность излучения

ЗАВЕДЕНИЕ ИЗЛУЧЕНИЯ NV ЦЕНТРА В ВОЛОКНО



Золотое правило Ферми

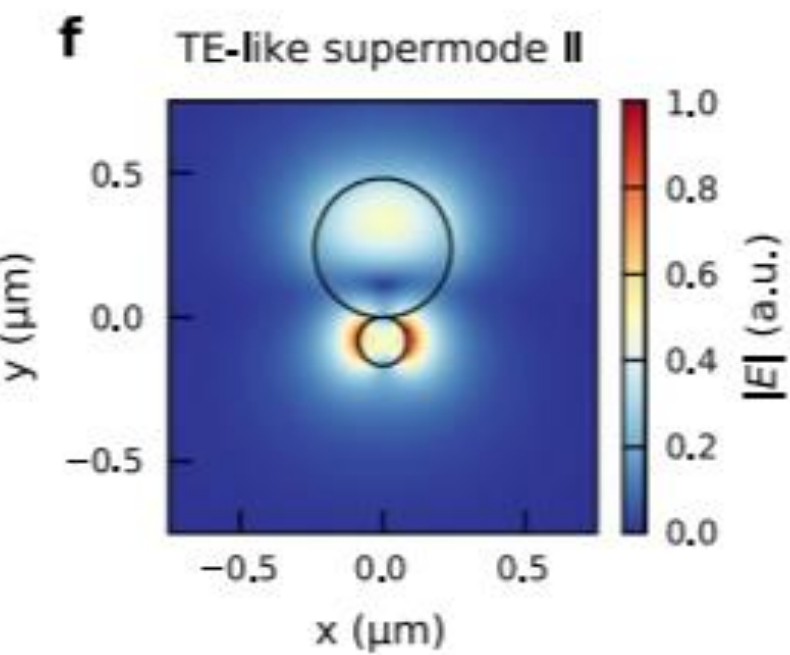
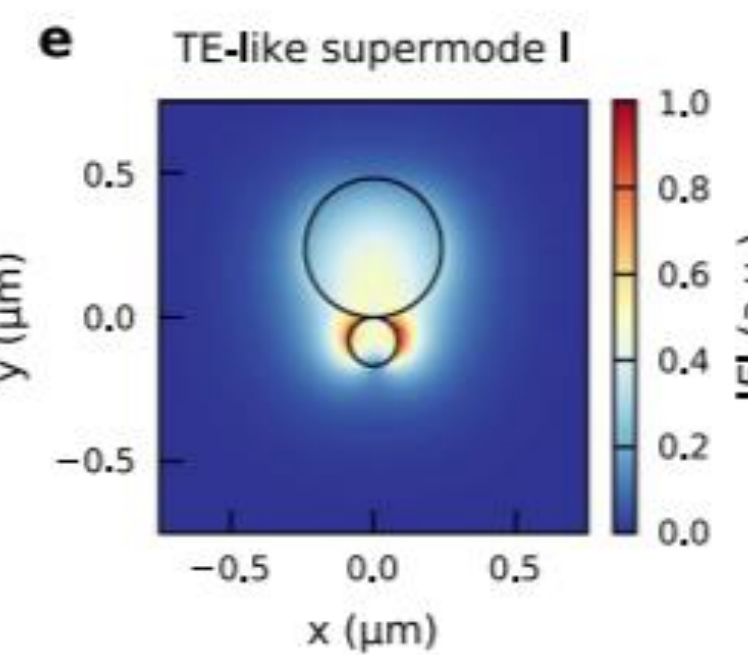
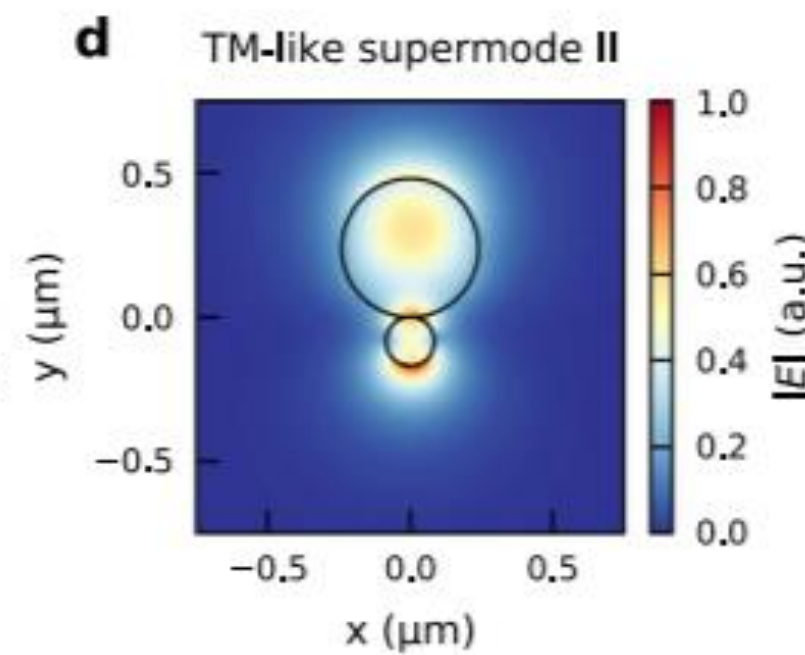
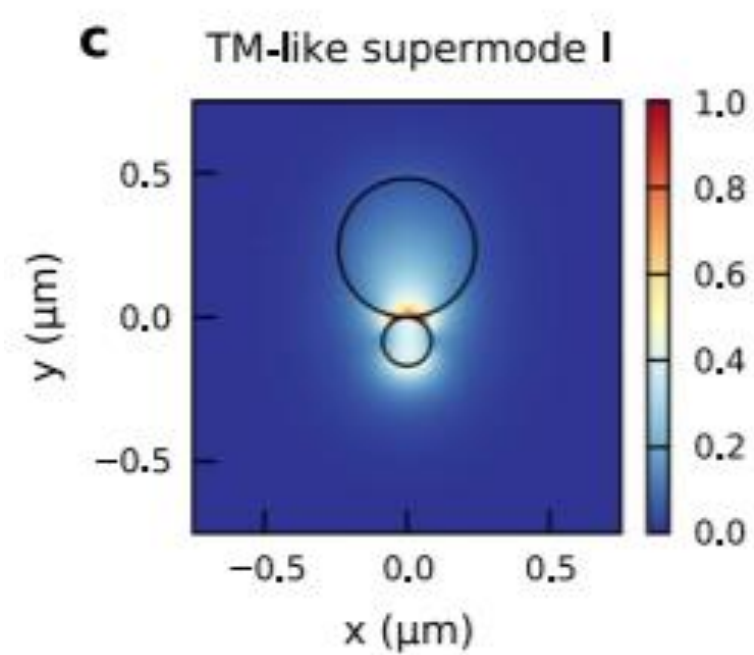
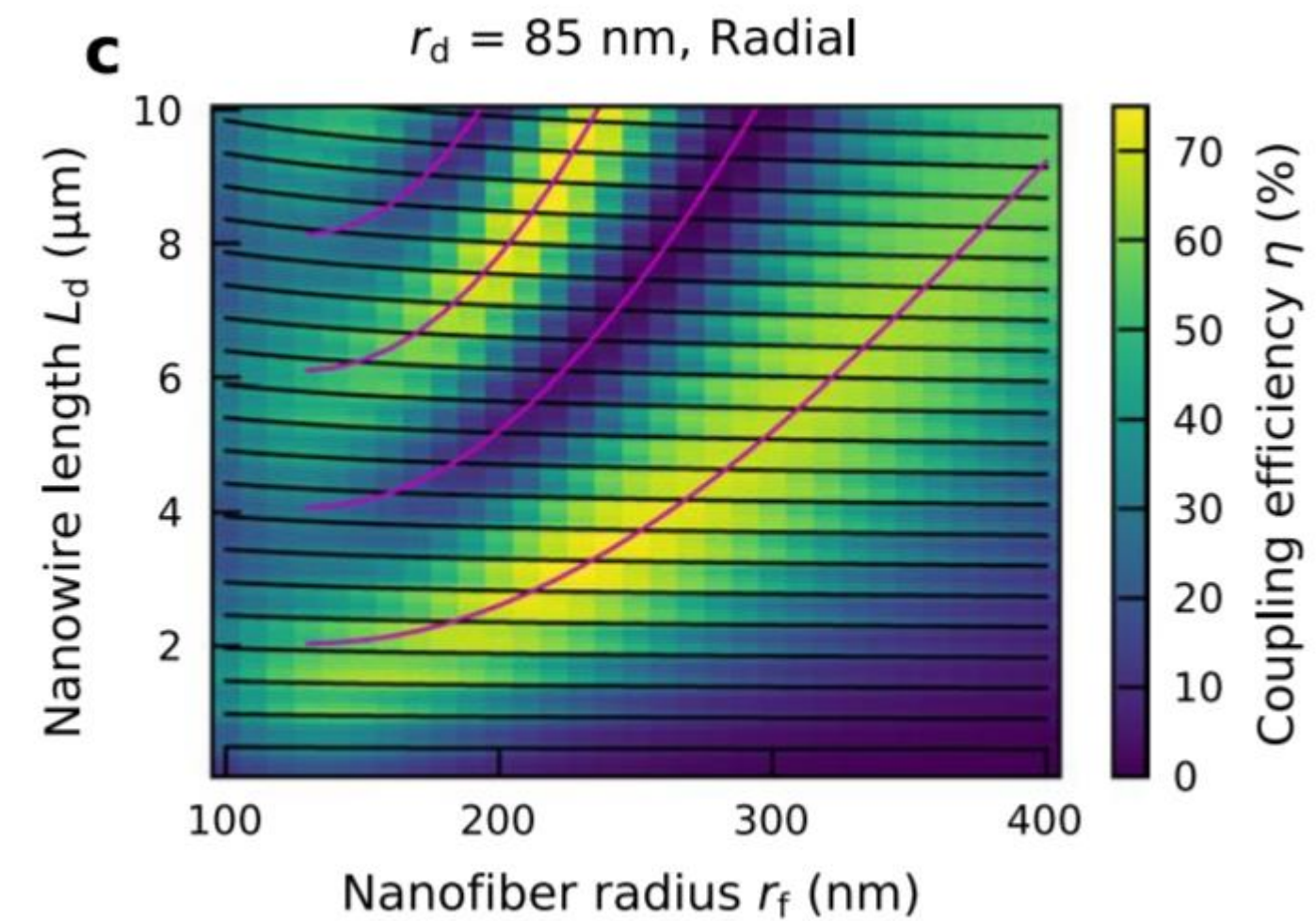
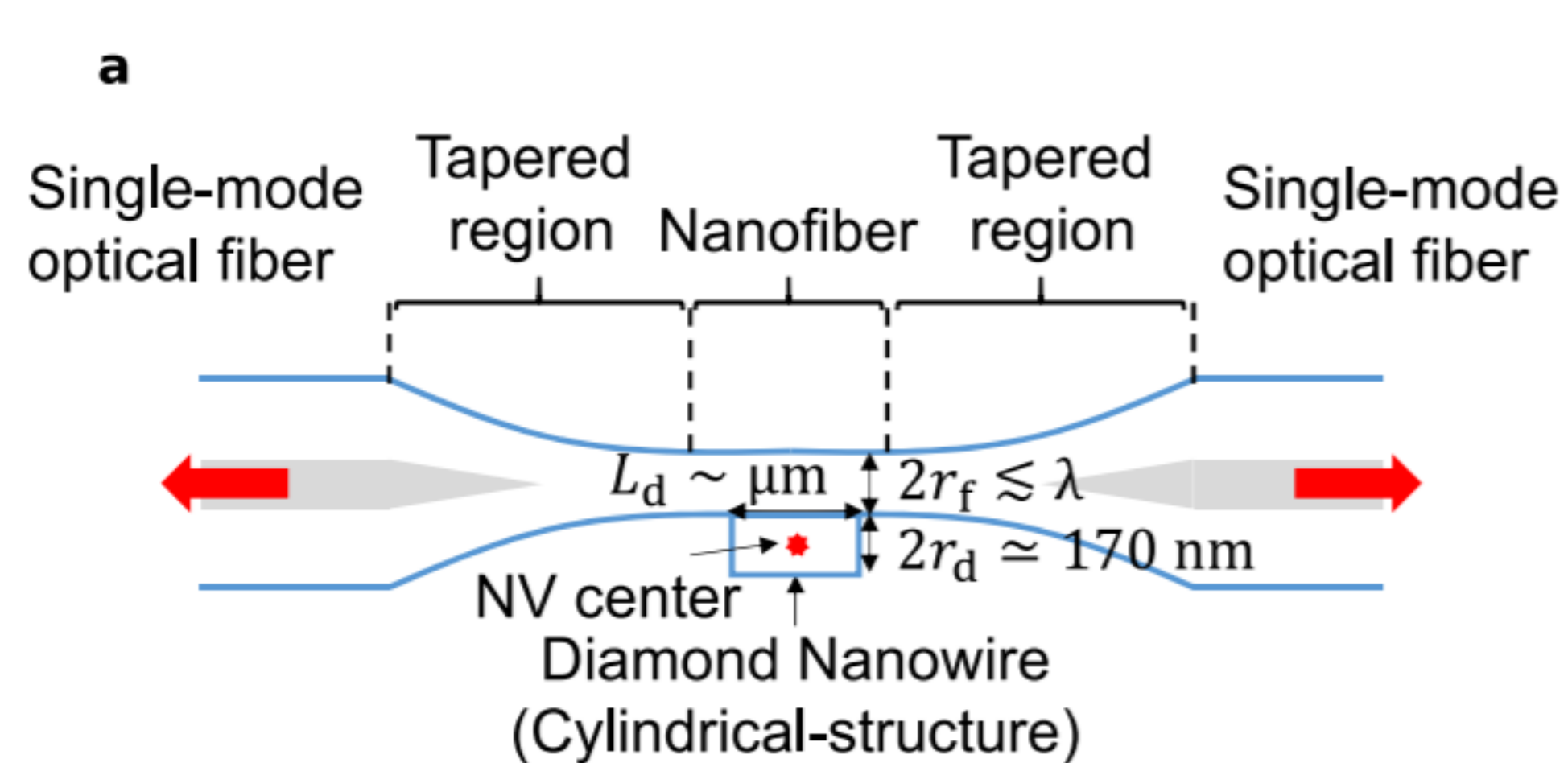
$$W_{i \rightarrow f} = \frac{2\pi}{\hbar} |\langle f | H' | i \rangle|^2 \rho$$

$$\hat{\mathcal{H}}^{\text{JC}} = \sum_{i=0}^n \hbar\omega_i \hat{\sigma}_{i,i} + \hbar\omega_{\text{ZPL}} \hat{\sigma}_{e,e} + \hbar\omega_c \hat{a}^\dagger \hat{a} + i\hbar \sum_{i=0}^n g_i (\hat{a}^\dagger \hat{\sigma}_{i,e} - \hat{\sigma}_{i,e}^\dagger \hat{a})$$

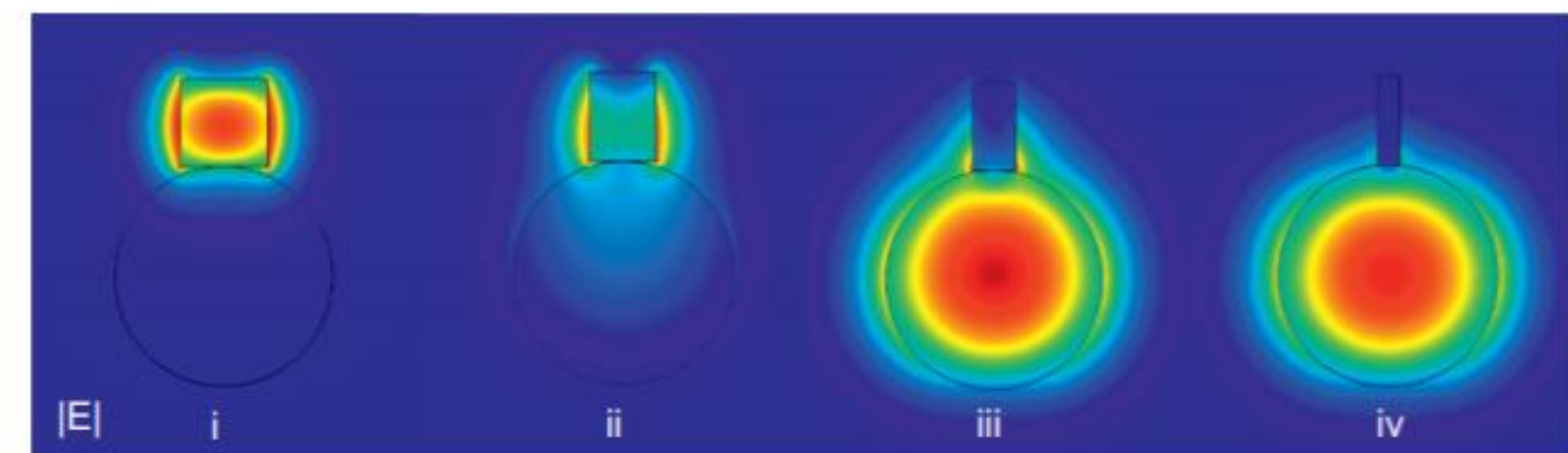
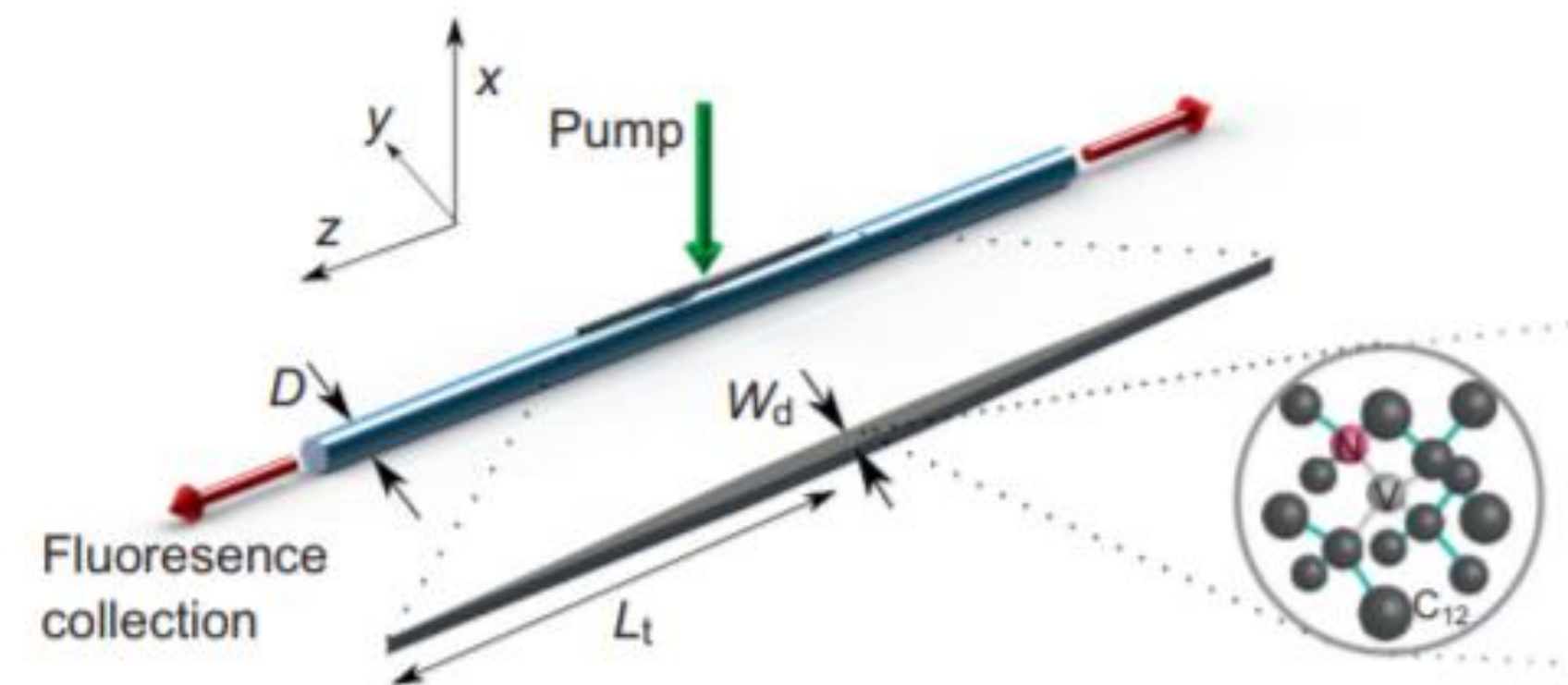
$$R_0 = \frac{4g_0^2}{\kappa + \gamma + \gamma^*} \frac{1}{1 + \left(\frac{2\delta_0}{\kappa + \gamma + \gamma^*} \right)^2}$$

$$R_i = \frac{4g_i^2}{\kappa + \gamma + \gamma_{i,i-1} + \gamma^*} \frac{1}{1 + \left(\frac{2\delta_1}{\kappa + \gamma + \gamma_{i,i-1} + \gamma^*} \right)^2}$$

ВЗАИМОДЕЙСТВИЕ ИЗЛУЧАТЕЛЯ И ВОЛНОВОДА



ВЗАИМОДЕЙСТВИЕ ИЗЛУЧАТЕЛЯ И ВОЛНОВОДА



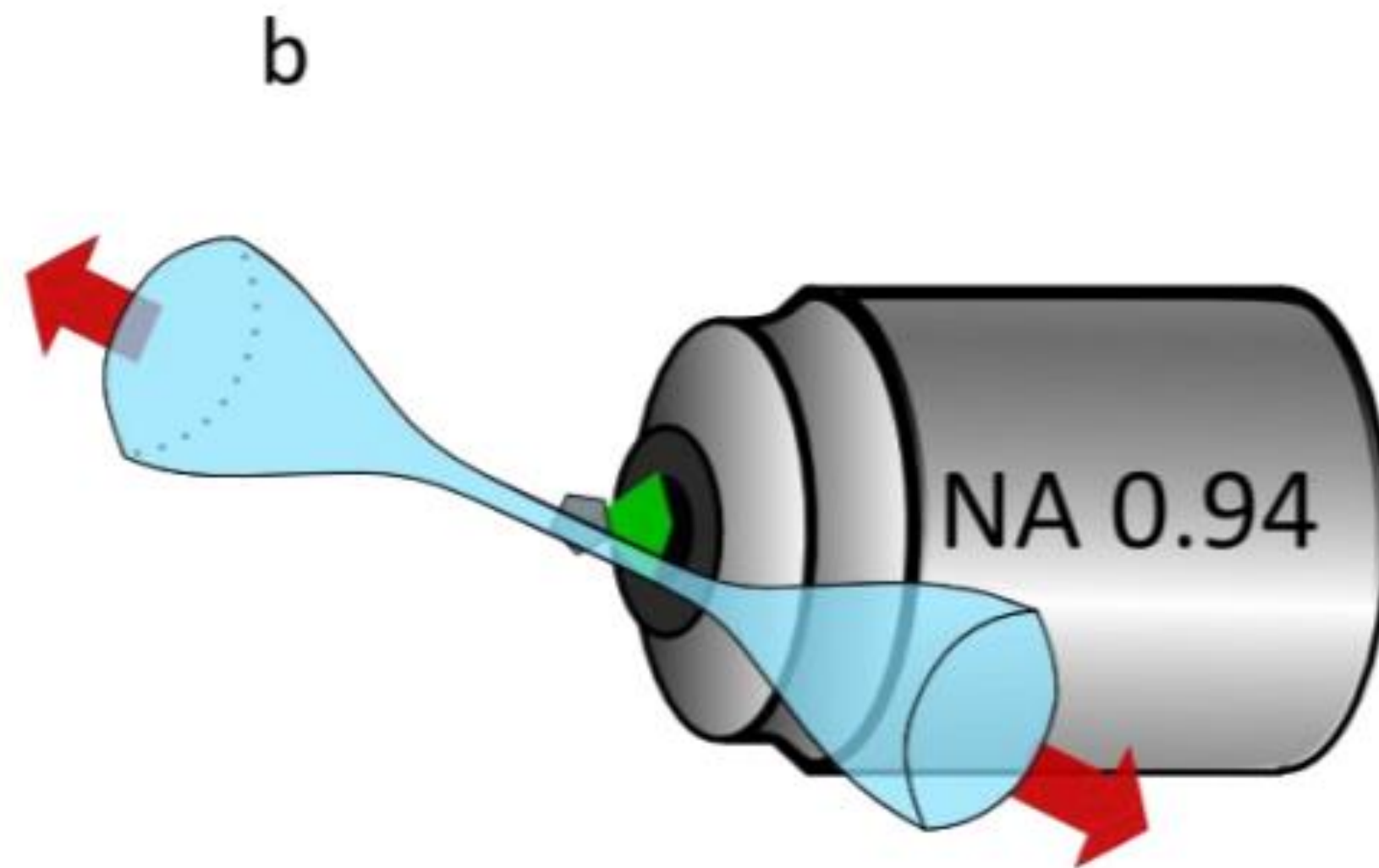
Efficient photon coupling from a diamond nitrogen vacancy center by integration with silica fiber

Rishi N Patel^{1,2}, Tim Schröder¹, Noel Wan¹, Luozhou Li¹, Sara L Mouradian¹, Edward H Chen¹ and Dirk R Englund¹

Эффективность заведения $\eta \approx 15-30\%$

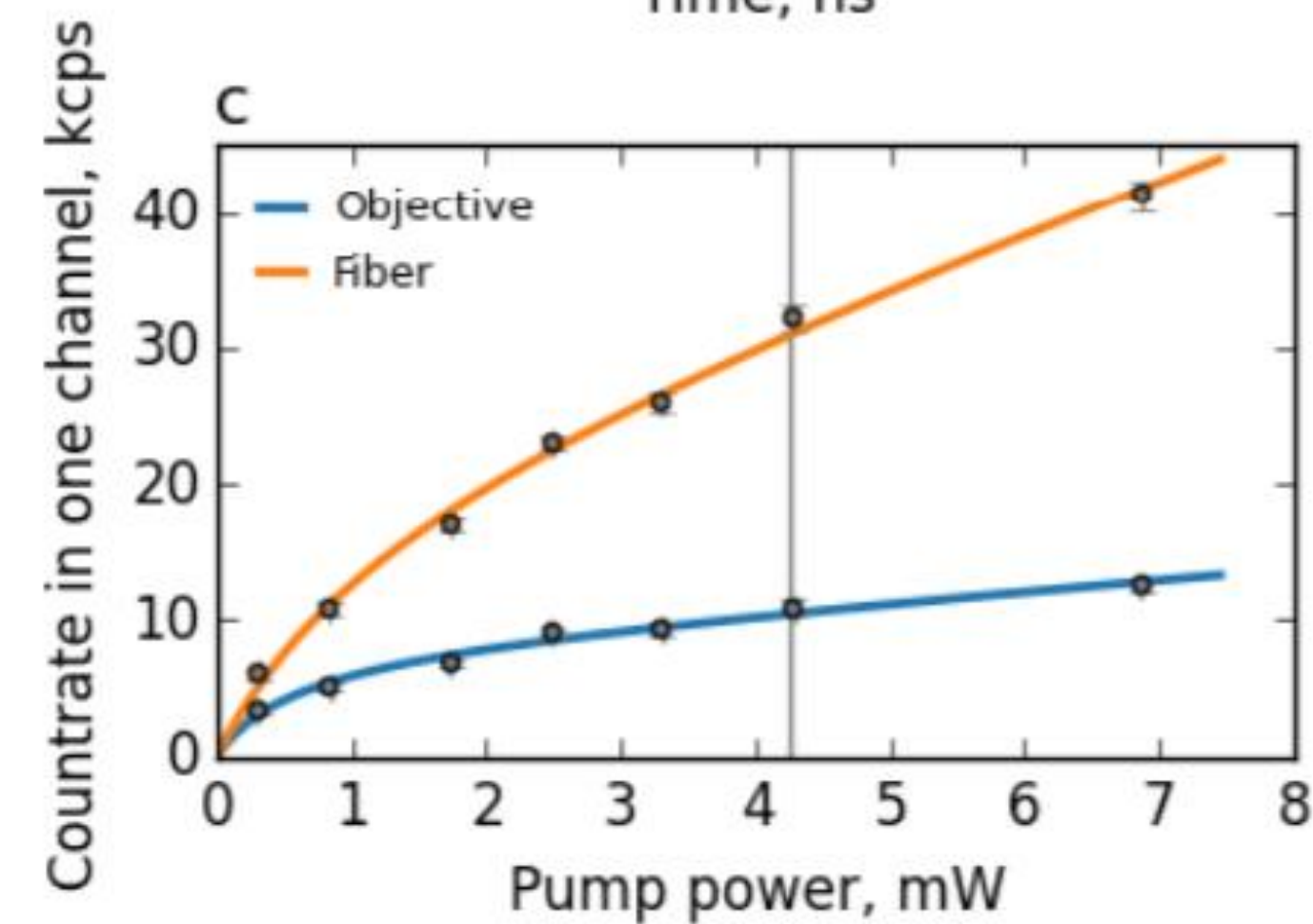
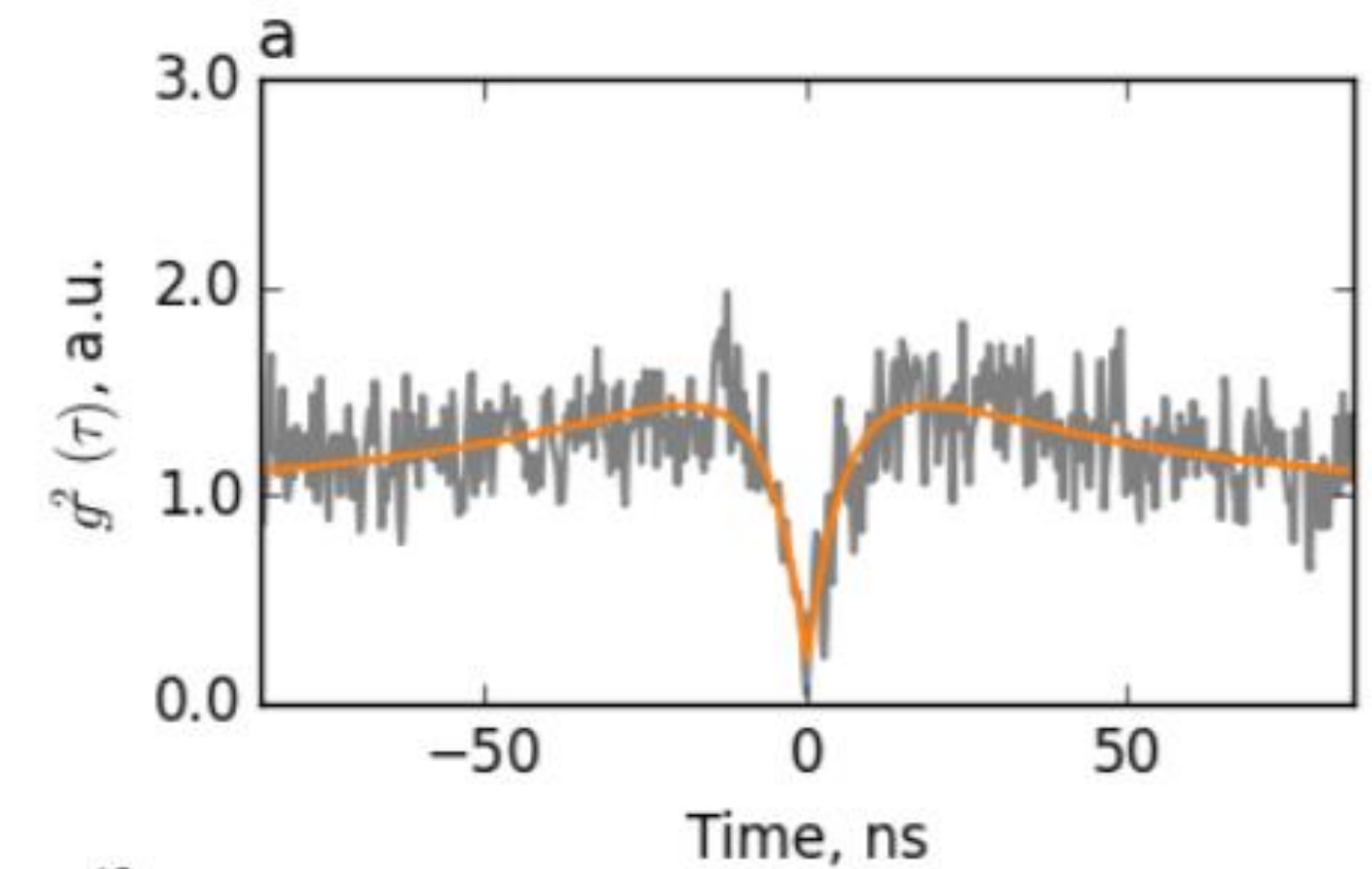
$$\beta = \frac{\Gamma_{\text{guided}}}{\Gamma_{\text{decay}}} \quad \Gamma_{\text{guided}}^* = \eta_{\text{apd}} \kappa_{\text{tg}} \kappa_{\text{taper}} \Gamma_{\text{guided}}$$

ВЗАИМОДЕЙСТВИЕ ИЗЛУЧАТЕЛЯ И ВОЛНОВОДА

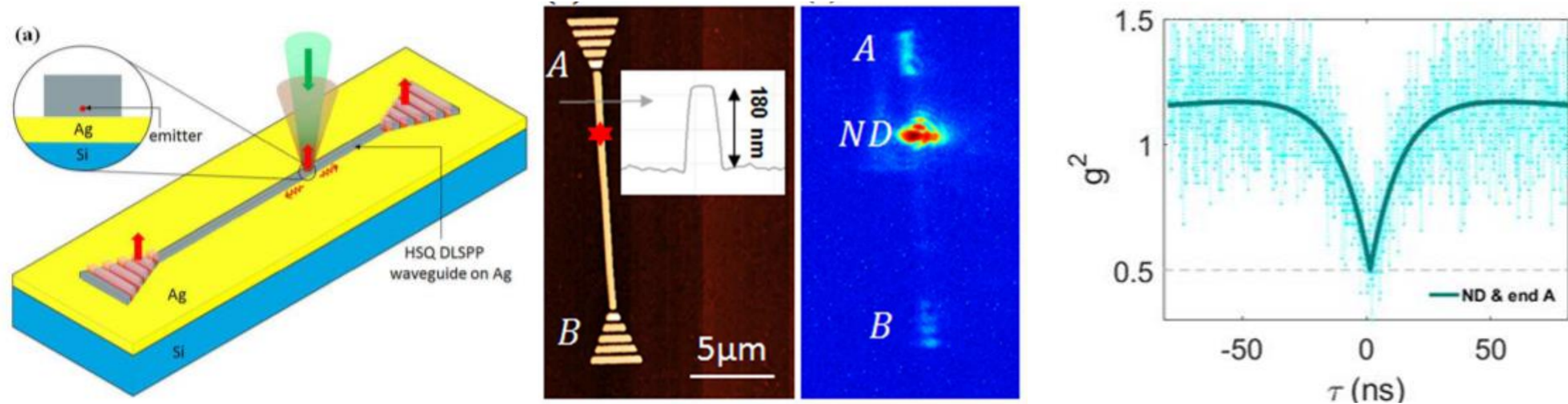


Coupling of single NV Center to adiabatically tapered optical single mode fiber

Vadim V. Vorobyov^{1,2,3}, Vladimir V. Soshenko^{1,2,4}, Stepan V. Bolshedvorskii^{1,2,3}, Javid Javadzade³, Nikolay Lebedev³, Andrey N. Smolyaninov⁴, Vadim N. Sorokin^{1,2}, Alexey V. Akimov^{5,2,1}



ВЗАИМОДЕЙСТВИЕ ИЗЛУЧАТЕЛЯ И ВОЛНОВОДА



Эффективность заведения $\beta \approx 50\%$

Chip-integrated plasmonic cavity-enhanced single nitrogen-vacancy center emission

Hamidreza Siampour,* Shailesh Kumar and Sergey I. Bozhevolnyi

2D ВОЛНОВОД

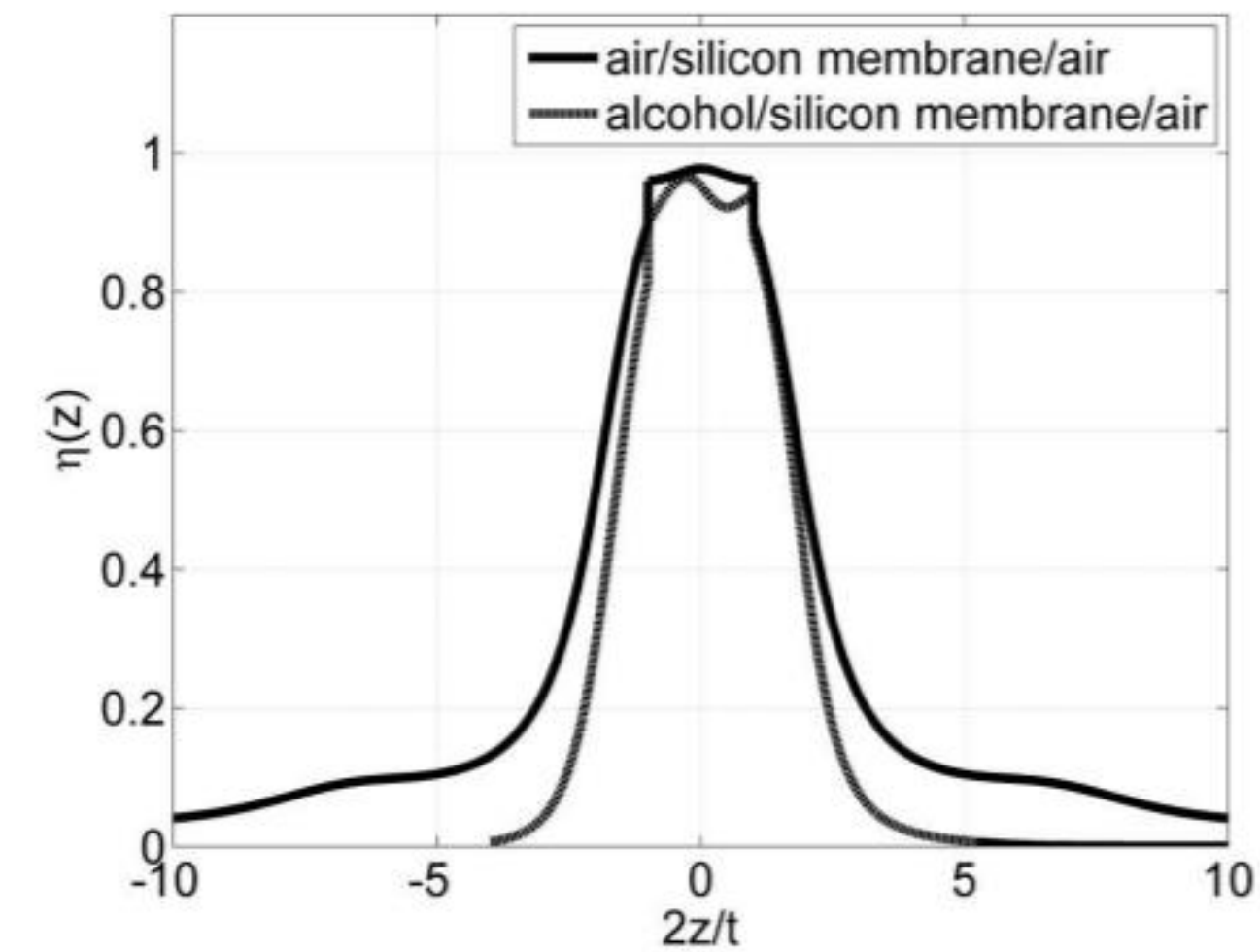
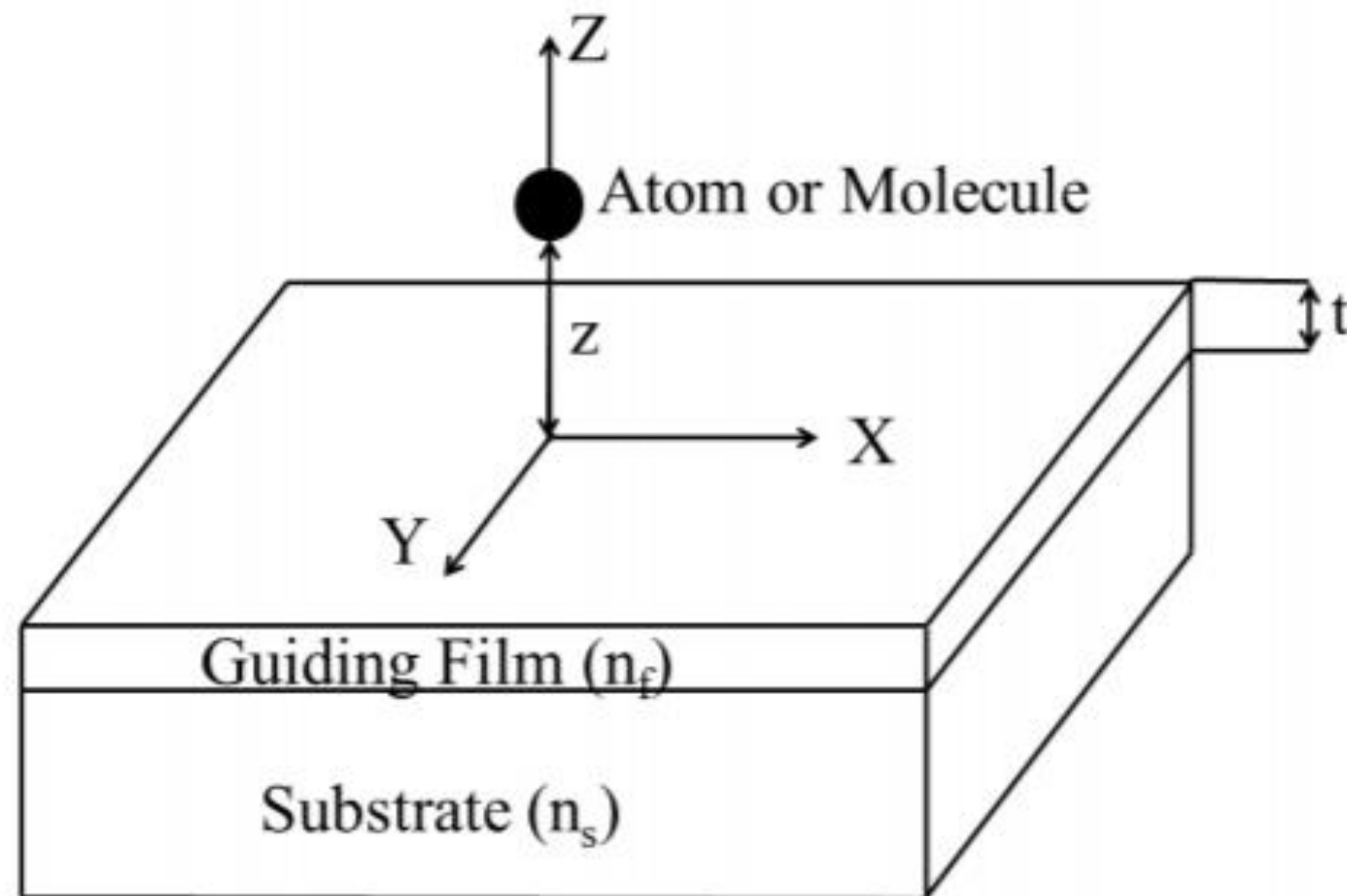
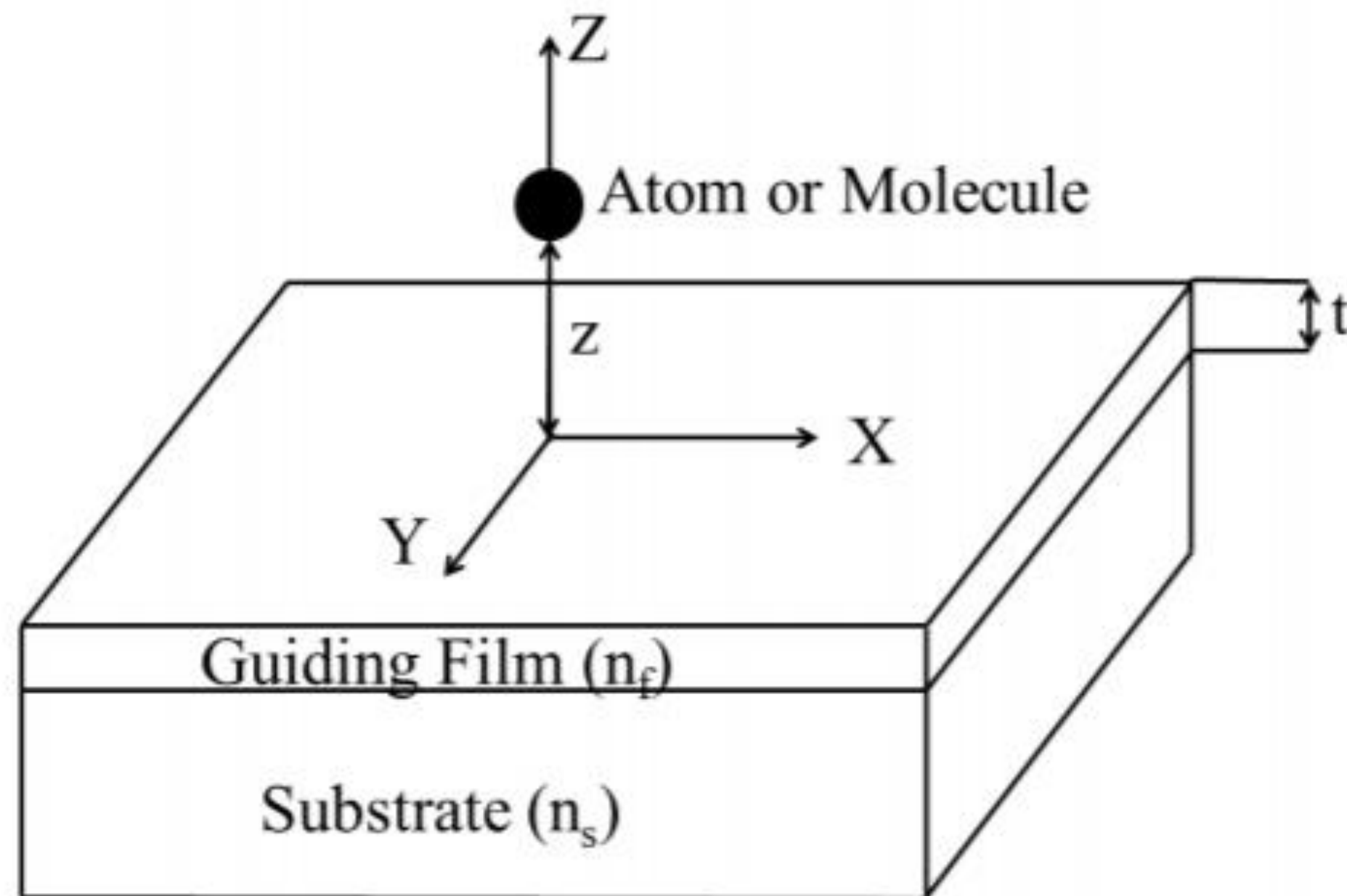


Figure 4.8: The coupling efficiency as a function of $2z/t$ of air/silicon membrane and alcohol/silicon membrane.

$$F_R^j(z) = \sum_{p=TE, TM} \sum_{\mu=Sub}^{Cover} \int_0^{2\pi} \int_0^{k_0 n_\mu} \frac{\hbar \omega_0}{2\epsilon_0} |E_{kp\mu}^j(\vec{r})|^2 \beta d\beta d\phi,$$

$$F_G^j(z) = \sum_{p=TE, TM} \sum_{\substack{\nu \geq 1 \\ k_\nu^{p, min} < k_0}} \int_0^{2\pi} \frac{\hbar \omega_0}{2\epsilon_0} |E_{kp\nu}^j(\vec{r})|^2 \beta_\nu^p(k_0) \frac{d\beta_\nu^p}{dk}(k_0) d\phi,$$

2D ВОЛНОВОД



$$W_{\text{bound}} = \frac{e^2 r_{12}^2}{2\pi \hbar^2} \left(\frac{\beta}{v_g^K} \right) \sum_{\vec{P}} \sum_K N_{\vec{P}}^2(\omega_o, K) \int_{\varphi=0}^{2\pi} \times | \vec{F}_{\vec{P}}(\omega_o, K, x_a) \bullet \hat{r} |^2 d\varphi$$

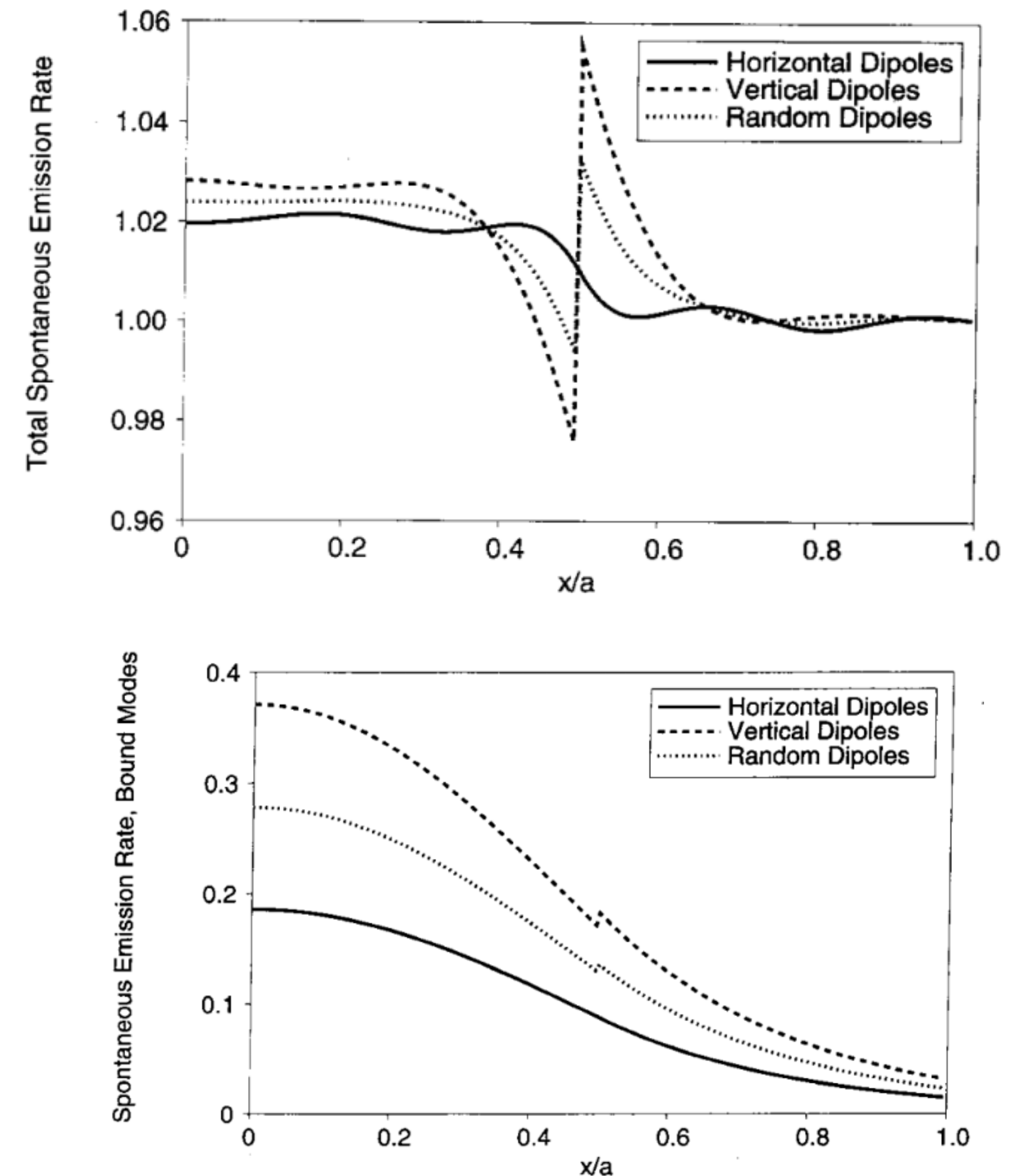
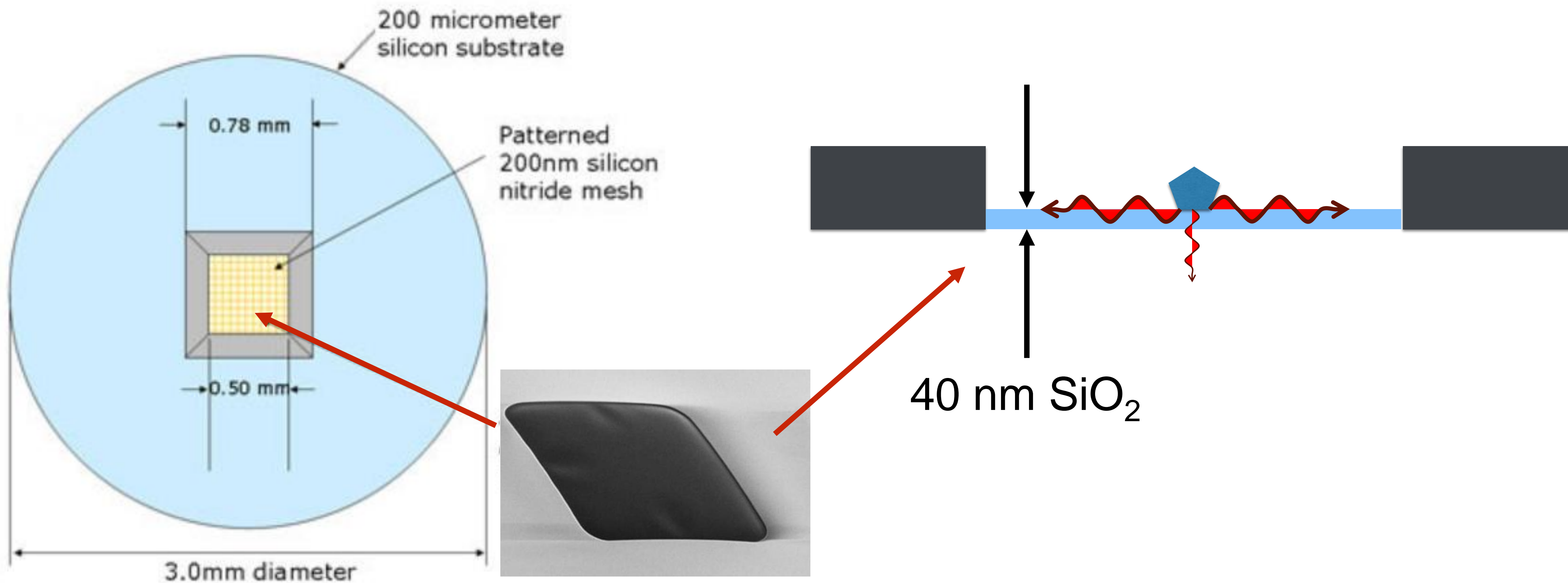


Fig. 5. Rates of spontaneous emission into bound modes for $n_1 = 1.50$ and $n_2 = 1.47$; $a = 2 \mu\text{m}$; horizontal dipoles (solid line); vertical dipoles (dashed line); randomly-oriented dipoles (dotted line).

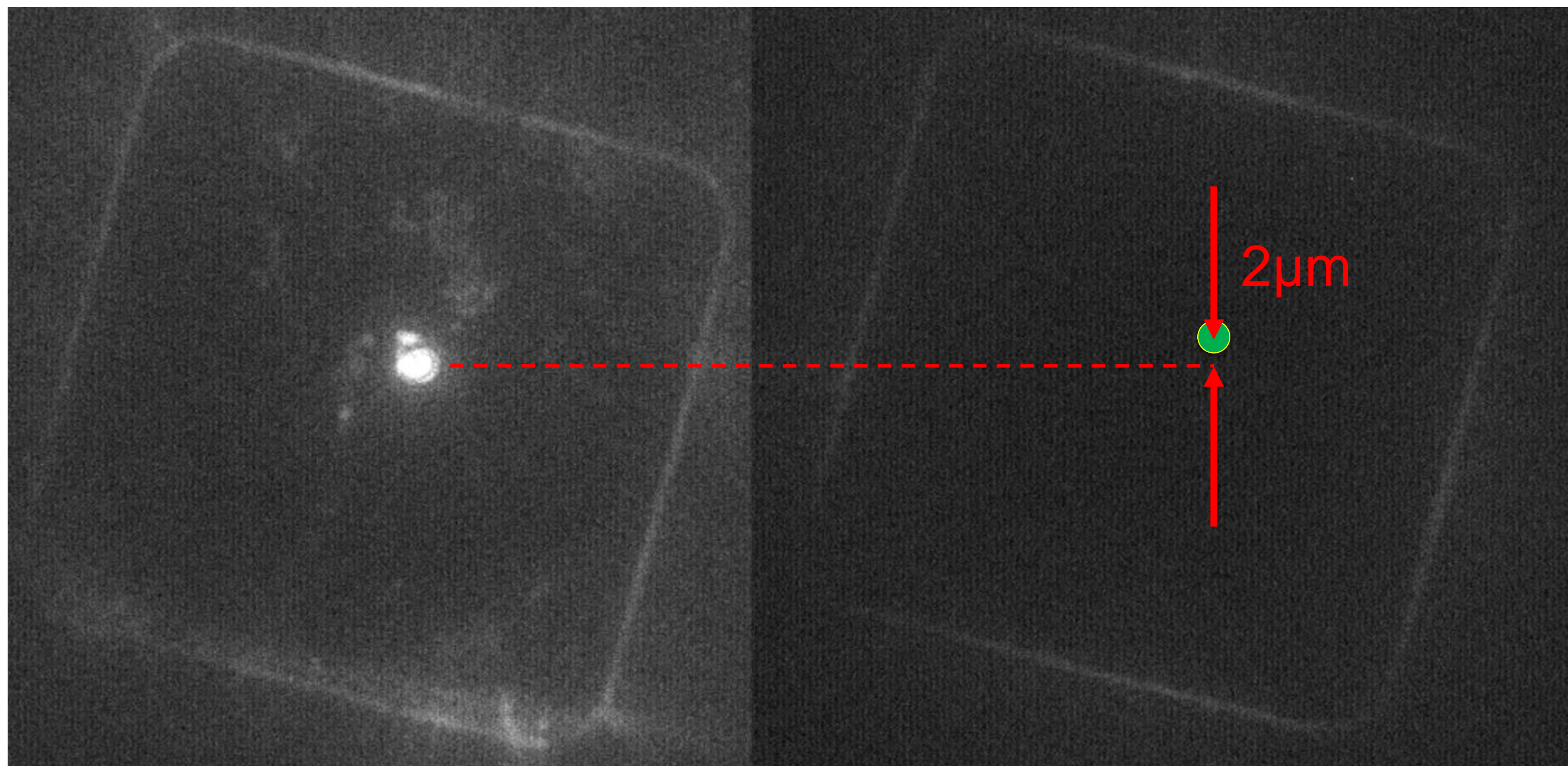


2D ВОЛНОВОД





2D ВОЛНОВОД



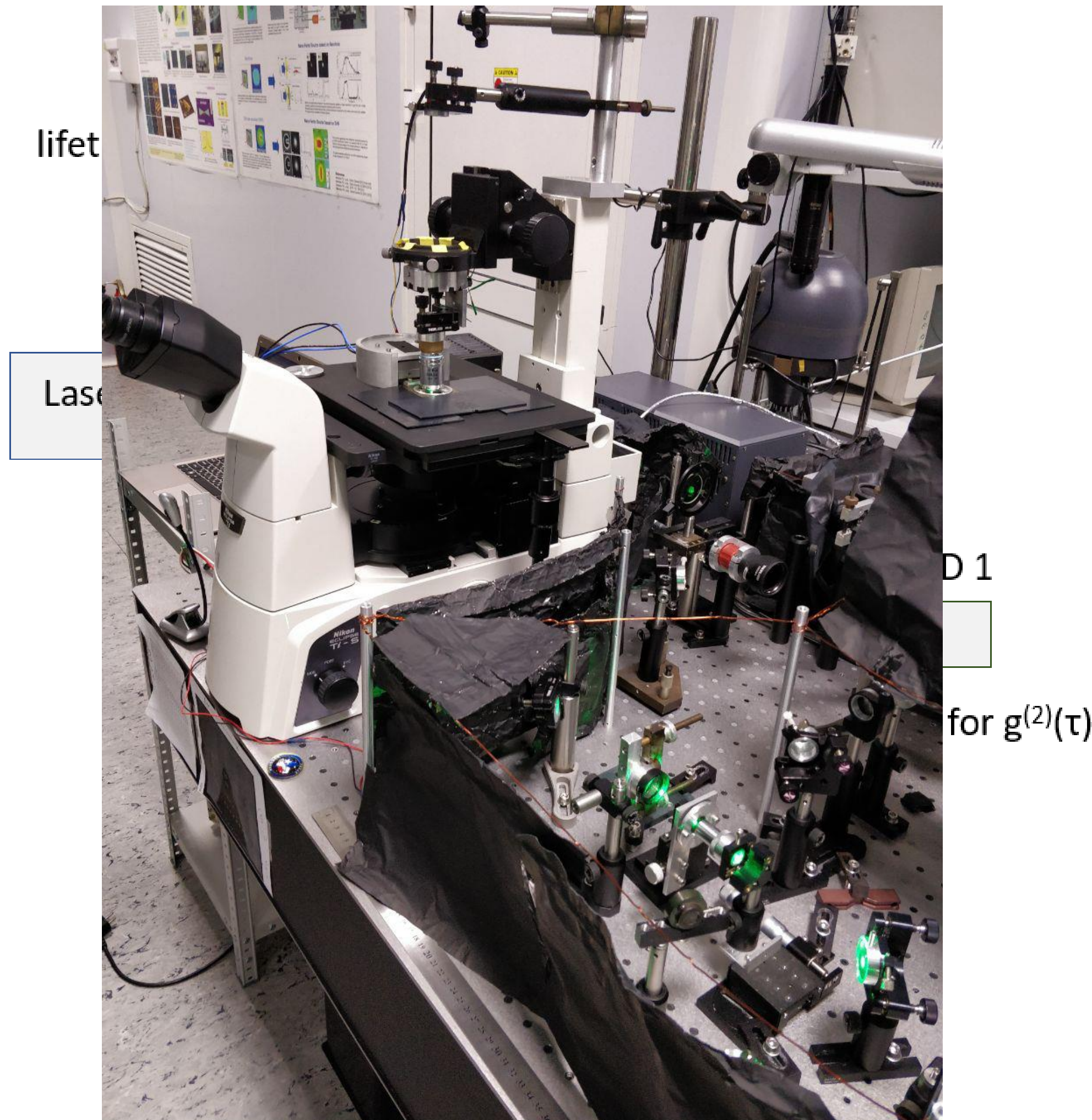


2D ВОЛНОВОД



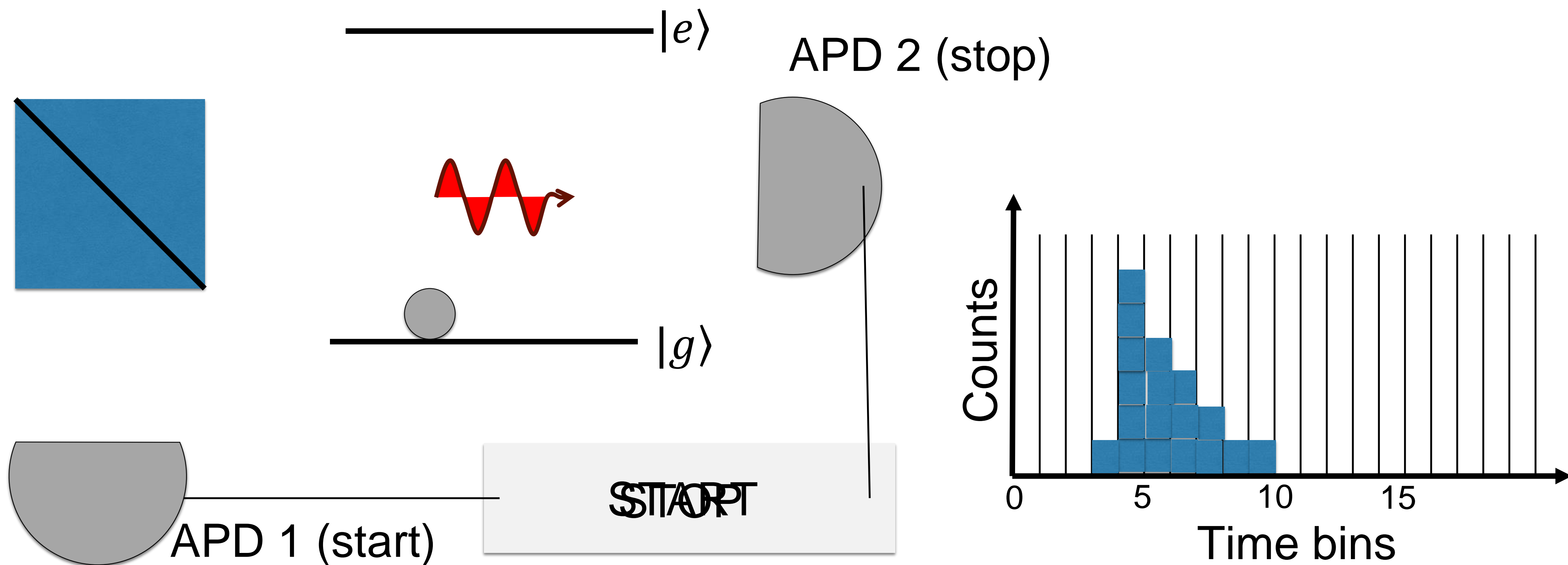
$$\frac{I_{total\ border}}{I_{NV}} = 60$$

ЭКСПЕРИМЕНТАЛЬНАЯ УСТАНОВКА



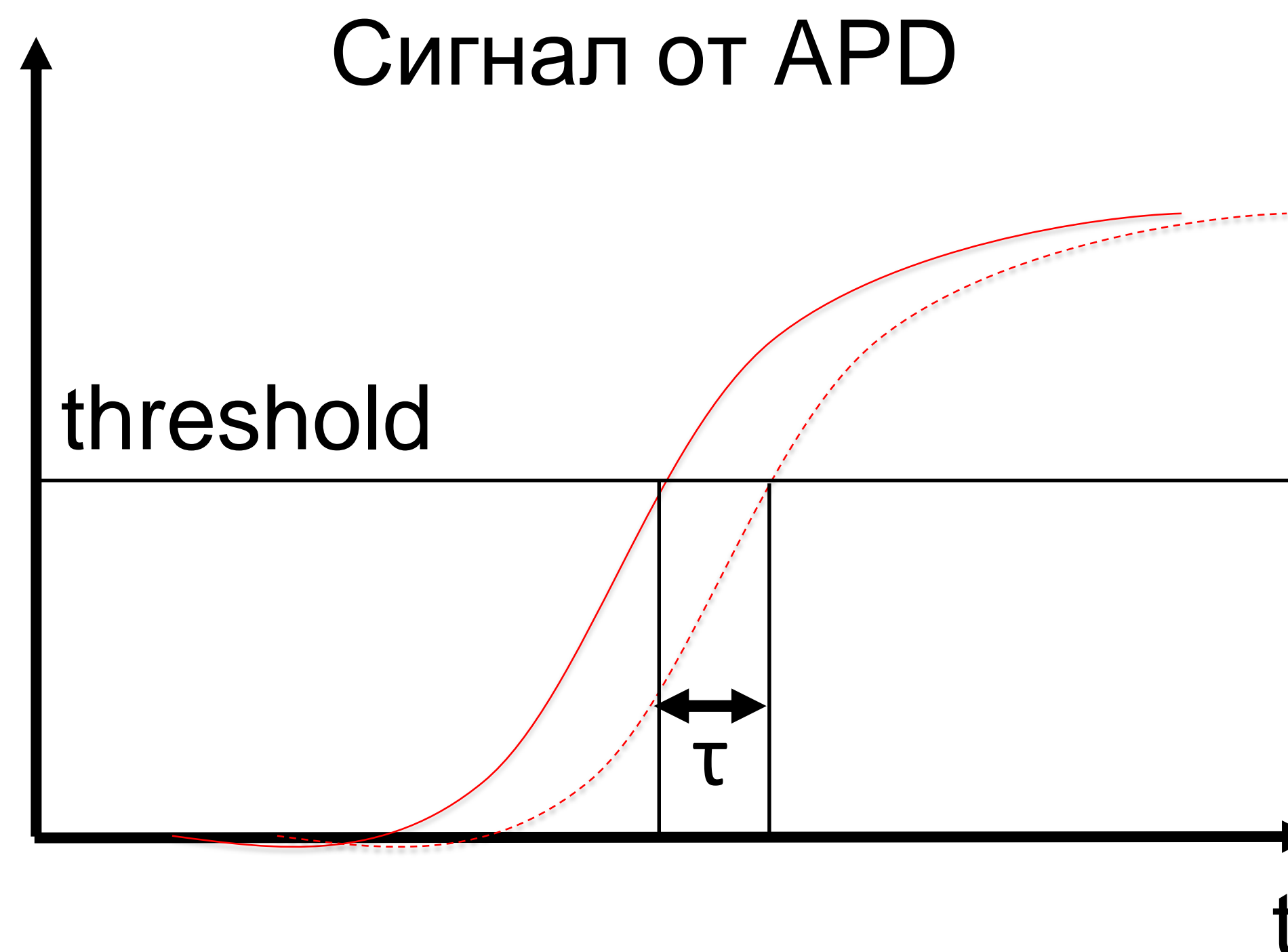
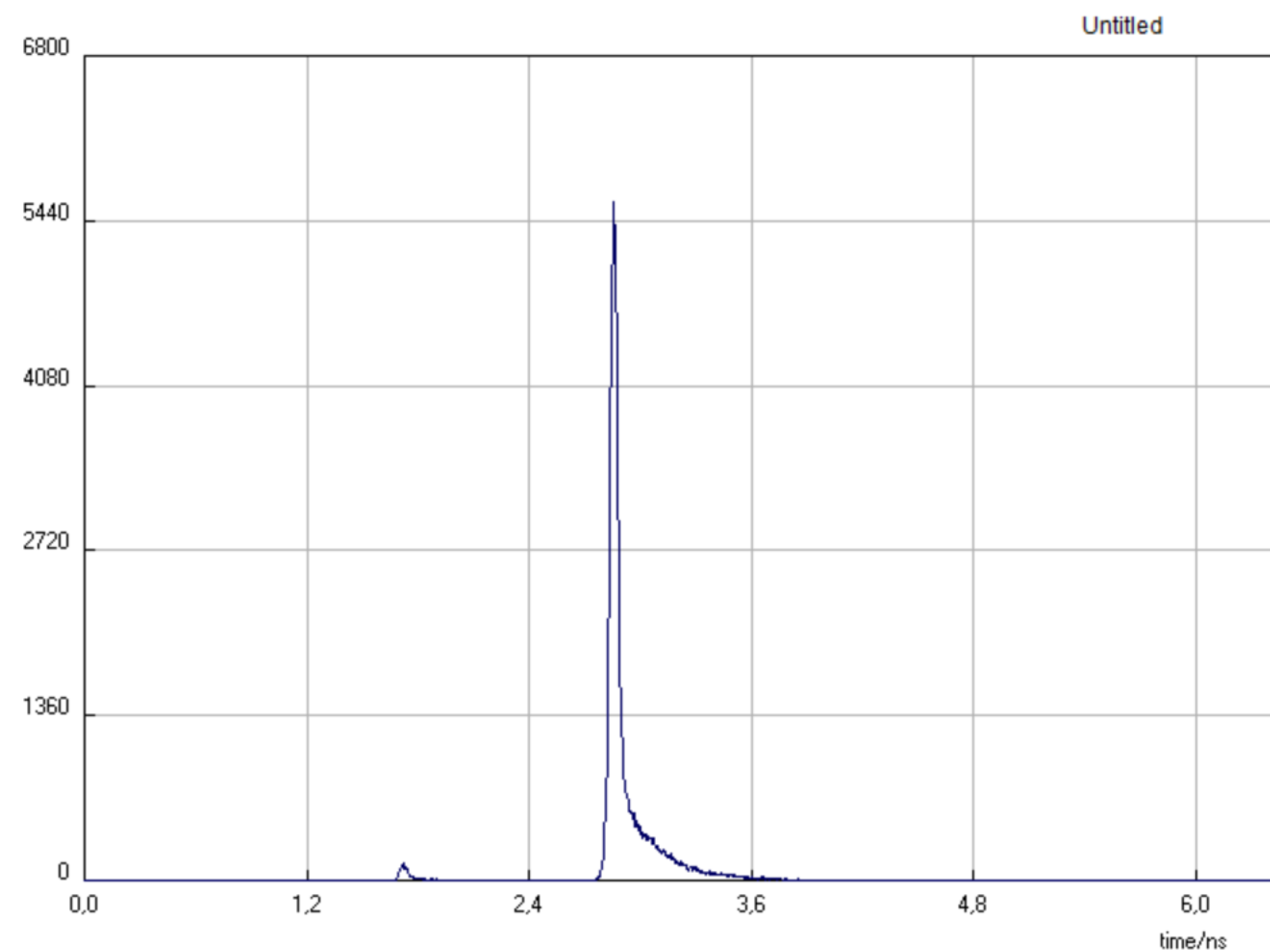
- 2D изображение
- Время жизни возбужденного состояния
- $g^{(2)}(\tau)$ – автокорреляционная функция
- Спектр
- Кривая насыщения

СХЕМА СТАРТ-СТОП ДЛЯ ИЗМЕРЕНИЯ ВРЕМЕНИ ЖИЗНИ ВОЗБУЖДЕННОГО СОСТОЯНИЯ

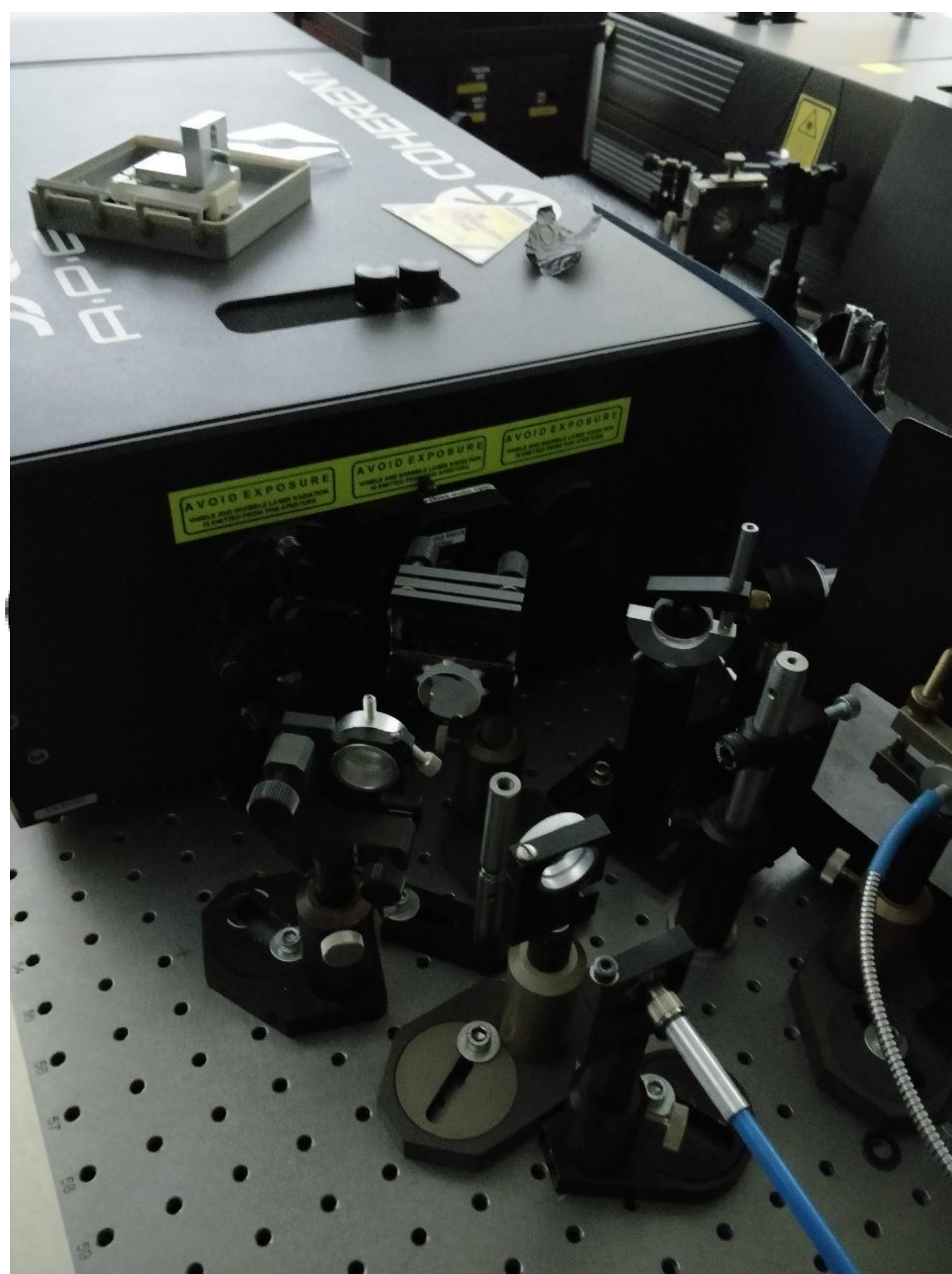




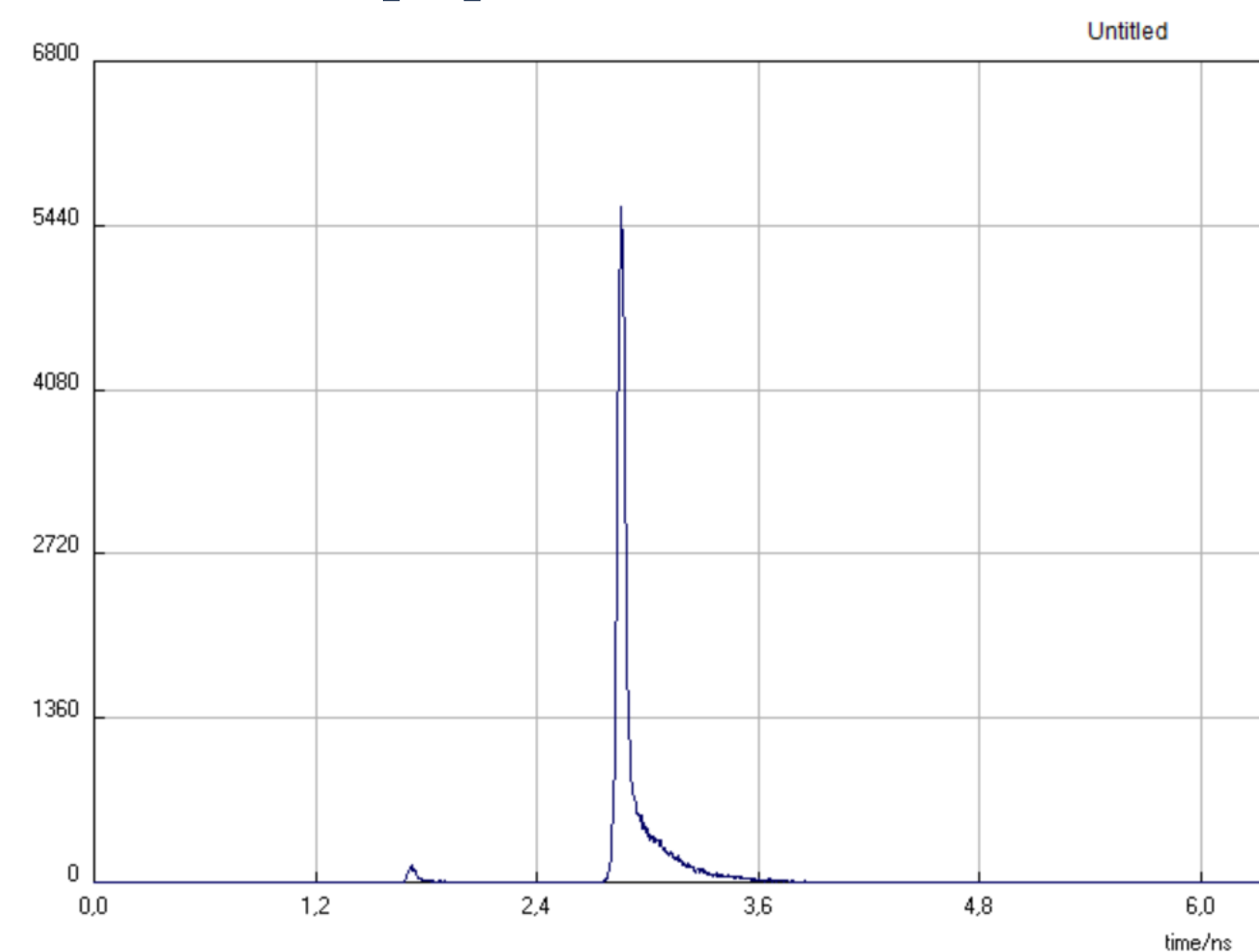
АППАРАТНАЯ ФУНКЦИЯ СИСТЕМЫ ИЗМЕРЕНИЯ КОРРЕЛЯЦИИ



РАСПРОСТРАНЕНИЕ СВЕТА В МНОГОМОДОВОМ ВОЛОКНЕ



Без волокна
 $\tau_{\text{IRF}}=0,052 \text{ ns}$



С ВОЛОКНОМ
 $\tau_{\text{IRF}}=1,5 \text{ ns}$

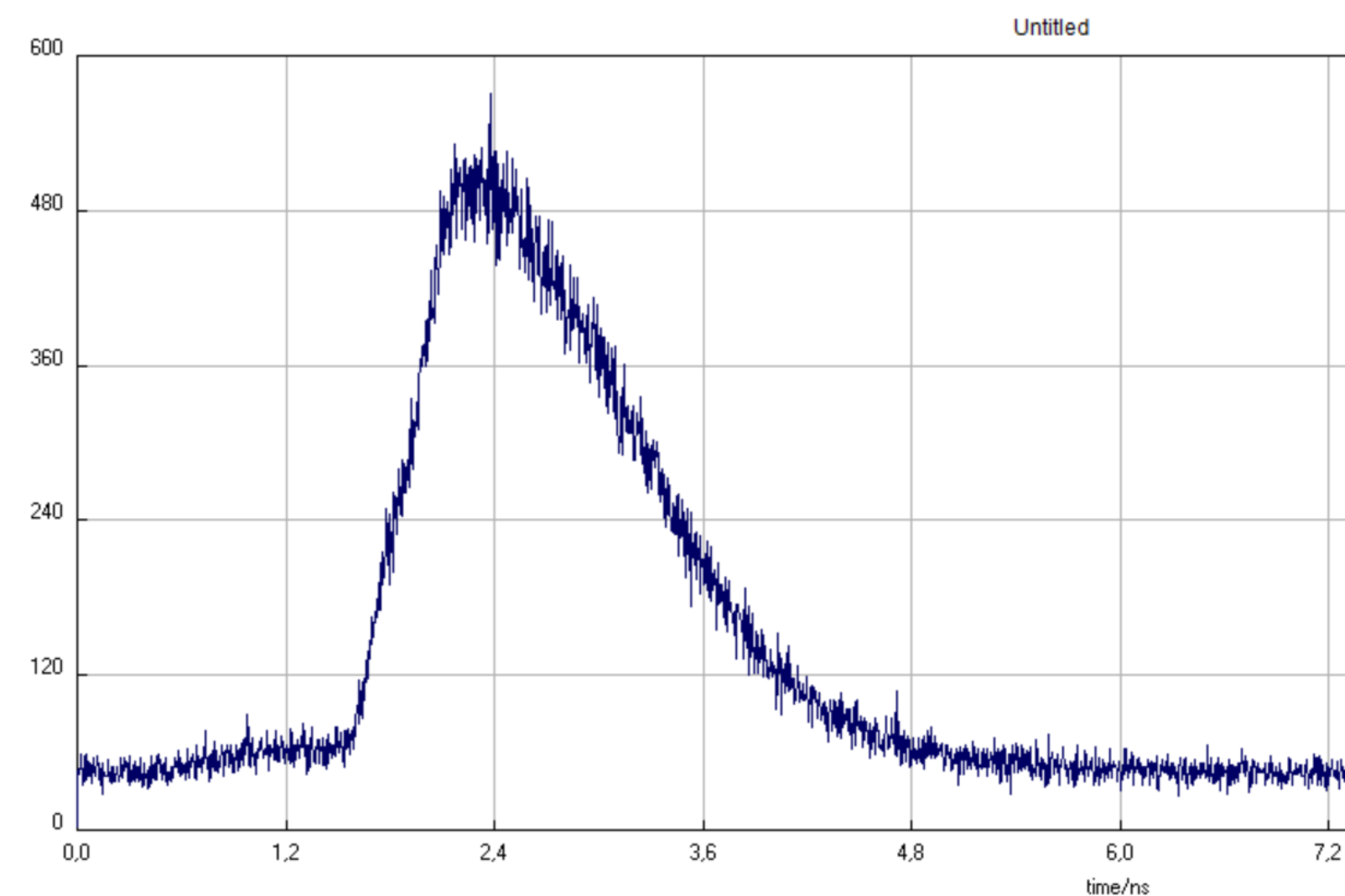
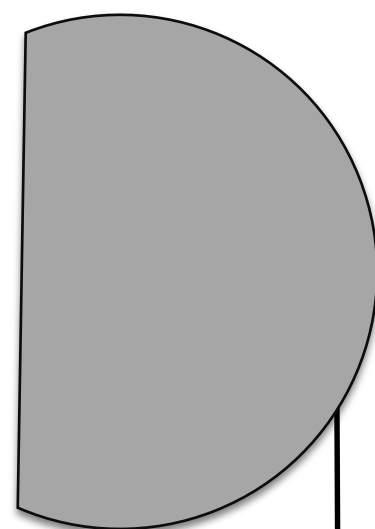
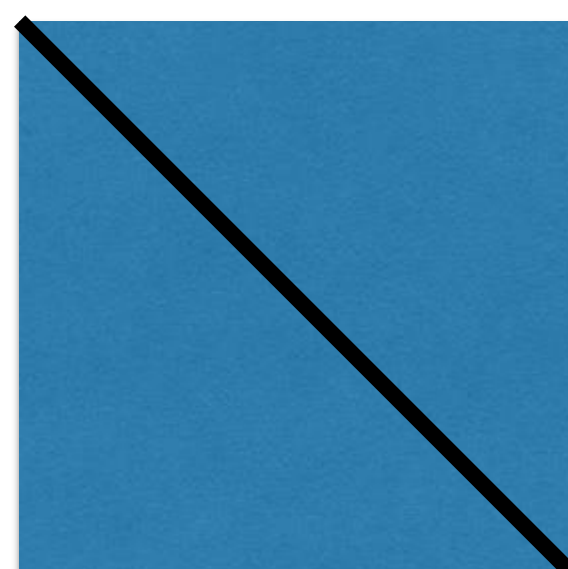


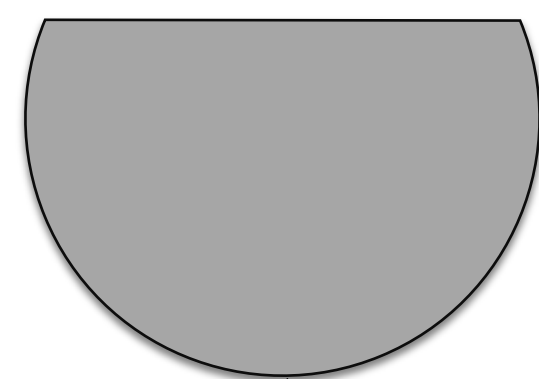
СХЕМА СТАРТ-СТОП ДЛЯ ИЗМЕРЕНИЯ ВРЕМЕНИ ЖИЗНИ ВОЗБУЖДЕННОГО СОСТОЯНИЯ

NV центр

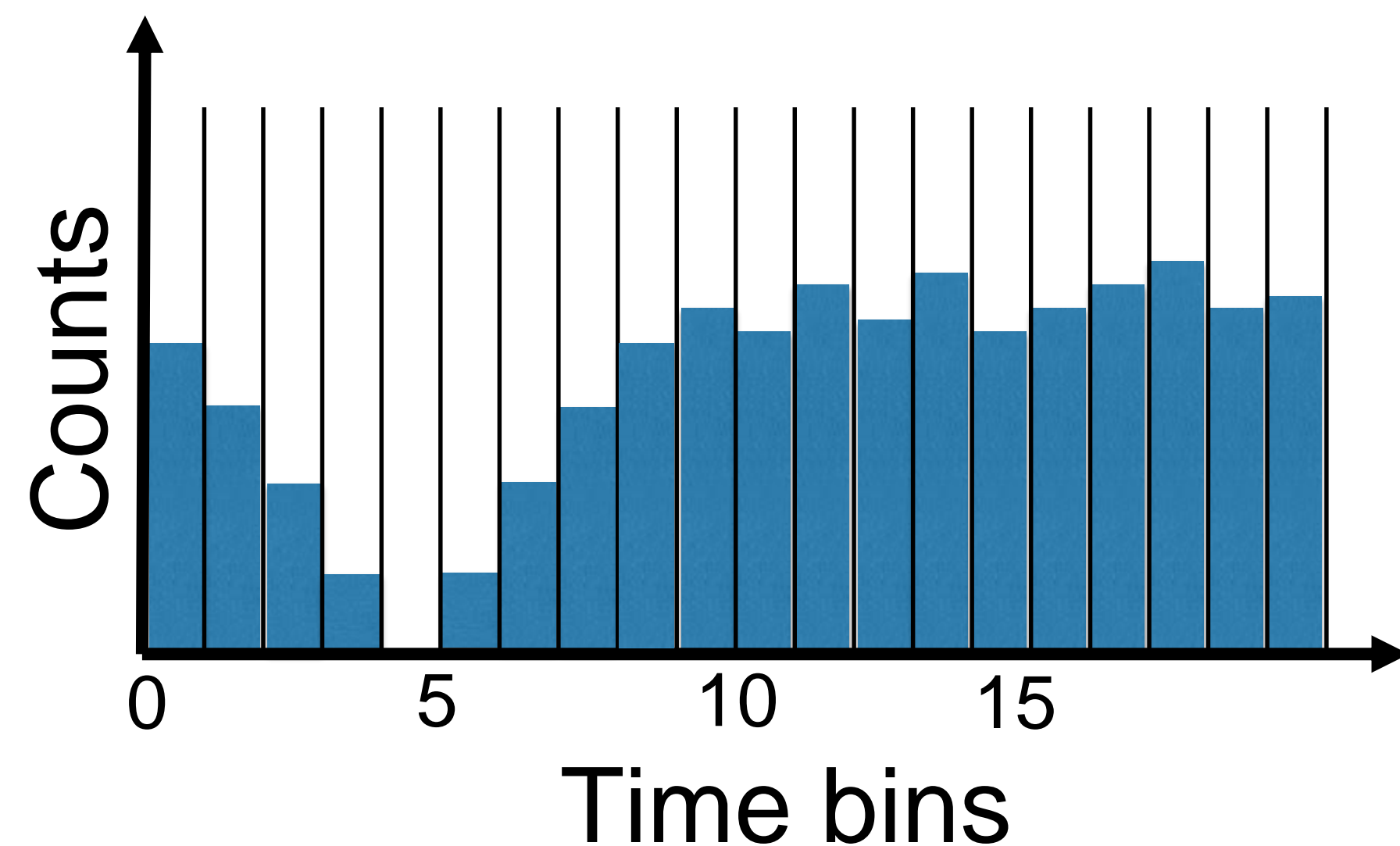


APD 2 (stop)

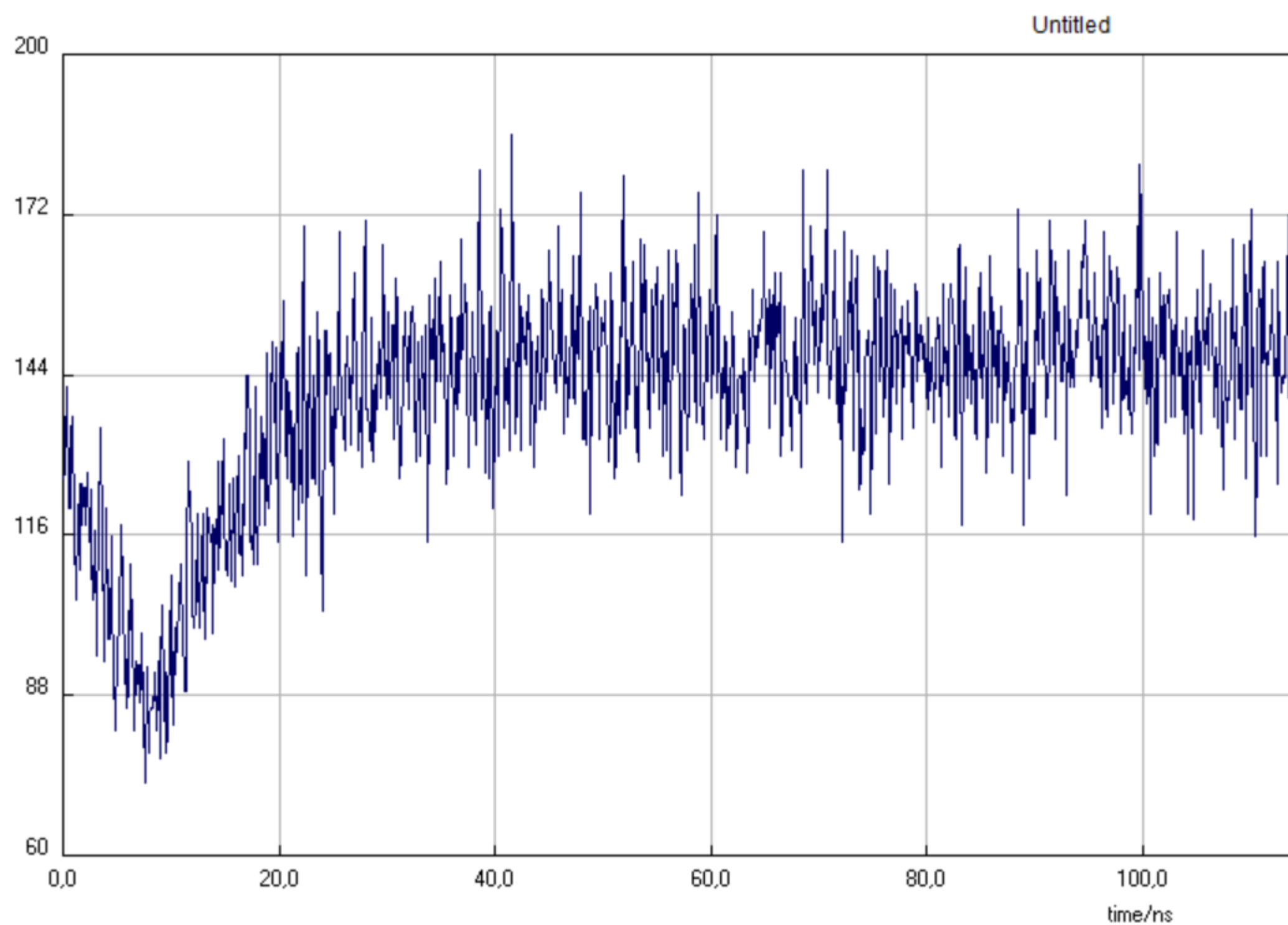
APD 1 (start)



$$g^{(2)}(\tau) = \frac{\langle I(t)I(t + \tau) \rangle}{\langle I(t) \rangle^2}$$



ФУНКЦИЯ АВТОКОРРЕЛЯЦИИ



$$g_2(0) = \frac{\langle n(n-1) \rangle}{\langle n \rangle^2} = 2^N \frac{\sum_{k=1}^N k(k-1) C_N^k}{\left(\sum_{k=1}^N k C_N^k \right)^2} = \frac{N-1}{N}$$

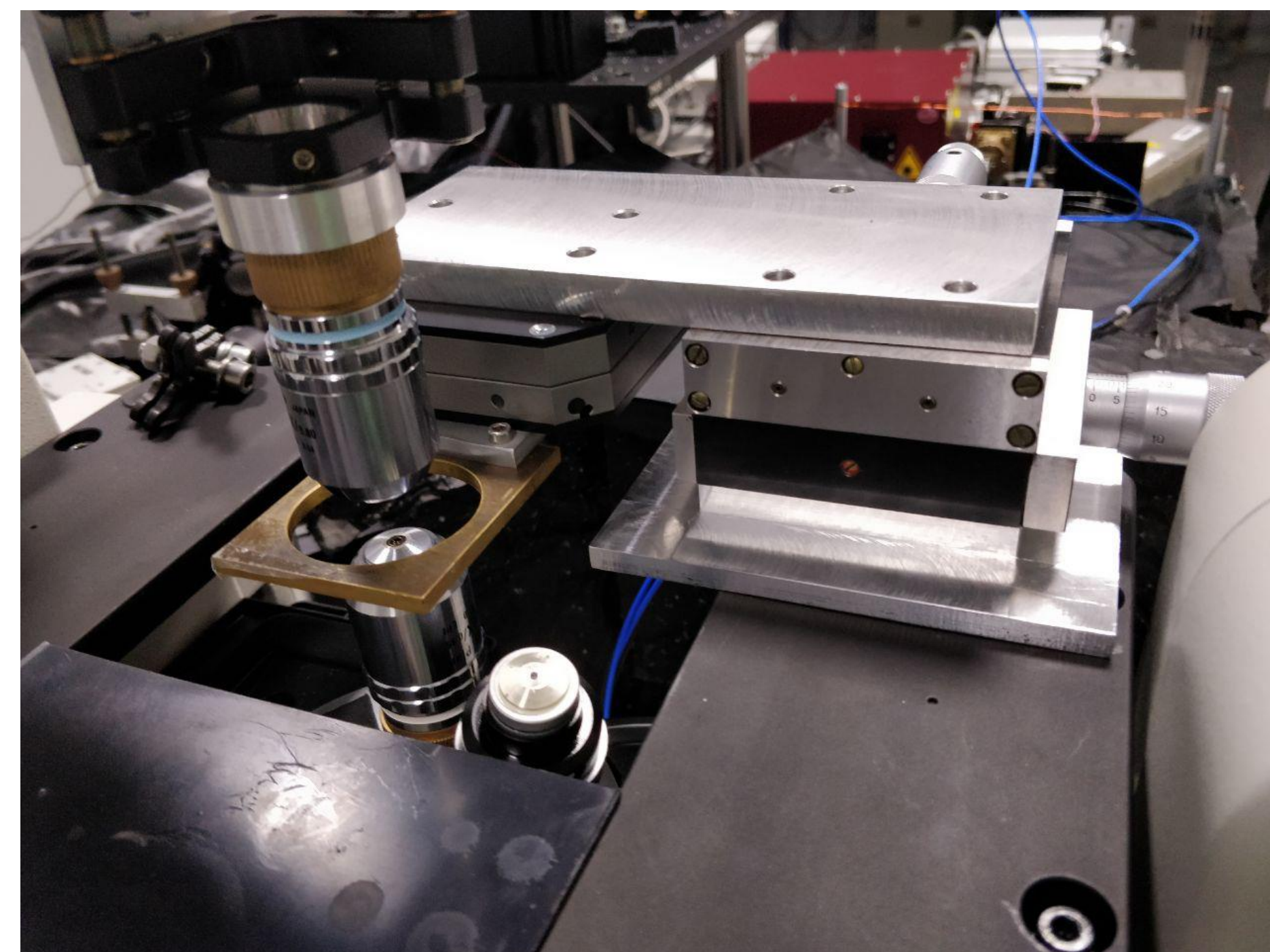
$$N=1, \quad g_2(0) = 0$$

$$N=2, \quad g_2(0) = 1/2$$

$$N=3, \quad g_2(0) = 2/3$$

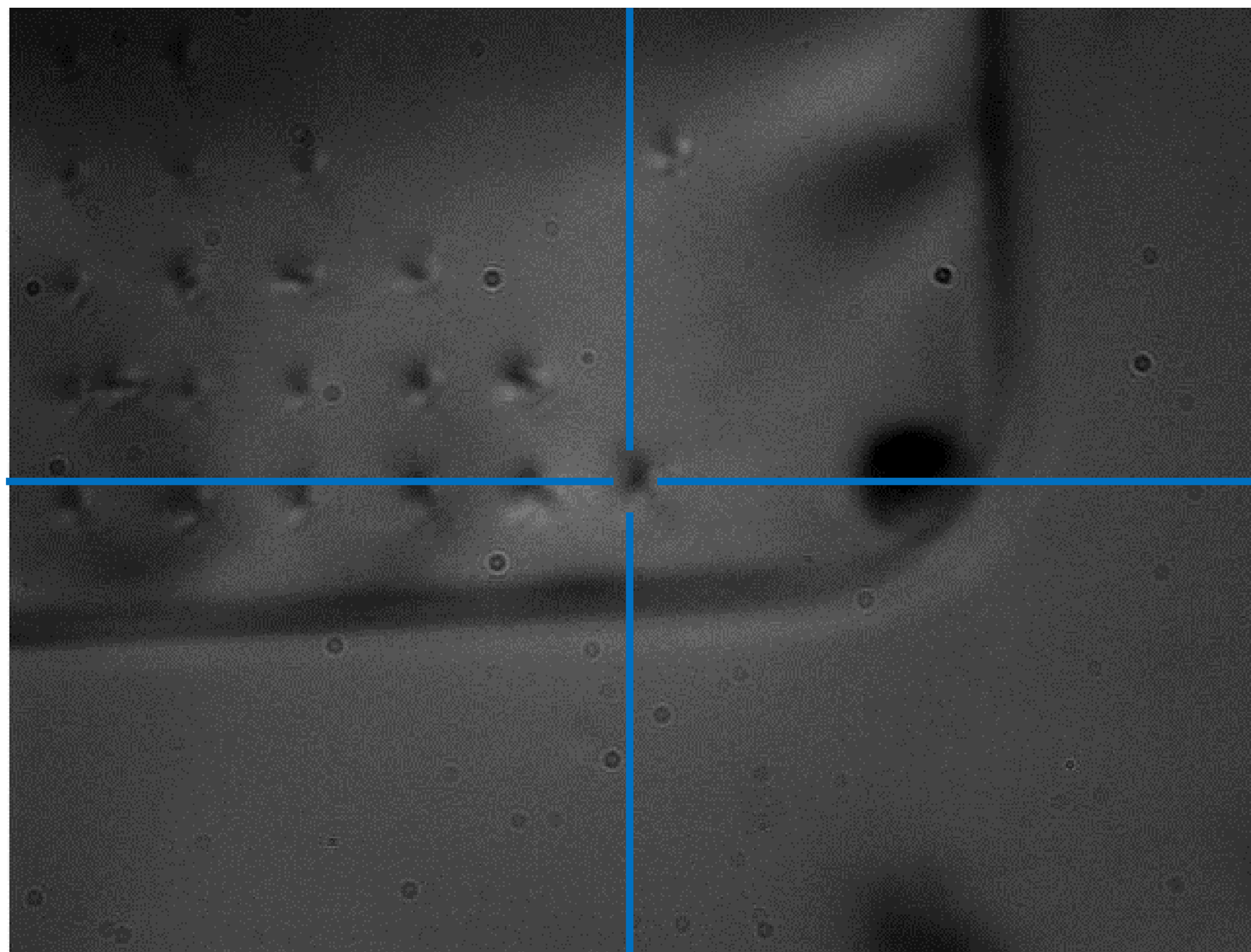
...

УВЕЛИЧЕНИЕ СТАБИЛЬНОСТИ МИКРОСКОПА

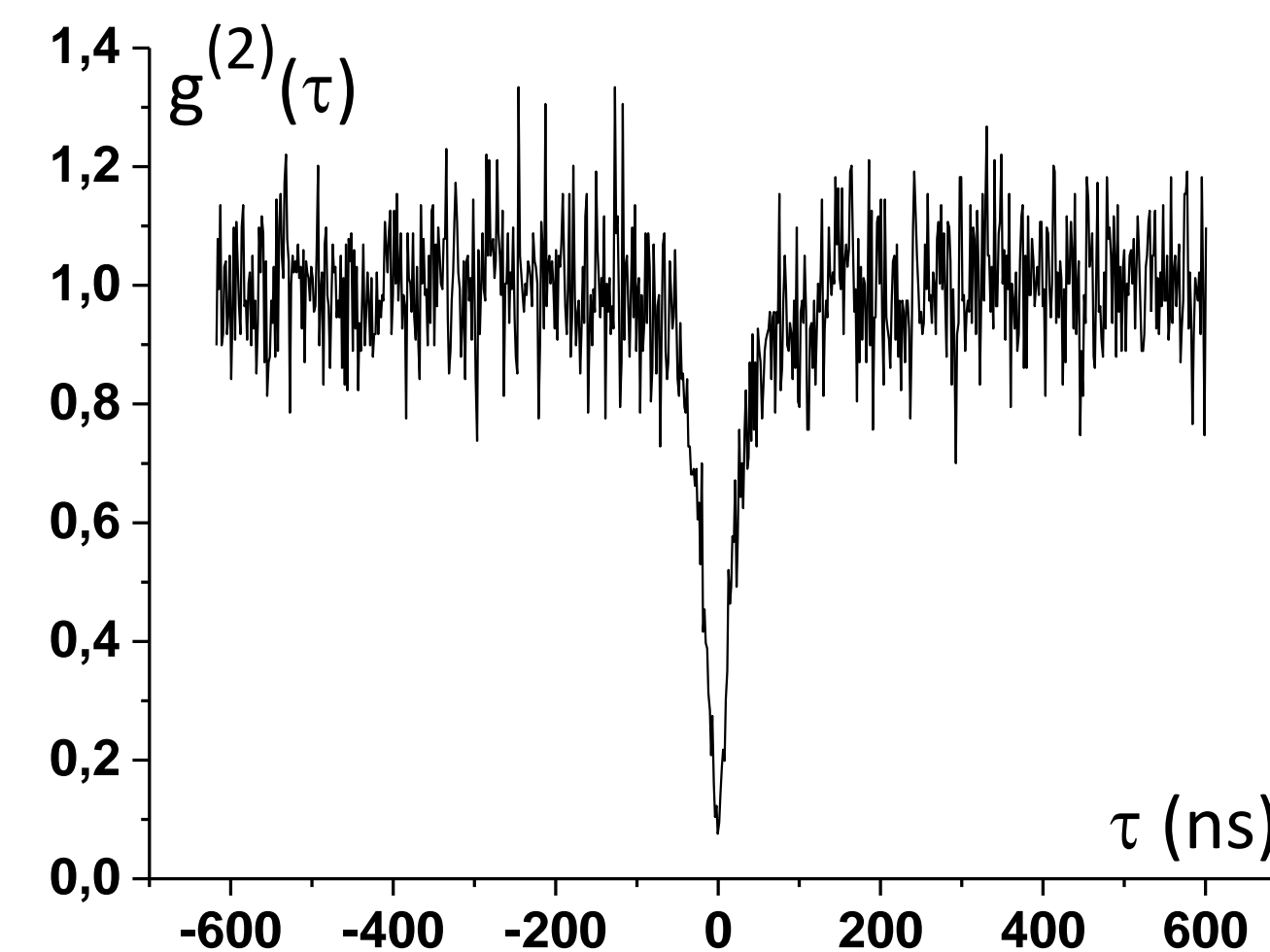
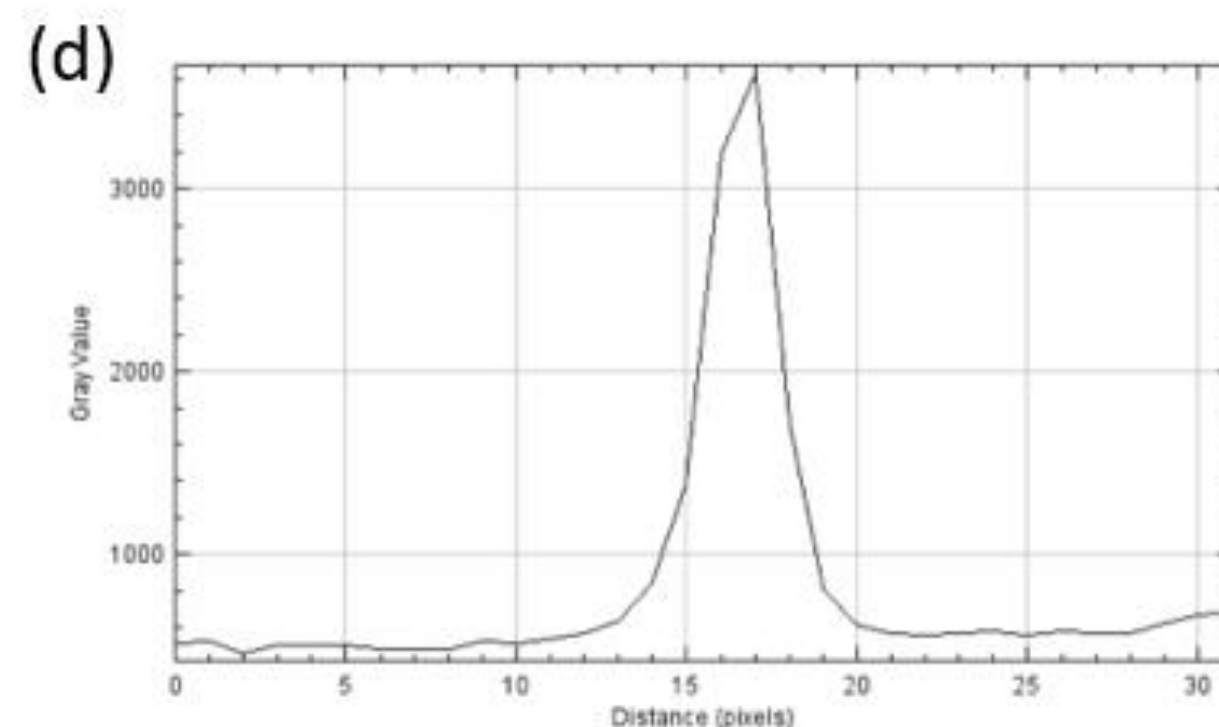
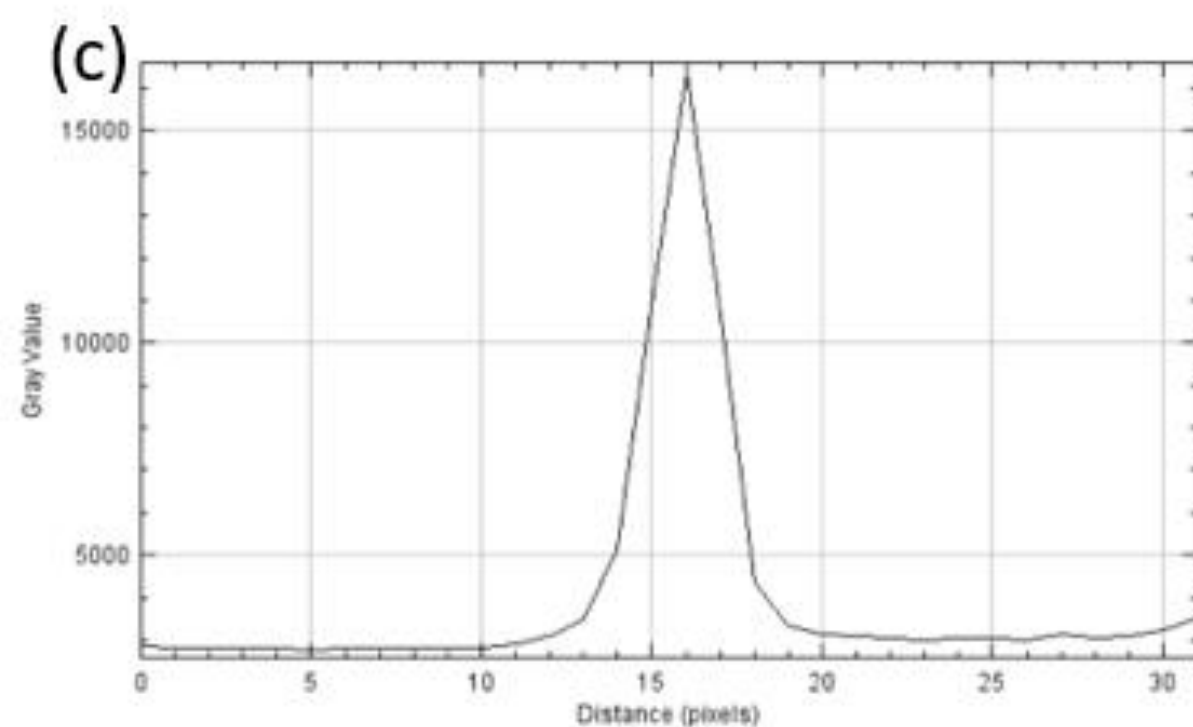
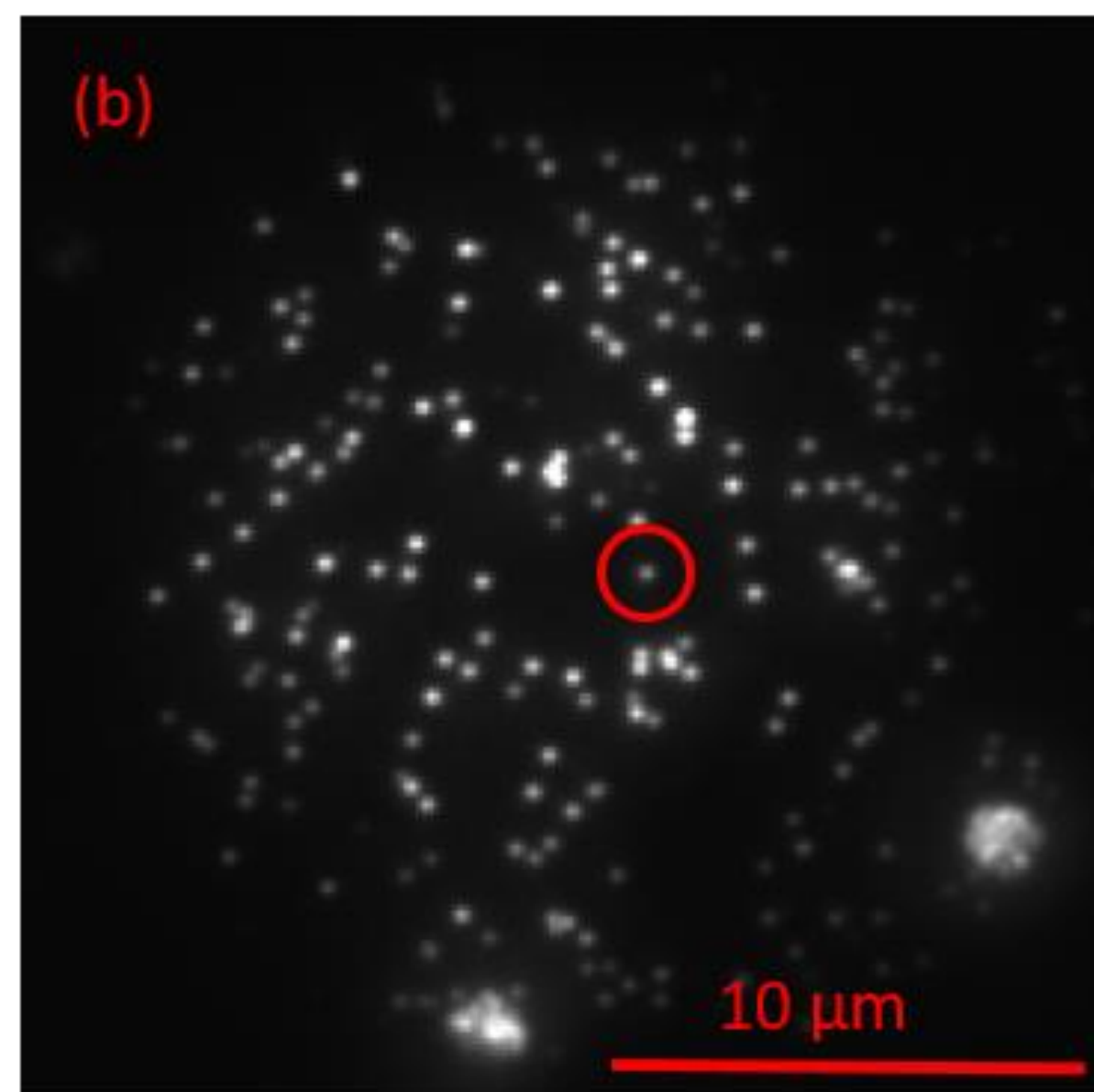
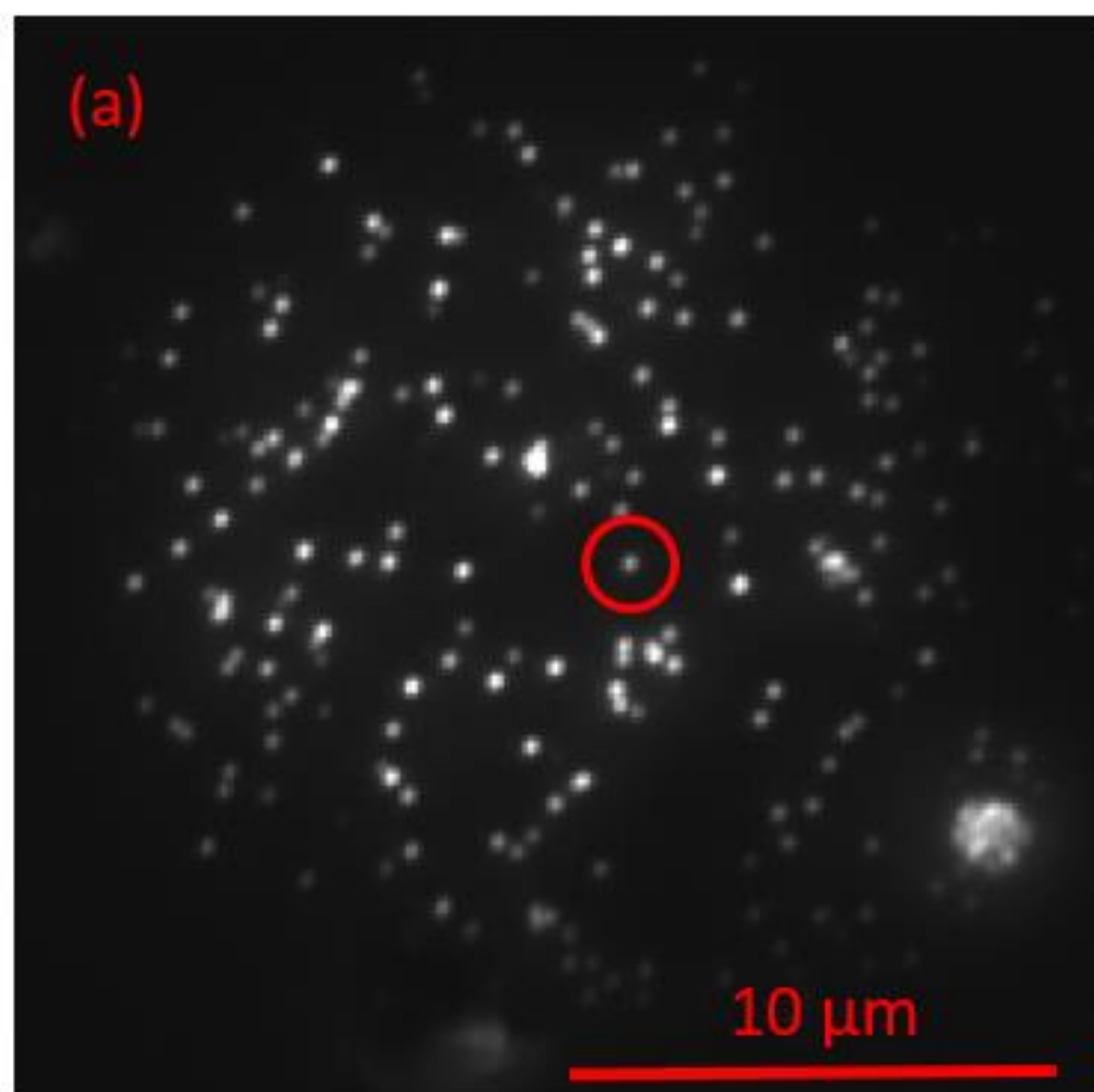




УВЕЛИЧЕНИЕ СТАБИЛЬНОСТИ МИКРОСКОПА



2D CCD КАМЕРА



SXCCD (3,000\$)

Andor IXON (80,000\$)